

13
24

UNIVERSIDAD NACIONAL AUTONOMA
DE MEXICO

ESCUELA NACIONAL DE ESTUDIOS PROFESIONALES
ZARAGOZA

APLICACION DE LOS METODOS DE CONTRIBUCION
DE GRUPOS A LA SIMULACION DE OPERACIONES
DE SEPARACION LIQUIDO-VAPOR

TESIS PROFESIONAL
QUE PARA OBTENER EL TITULO DE
INGENIERO QUIMICO
PRESENTA:
JOSE LUIS LEYVA GARCIA



MEXICO, D. F.

TESIS CON
FALLA DE ORIGEN

1991



UNAM – Dirección General de Bibliotecas Tesis Digitales Restricciones de uso

DERECHOS RESERVADOS © PROHIBIDA SU REPRODUCCIÓN TOTAL O PARCIAL

Todo el material contenido en esta tesis está protegido por la Ley Federal del Derecho de Autor (LFDA) de los Estados Unidos Mexicanos (México).

El uso de imágenes, fragmentos de videos, y demás material que sea objeto de protección de los derechos de autor, será exclusivamente para fines educativos e informativos y deberá citar la fuente donde la obtuvo mencionando el autor o autores. Cualquier uso distinto como el lucro, reproducción, edición o modificación, será perseguido y sancionado por el respectivo titular de los Derechos de Autor.

TESIS CON FALLA DE ORIGEN

I N D I C E

	PAGINA
I INTRODUCCION.	1
II GENERALIDADES.	5
III METODOS DE CONTRIBUCION DE GRUPOS.	24
3.1 CONCEPTO DE CONTRIBUCION DE GRUPOS	24
3.2 METODOS DE CONTRIBUCION DE GRUPOS.	28
3.2.1 SOLUCION ANALITICA DE GRUPOS (ASOG).	30
3.2.2 UNIFAC.	34
3.2.3 PARAMETROS DE CONTRIBUCION DE GRUPOS (PFGC).	39
3.3 COMPARACION ENTRE ASOG Y UNIFAC.	41
IV ESTUDIO DEL METODO DE CONTRIBUCION DE GRUPOS UNIFAC.	43
4.1 EL MODELO UNIFAC.	43
4.2 PARAMETROS DE INTERACCION DE GRUPOS.	52
4.3 EJEMPLO DE CALCULO PARA PREDICCIONES DE COEFICIENTES DE ACTIVIDAD POR UNIFAC.	66
4.4 EVOLUCION Y APLICACION DEL METODO UNIFAC.	73
V APLICACION DE UNIFAC AL DISENO DE COLUMNAS DE DESTILACION.	85
5.1 CALCULO DE DESTILACION MULTICOMPONENTE POR LINEARIZACION.	86
5.2 PROCEDIMIENTO DE CALCULO PARA UNA COLUMNAS DE DESTILACION.	96
VI EJEMPLO DE APLICACION.	98
VII RESULTADOS	106
VIII ANALISIS DE RESULTADOS Y CONCLUSIONES.	120

IX BIBLIOGRAFIA.

124

X APENDICE.

A) CRITERIOS DE EQUILIBRIO.	129
B) DESCRIPCION DEL PROGRAMA PARA EL DISEÑO DE COLUMNAS DE DESTILACION.	143
C) PROGRAMAS PARA EL CALCULO DE PARAMETROS UNIQUAC (PUNIQUAC) Y PARA EL CALCULO DE LOS SEGUNDOS COEFICIENTES VIRIALES (CORFVIR).	175
D) LISTADO DE RESULTADOS.	189
d.1) SIMULACION COLONNA.	
d.2) CALCULO PUNIQUAC.	
d.3) CALCULO SVIR.	

LISTA DE FIGURAS.	PAGINA
2.1 Metodología de la Ingeniería de Procesos aplicada a la creación de Procesos Químicos.	6
2.2 Proyecto Total para el Diseño y Construcción de una Planta Química.	9
2.3 Desarrollo del Diseño de Procesos Químicos	10
2.4 Componentes de una Operación de Separación.	17
2.5 Configuración de una Columna de Destilación Típica.	22
5.1 Configuración de una Columna de Destilación y nomenclatura para una etapa n arbitraria	89
6.1 Configuración de la Columna de Destilación para los Sistemas 1.	99
6.2 Configuración de la Columna de Destilación para los Sistemas 2.	100
7.1 Resultados de la Columna de Destilación del Sistema 1 Etanol-Propanol-Agua-Ac. Acético.	107
7.2 Resultados de la Columna de Destilación del Sistema 2 Dicloroetano-Propanol-Tolueno-Acetona	108
7.3 Perfil de Temperaturas en la Columna de Destilación del Sistema 1.	110
7.4 Perfil de Temperaturas en la Columna de Destilación del Sistema 2	111
7.5 Perfil de Flujos Líquidos en la Columna de Destilación del Sistema 1	112
7.6 Perfil de Flujos Líquidos en la Columna de Destilación del Sistema 2.	113
7.7 Perfil de Flujos Vapores en la Columna de Destilación del Sistema 1.	114
7.8 Perfil de Flujos Vapores en la Columna de Destilación del Sistema 2.	115
7.9 Perfil de Flujos Totales en la Fase Líquida y Vapores en la Columna de Destilación del Sistema 1.	116
7.10 Perfil de Flujos Totales en la Fase Líquida y Vapores en la Columna de Destilación del Sistema 2.	117

7.11 Perfil de Factor K en la Columna de Destilación del Sistema 1.	118
7.12 Perfil de Factor K en la Columna de Destilación del Sistema 2.	119

LISTA DE TABLAS.

4.1 Especificaciones de Parámetros UNIFAC y Asignación de Grupos Muestra.	53
4.2 Parámetros de Interacción de Grupos.	58
6.2 Archivo de Datos de Entrada a ser Alimentados para el Sistema 1.	102
6.3 Archivo de Datos de Entrada a ser Alimentados para el Sistema 2.	103
D.1 Muestra de Salida de Datos para el Cálculo de Parámetros UNIQUAC, Sistema 1.	190
D.2 Resumen de Salida de datos para el Cálculo de Parámetros UNIQUAC, Sistema 2.	192
D.3 Resultados Computacionales de la Columna de Destilación del Sistema 1	193
D.4 Resultados Computacionales de la Columna de Destilación del Sistema 2.	202
D.5 Muestra de Salida de Datos para el Cálculo de Coeficientes Viriales para el Sistema 1.	224
D.6 Muestra de Salida de Datos para el Cálculo de Coeficientes Viriales para el Sistema 2	225

I. INTRODUCCION.

La industria química y petroquímica moderna incluye dentro de sus procesos de manufactura operaciones de separación de mezcla multicomponentes, siendo la destilación una de las más comunes. Por lo que diseños eficientes de equipo de destilación requiere de un entendimiento cuantitativo del equilibrio líquido-vapor en mezclas multicomponentes expresada a través de coeficientes de fugacidad en el caso de la fase vapor y de coeficientes de actividad para la fase líquida.

El contar con métodos para estimar equilibrios líquido-vapor para mezclas multicomponentes permite tener la información necesaria para simular y diseñar columnas de destilación, que a su vez requieren utilizar procedimientos de cálculo que han seguido muy de cerca el desarrollo de los sistemas computacionales de alta velocidad. Los primeros esfuerzos en esta línea se caracterizaron por el empleo de métodos de aproximación o cortos y los gráficos, pero con el advenimiento de las computadoras se han desarrollado modelos cada vez mas exactos, junto con la aplicación de métodos numéricos para la resolución de este tipo de problemas.

Por lo que el objetivo del presente trabajo es mostrar los métodos o procedimientos existentes que permitan estimar el equilibrio líquido-vapor a partir de un mínimo de información experimental, ya que la variedad de mezclas líquidas en la

tecnología química es extremadamente grande y no se puede esperar que información experimental este siempre disponible para todas las mezclas de interés para la industria química y petroquímica.

Para la exposición de este trabajo, la tesis se estructura de la siguiente manera.

En el Capítulo II se menciona la importancia de la Ingeniería Química en el Desarrollo, Diseño e Innovación de Procesos y en que etapas se le involucra, también se describe brevemente aspectos relacionados con la simulación rigurosa en estado estacionario de los procesos de separación química, señalando los métodos cortos para diseños preliminares de columnas de destilación y por último se detalla cuales son los componentes que integran una operación de separación y la importancia que cada una de ellas reviste en el Diseño de Procesos.

El Capítulo III presenta una introducción del Concepto de Contribución de Grupos, describiendo la base termodinámica que lo soporta; también se describen los principales Métodos de Contribución de Grupos y se presenta una comparación entre dos de los mas utilizados en la actualidad señalando sus ventajas e inconvenientes y como resultado de esta comparación se selecciona el que presenta las mejores bondades.

En el Capítulo IV se presenta un estudio detallado del Método de Contribución de Grupos UNIFAC incluyendo un ejemplo para el cálculo de coeficientes de actividad. Por último, se describe cual ha sido la evolución de UNIFAC y cuales aplicaciones se han desarrollado para éste.

El Capítulo V aborda los conceptos teóricos para la Aplicación del Método de Contribución de Grupos para el Diseño de Columnas de Destilación, describiendo el Método para el cálculo de Columnas de Destilación desarrollado por Naphtali y Sandholm.

En el Capítulo VI se describen los ejemplos que muestran el potencial disponible del Método UNIFAC en la simulación y diseño de Columnas de Destilación.

El Capítulo VII se muestran y analizan los resultados de los ejemplos desarrollados en el capítulo anterior a través de gráficas y tablas.

El Capítulo VIII se destina a exponer algunas conclusiones, producto de la realización de este trabajo.

En el Capítulo IX se menciona la bibliografía utilizada en el desarrollo de este trabajo de tesis.

Se incluyen cuatro apéndices que abordan temas de apoyo, siendo los siguientes:

Apéndice A, aborda conceptos teóricos sobre la termodinámica del equilibrio de fases, el coeficiente de fugacidad y el coeficiente de actividad con sus respectivas relaciones termodinámicas.

El Apéndice B describe y lista el Programa de Simulación de la Columna de Destilación por el Método Naphtali y Sandholm, así como la simbología utilizada.

En el Apéndice C se describe y lista el Programa de cómputo para el Cálculo de Parámetros UNIQUAC a partir de UNIFAC, incluyendo la lista de símbolos y subrutinas utilizadas.

El Apéndice D contiene el listado y descripción del Programa para el Cálculo de Segundos Coeficientes Viriales con su respectiva simbología. Asimismo, un listado de entrada de datos para correr el programa.

Por último, el Apéndice E contiene los listados de resultados de los ejemplos de las Columnas de Destilación corridas, así como los resultados del cálculo de los parámetros UNIQUAC y Segundos Coeficientes Viriales, mismos que son requeridos para el diseño de las columnas.

III. GENERALIDADES

En el desarrollo de la investigación se han considerado los siguientes aspectos:

- 1. **Características del suelo.** Se han estudiado las principales características del suelo en la zona de estudio, así como las propiedades físicas y químicas que lo caracterizan. Se han analizado los tipos de suelos presentes, sus propiedades físicas (textura, estructura, drenaje, etc.) y químicas (pH, contenido de materia orgánica, nutrientes, etc.).
- 2. **Características del clima.** Se han estudiado las principales características del clima en la zona de estudio, así como las condiciones ambientales que afectan al crecimiento y desarrollo de las plantas. Se han analizado los tipos de clima presentes, las temperaturas, las precipitaciones, los vientos, etc.
- 3. **Características de la vegetación.** Se han estudiado las principales características de la vegetación en la zona de estudio, así como las especies vegetales que crecen en la zona. Se han analizado las especies vegetales presentes, sus características morfológicas, sus requerimientos ecológicos, etc.
- 4. **Características del manejo agrícola.** Se han estudiado las principales características del manejo agrícola en la zona de estudio, así como las prácticas agrícolas que se realizan en la zona. Se han analizado las prácticas agrícolas presentes, sus efectos en el suelo, las cosechas, etc.
- 5. **Características de la producción.** Se han estudiado las principales características de la producción en la zona de estudio, así como las especies vegetales que se producen en la zona. Se han analizado las especies vegetales presentes, sus características morfológicas, sus requerimientos ecológicos, etc.

II. GENERALIDADES

La Ingeniería Química desempeña un papel importante en el diseño de procesos químicos. Por lo anterior, el Ingeniero Químico tiene un papel primordial en el diseño, construcción, arranque y operación de plantas químicas, donde debe de aplicar los principios fisico-químicos y económicos directamente.

Esta función del Ingeniero Químico involucra una serie de actividades dentro de las cuales la Ingeniería de Procesos resulta la más relevante, en virtud de que contempla la creación, cuantificación y análisis de esquemas de procesos que formarán parte de una planta industrial, la cual deberá ser segura, fácil de operar y que resulte económicamente atractiva. En la Figura 2.1 se muestra la estructura general en que se aplica la Ingeniería de Procesos a la creación de Procesos Químicos. Para lograr lo anteriormente mencionado, se requiere de la ejecución de las siguientes etapas:

- a) Desarrollo de Procesos
- b) Diseño de Procesos
- c) Innovaciones de Procesos

En el Desarrollo del Proceso se contempla la interacción directa entre el Ingeniero Químico y el Grupo de Investigación para conceptualizar el proceso a desarrollar.

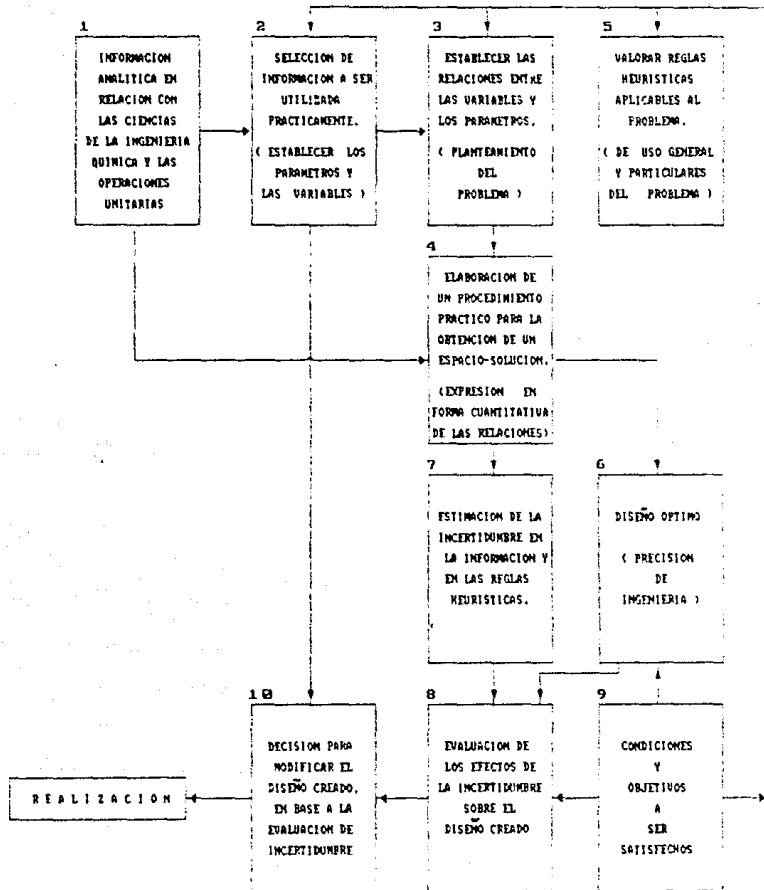


FIGURA 2.1 METODLOGIA DE LA INGENIERIA DE PROCESOS APLICADA A LA CREACION DE PROCESOS QUIMICOS.

A partir de la conceptualización del proceso, se cuenta con la información necesaria para generar el paquete de Diseño del Proceso. La última etapa corresponde a la Innovación del Proceso, la cual va enfocada hacia la mejora del proceso existente.

De esta manera una de las tareas mas complejas y de mayor exigencia que tiene que afrontar el Ingeniero Químico es el Diseño de Procesos, punto en el que convergen por un lado el conocimiento técnico y la experiencia industrial, y por el otro lado, la creatividad, intuición e ingenio.

A su vez la Etapa de Diseño de Proceso se divide en las siguientes subetapas:

- i) Síntesis.
- ii) Análisis.
- iii) Optimización.

La Síntesis viene siendo la parte inventiva y en la cual se deciden las unidades de proceso requeridas y su interconexión.

Una vez estructurado el proceso mas viable, la siguiente etapa es la evaluación técnica-económica, es decir, la etapa de Análisis, en la cual se establecerán las bases de Diseño del Proceso con sus respectivas variables de diseño así como

la selección de los Modelos Matemáticos para cada una de las operaciones del proceso involucradas , las correlaciones para calcular las propiedades termofísicas y por último los servicios auxiliares del proceso.

Así, a partir de la información obtenida de las etapas de Síntesis y Análisis, se establece una estrategia de Optimización, aplicada a una función objetivo adecuada. La Optimización puede ser realizada tanto a la estructura del proceso como a las condiciones de operación del mismo.

Como ejemplo ilustrativo en la Figura 2.2 se muestran las etapas involucradas en un Proyecto Total para el Diseño y Construcción de una Planta Química, donde se puede observar la etapa de Diseño del Proceso, así mismo, en la Figura 2.2.1 se esquematiza las etapas involucradas en el Desarrollo del Diseño de Procesos Químicos, para lo cual es necesario realizar un balance de masa y energía a través de una simulación rigurosa en estado estacionario.

Ahora bien, la simulación rigurosa en estado estacionario para mezclas multicomponentes involucra la solución de un conjunto de ecuaciones no lineales, esto es debido a la no linearidad de las ecuaciones MESH (balances de masa y energía, relaciones de equilibrio y restricciones de las fracciones mol) así como a la complejidad de los procesos,

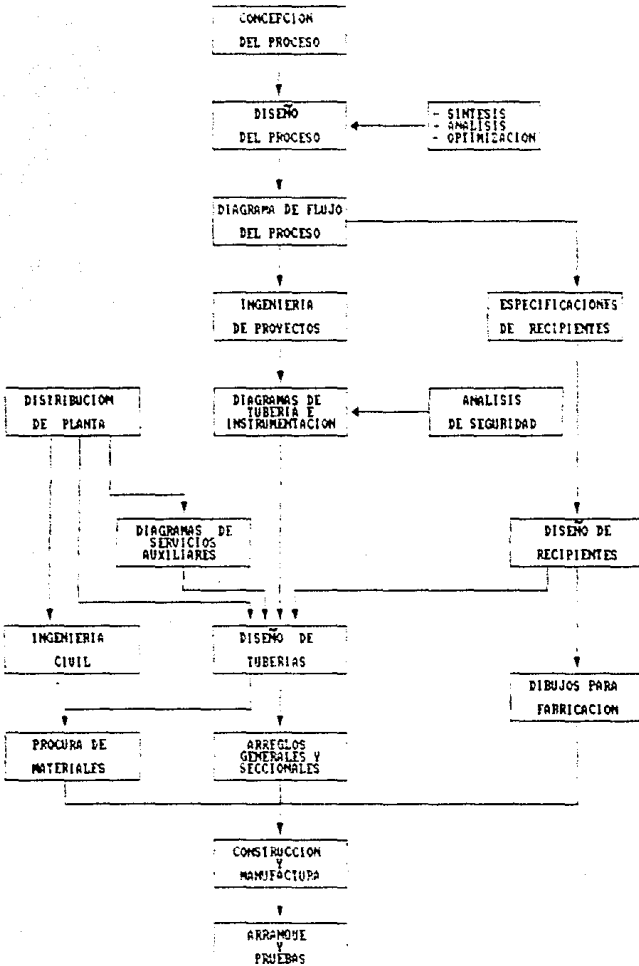


FIGURA 2.2 EL PROYECTO TOTAL PARA EL DISEÑO Y CONSTRUCCION DE UNA PLANTA QUIMICA

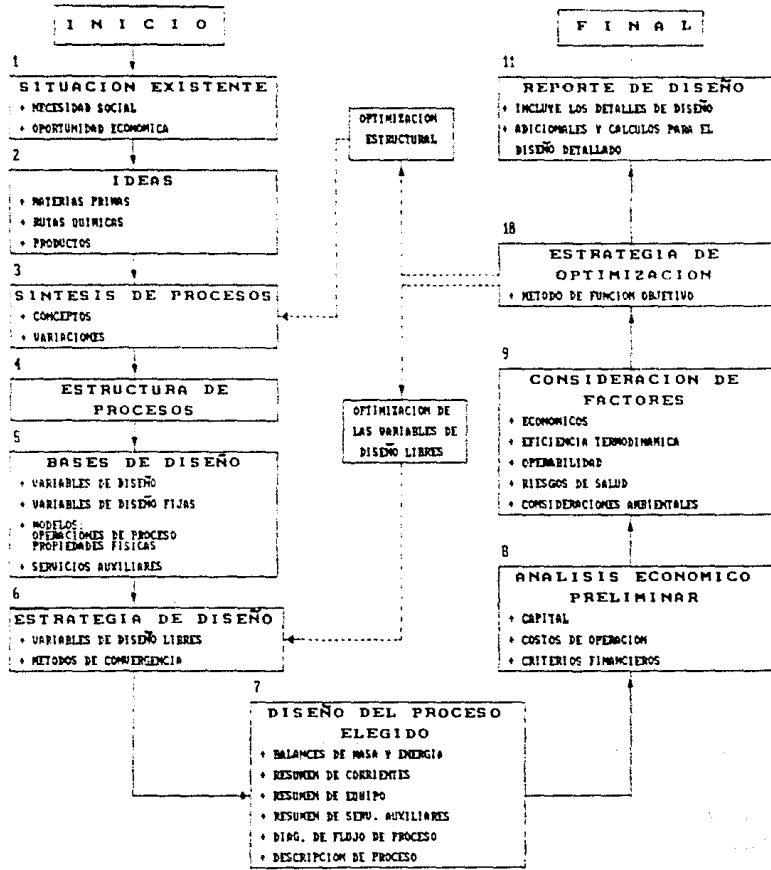


FIGURA 2.2.1 ETAPAS EN EL DESARROLLO DEL DISEÑO DE PROCESOS QUIMICOS

por lo que la simulación siempre ha resultado difícil, principalmente desde tres puntos de vista:

- a) Involucra la solución de un gran número de ecuaciones algebráicas no lineales, por medio de métodos numéricos en los cuales los errores de redondeo pueden ser significativos y la convergencia no siempre es alcanzada.
- b) Distintos tipos de problemas tienen diferentes características de convergencia, por ejemplo en mezclas de amplio rango de puntos de ebullición y en las mezclas de puntos de ebullición cercanos.
- c) El último es el relacionado con la habilidad de obtener en forma eficiente la información requerida (relación de reflujo, No. de etapas, composición, etc).

La simulación como se ha mencionado es requerida para analizar, diseñar y optimizar las operaciones de separación y sin las cuales no sería posible la separación de mezclas.

Gran parte del Diseño en Ingeniería Química es concerniente a los procesos de separación química, muchas de estas son operaciones difusionales del tipo fase de contacto, siendo la destilación, la absorción y la extracción las más comunes. Para un diseño racional de procesos de separación química se requiere de información cuantitativa sobre el equilibrio de

fases en mezclas binarias y multicomponentes bajo consideración.

Las operaciones de separación mencionadas anteriormente tienen por objeto el purificar materias primas, intermedias y productos, através de la transferencia multietapa.

Estas operaciones de separación tiene suma importancia debido a que se emplean no tan solo para separar una alimentación (que es una mezcla) en sus componentes, sino también se utiliza en la recuperación de solventes y en la reutilización de estos al recircularlos al proceso así como en la remoción de impurezas. además se emplean en conjunto con reactores químicos para la previa purificación de la alimentación al reactor, también se utiliza en la recuperación de reactantes para su posterior recirculación al reactor y asimismo en recuperar subproductos y purificación de productos bajo ciertas especificaciones.

Como se ha venido mencionando, la Ingeniería de Procesos de Separación representa una parte fundamental en el Diseño y Operación de una planta química. Dentro de esta área, el proceso de destilación es uno de los mas utilizados y llega a ocupar del 40 % al 80 % de la inversión total de la planta, de ahí la necesidad de mejorar la operación de los equipos de destilación, aumentando su eficiencia y ampliando el rango de servicio que pueda cubrir.

Las operaciones de separación de etapas múltiples se clasifican en Sistemas Binarios y Sistemas Multicomponentes. La definición mas amplia para describir un sistema binario y uno multicomponente es:

Sistema Binario. Un sistema se considera binario cuando las corrientes entre etapas tiene la propiedad de que la composición de cada corriente esta determinada, fijando la fracción molar, la másica o la volumétrica de un componente particular presente en la misma.

Sistema Multicomponente. Para un sistema multicomponente será necesario fijar la fracción molar, másica o volumétrica de mas de una especie para determinar la composición de una o de las dos corrientes existentes entre etapas

Los problemas de cálculo que se involucran en las separaciones binarias pueden ser tratados fácilmente por diversos métodos, mientras que en las separaciones multicomponentes es siempre mas complicado, a pesar de que parten de los mismos conceptos básicos. El que se tengan bastantes variables independientes para especificar gran parte de las condiciones de separación facilita el tratamiento en los sistemas binarios, no pudiendo ser lo mismo en el caso de multicomponentes en el que se puedan

especificar menos condiciones aunque se tengan mayor número de variables.

Ahora bien, el sistema de ecuaciones que describe rigurosamente una operación de separación multietapa a contra corriente y a régimen permanente fue presentado por primera vez por Sorel en 1883, siendo la única suposición la etapa de equilibrio. Sin embargo, este tipo de sistema de ecuaciones no tuvo una amplia identificación sino hasta 1921, cuando se adaptaron a una técnica gráfica rápida para sistemas binarios, realizada por Ponchon y después Savarit. Posteriormente McCabe y Thiele desarrollaron en 1925 una técnica gráfica mas sencilla que la de Ponchon y Savarit, pero con restricciones.

Los métodos computacionales han ayudado a sustituir el método gráfico de Ponchon - Savarit, pero el método gráfico de McCabe & Thiele es tan simple e ilustrativo que continúa siendo utilizado en cátedras universitarias en la materia.. En base a estos métodos gráficos es posible desarrollar ecuaciones simples que representen la operación de una torre en los casos límites de reflujo mínimo y reflujo total. Estas ecuaciones fueron entonces extendidas para la representación de destilación multicomponente, dando con ello los métodos cortos para diseños preliminares de torres desarrollados en la década de los 40's y 50's por:

- Fenske (1932) ó Underwood (1932), con la ecuación para el número mínimo de etapas.
- Underwood (1948) ó Colburn (1941), con el método para la relación de reflujo mínimo.
- Gillilan (1940) con la correlación para el número de etapas vs. relación de reflujo.

Gillilan y Reed (1942) desarrollaron por primera vez un análisis de grados de libertad para este tipo de ecuaciones.

Debido al auge de las computadoras se vio la necesidad de implementar nuevos métodos rigurosos que cubrieran las deficiencias de los métodos cortos, éstos últimos se caracterizan por ser demasiado simples, muy útiles para cálculos manuales, sin embargo están restringidos a casos límites (mínimo número de etapas, reflujo total, sistemas binarios) ó bien, a sistemas reales haciendo severas simplificaciones, además sirven como estimado inicial de los métodos rigurosos, así como para hacer evaluaciones preliminares de costos y que son mas bien utilizados como métodos de diseño, aunque no son recomendables para el diseño definitivo de una torre.

Debido a estas dificultades en la simulación de procesos de separación de mezcla multicomponentes, han aparecido numerosos

algoritmos, para los cuales pueden ser clasificados en tres categorías :

i) Métodos de descomposición de ecuaciones.

ii) Métodos de relajación.

iii) Métodos de Solución simultánea.

En cada caso los algoritmos son diferentes unos de otros en los siguientes aspectos:

- El modelo matemático utilizado y variables de iteración elegidas .
- Agrupamiento de las ecuaciones y algoritmos para resolver las ecuaciones.
- Técnicas de convergencia utilizadas.

Los procesos de separación de materiales utiliza para sus fines, la diferencia en las propiedades físicas y químicas, para lo cual, el Ingeniero Químico debe crear un ambiente que provoque un comportamiento diferente en las propiedades de las sustancias que componen la mezcla a separar.

Al mecanismo que provoca la diferencia en propiedades de los materiales a separar se le ha denominado agente de separación.

Por medio de un esquema sencillo, en el cual se involucra una operación de separación y las corrientes que la componen, como la corriente de alimentación o de materia, pudiendo ser una o varias y como mínimo dos corrientes de productos que difieren en composición, siendo esto una consecuencia de la naturaleza fundamental de una separación. Esta separación tiene su causa, y esta es por la adición de un agente de separación que toma la forma de otra corriente ya sea de materia o de energía.

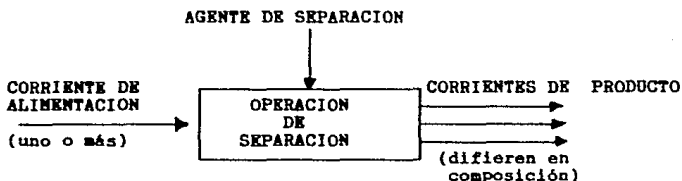


FIGURA 2.3 COMPONENTES DE UNA OPERACION DE SEPARACION.

Con mucha frecuencia el agente de separación provoca la formación de una segunda fase de materia, ahora bien, una

separación tiene lugar si la fase generada tiene composición diferente de la fase inicial (alimento), además se dice que las operaciones de separación donde las fases inmiscibles tienden hacia el equilibrio una con otra se denominan operaciones de separación de equilibrio.

Se puede mencionar otros tipos de agentes de separación y las operaciones que los involucran pero no es objetivo del presente trabajo el hacerlo, por lo que se recomienda se consulte la referencia (1).

El grado de separación que puede obtenerse con cualquiera de las operaciones de separación se indica mediante un factor de separación. Puesto que el objetivo que tiene toda operación de separación es obtener productos de composición diferentes, es lógico definir un factor de separación en función de las composiciones del producto:

$$\alpha_{ij} = \frac{x_{i1} / x_{j1}}{x_{i2} / x_{j2}}$$

El factor de separación, α_{ij} ; entre los componentes i y j es la razón de las fracciones molares de los dos componentes en el producto 1 dividido por la razón en el producto 2. Es bien claro que el factor de separación permanecerá invariable si todas las fracciones molares se sustituyen por la fracciones másicas, caudales molares de los componentes individuales, o por caudales másicos de los mismos.

Una separación efectiva se consigue en el momento en que el factor de separación difiere significativamente de la unidad, es decir:

Si $a^{*ij} = 1$, ninguna separación de los componentes i y j tiene lugar.

Si $a^{*ij} > 1$, el componente tiende a concentrarse en el producto 1 mas que el componente j, y el componente j tiende a concentrarse en el producto 2 mas que el componente i.

Por otro lado, si $a^{*ij} < 1$, el componente j tiende a concentrarse en el producto 1 preferentemente, y el componente i tiende a concentrarse preferentemente en el producto 2.

Ahora bien por convención los componentes i y j se seleccionan generalmente de modo que a^{*ij} sea superior a la unidad.

El factor de separación refleja las diferencias en las composiciones de equilibrio debidas a los fenómenos físicos fundamentales que provocan la separación. Puede reflejar también la construcción y la configuración del equipo usado para la separación. Por esta razón es conveniente definir un factor de separación inherente, que se define a_{ij} , sin el supraindice. El factor de separación inherente es el factor

de separación que se obtendrá bajo condiciones ideales. En el caso de las operaciones de separación de equilibrio, el factor de separación inherente corresponde a aquellas composiciones del producto que se obtendrían cuando se alcanzase el equilibrio entre las fases.

Se verá que el factor de separación inherente a_{ij} y el factor de separación a^*_{ij} , basados en las composiciones reales del producto, pueden utilizarse para el análisis de las operaciones de separación. Cuando a_{ij} puede deducirse de forma relativamente fácil, la aproximación más común es analizar una operación de separación sobre la base del factor de separación inherente a^*_{ij} y tener en cuenta las desviaciones de la idealidad a través de eficacias. Este procedimiento es ventajoso, puesto que, como se verá, a_{ij} es frecuentemente insensible a los cambios en la composición de la mezclas, temperatura y presión.

El modelo básico de destilación que describe la operación de una columna de destilación, utiliza el concepto de plato o etapa ideal de equilibrio. En el cual se tiene que el líquido y el vapor que salen de la misma, se encuentra en equilibrio. Además, se supone que las retenciones del líquido y el vapor se encuentran perfectamente mezcladas.

Las suposiciones de equilibrio y mezclado perfecto son esenciales, ya que a partir de estas se podrá hacer una

aproximación a los valores de la composición de los componentes en ambas fases líquido-vapor, a través de los principios termodinámicos y valores experimentales de equilibrio.

En los equipos de destilación, por lo general se utilizan diversos dispositivos (platos, charolas o empaques), para brindar un contacto íntimo entre las fases. Las charolas son colocadas una encima de otra y encerradas en una coraza cilíndrica para formar una columna o torre de destilación. De esta manera, cada plato representa en teoría una etapa ideal de equilibrio. En la Figura 2.4 se esquematiza una Columna de Destilación típica y los equipos periféricos que la componen.

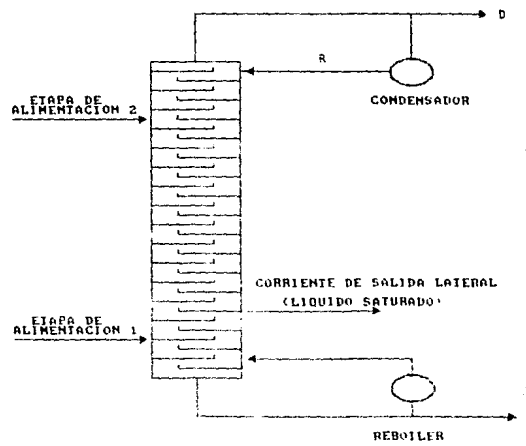
Principalmente, las columnas de destilación pueden ser divididas en dos tipos, dependiendo de su operación :

- i) Continuas, esto es, en donde la alimentación de la torre y la salida de los productos se lleva a cabo en forma ininterrumpida.
- ii) BATCH , en donde se lleva a cabo una secuencia de operación consistente en: alimentación de la torre, estabilización de la misma y salida de productos.

Una de las partes esenciales para un buen diseño de estas operaciones de separación es el conocimiento del equilibrio

FIGURA < 2-4 >

CONFIGURACION TIPICA DE UNA COLUMNA DE DESTILACION



de fase requerido. Por lo que el propósito del presente trabajo es dar a conocer métodos para estimar estos equilibrios a partir de un mínimo de información experimental.

III. METODOS DE CONTRIBUCION DE GRUPOS

En la sección anterior se indicó que el grupo es una entidad social que posee una serie de características propias que lo distinguen de las demás entidades. Una de las principales características del grupo es su capacidad para contribuir a la realización de un fin común. Esta capacidad se manifiesta en la forma en que los miembros del grupo trabajan juntos para lograr un objetivo común. Los métodos de contribución de los grupos varían dependiendo de la naturaleza del grupo y del fin que se persigue. Los métodos más comunes de contribución de los grupos son:

- 1. Contribución individual: Los miembros del grupo contribuyen de manera individual al logro del fin común. Cada miembro tiene la libertad de elegir su propia forma de contribución y de trabajar según sus propias habilidades y conocimientos.
- 2. Contribución colectiva: Los miembros del grupo trabajan juntos para lograr un objetivo común. La contribución colectiva implica la coordinación y la comunicación entre los miembros del grupo para lograr un resultado共同的.
- 3. Contribución jerárquica: Los miembros del grupo están organizados en una jerarquía y cada miembro tiene una función específica dentro del grupo. La contribución jerárquica implica la realización de tareas específicas por los miembros del grupo de acuerdo con su función.
- 4. Contribución voluntaria: Los miembros del grupo contribuyen voluntariamente al logro del fin común. La contribución voluntaria implica la motivación y el compromiso de los miembros del grupo para trabajar juntos en favor del grupo.
- 5. Contribución obligatoria: Los miembros del grupo contribuyen obligatoriamente al logro del fin común. La contribución obligatoria implica la obligación legal o contractual de los miembros del grupo de contribuir al logro del fin común.

Los métodos de contribución de los grupos tienen una gran influencia en la eficiencia y la efectividad del trabajo en equipo. Los métodos de contribución de los grupos deben ser seleccionados de acuerdo con la naturaleza del grupo y el fin que se persigue. Los métodos de contribución de los grupos deben ser diseñados para promover la cooperación y la comunicación entre los miembros del grupo y para lograr un resultado共同的.

III.- METODOS DE CONTRIBUCION DE GRUPOS.

3.1 CONCEPTO DE CONTRIBUCION DE GRUPOS.

En los últimos años se ha dado mucha atención al desarrollo de métodos para el diseño de columnas de destilación y absorción, recibiendo una menor atención el desarrollo de métodos para extracciones líquido-líquido. Este trabajo pretende presentar una serie de procedimientos esquemáticos para el cálculo de equilibrio de multicomponentes líquido-vapor y líquido-líquido para mezclas comúnmente encontradas en los procesos de las industrias químicas.

El número de mezclas líquidas y de vapor en los procesos tecnológicos es increíblemente grande, por lo que no es razonable esperar que equilibrios experimentales líquido-vapor y líquido-líquido siempre estarán disponibles tan solo para una significante fracción de este número de mezclas posibles. Además, para obtener buenos datos experimentales se requiere de habilidad experimental, experiencia y paciencia. Esto es por lo tanto, una necesidad económica para considerar técnicas para calcular equilibrios de fase para mezclas multicomponentes a partir de pocos datos experimentales. Dichas técnicas o métodos requerirán solamente de un esfuerzo experimental limitado, siempre y cuando sean basados sobre fundamentos teóricos para proveer confiabilidad en la

interpolación y extrapolación con respecto a la temperatura, presión y composición.

El equilibrio líquido-vapor y líquido-líquido depende de la naturaleza de los componentes presentes, de la concentración en ambas fases, así como de la presión y la temperatura del sistema. Debido al gran número de variables las cuales determinan el equilibrio en multicomponentes, es esencial utilizar una herramienta organizacional eficiente, la cual reduzca los datos experimentales disponibles a un número pequeño de funciones y parámetros teóricamente significativos. Estas funciones y parámetros son llamados formas de los bloques constructores, los cuales construyen el equilibrio deseado. Dicha herramienta organizacional es proporcionada por análisis y síntesis termodinámica:

- Primero, los datos de componentes puros y binarios los cuales son limitados para producir cantidades termodinámicas fundamentales.
- Segundo, estas cantidades son reducidas para obtener parámetros en un modelo molecular. Ahora bien, con este modelo por síntesis puede ser usado para calcular el comportamiento de la fase vapor y líquida para multicomponentes. En este paso, es posible escalar sistemas de datos binarios y de componentes puros para obtener buenas estimaciones de las propiedades de mezclas multicomponentes de una gran variedad de componentes.

Los Métodos de Contribución de Grupos están basados en el concepto de contribución de grupos, los cuales han sido obtenidos de la estimación de una variedad de propiedades de componentes puros, tal como la densidad, capacidad calorífica y constantes críticas. La idea básica es que donde hay miles de compuestos químicos de interés en la tecnología, el número de grupos funcionales los cuales constituyen estos compuestos es mucho más pequeño. Además, si asumimos que una propiedad física de un fluido es la suma de contribuciones hechas por los grupos funcionales de la molécula, obtenemos una técnica o metodología posible de correlacionar las propiedades de un gran número de fluidos en términos de un mucho menor número de parámetros, los cuales caracterizan las contribuciones de grupos individuales. En resumen, los Métodos de Contribución de Grupos predicen equilibrios de fase en sistemas en los cuales no existen datos.

Los Métodos de Contribución de Grupos son aproximaciones, en virtud de que la contribución de un determinado grupo en una molécula no es necesariamente la misma con respecto a otra molécula. La suposición fundamental de un Método de Contribución de Grupos es que la contribución hecha por un grupo es asumido a ser independiente de lo hecho por otro grupo. Esta suposición es válida solamente cuando la influencia de algún grupo en una molécula no es afectada por la naturaleza de otros grupos dentro de esta molécula. Por ejemplo, se esperaría que la contribución de un grupo C=O

(carbonilo) en una cetona (digamos acetona) sea la misma que la de un grupo C=O en un ácido orgánico (digamos, ácido acético). Por otro lado, la experiencia sugiere que la contribución de un grupo C=O en una acetona sea cercana (aunque no idéntica) a la contribución de un grupo C=O en 2-butanona.

La extensión de la idea del Grupo Funcional a mezclas es extremadamente atractiva; ya que el número de fluidos en la tecnología química es ya muy grande, el número de mezclas diferentes es aún más grande, por muchos órdenes de magnitud. Un gran número de mezclas líquidas multicomponentes de interés en la industria química pueden ser constituidos a partir de los grupos funcionales establecidos hasta hoy.

Los métodos propuestos en este trabajo tienen una firme base termodinámica. Para el equilibrio líquido-vapor, el método seleccionado puede ser usado a presiones bajas o moderadas y que son comúnmente encontradas en los procesos de separación. Para el equilibrio líquido-líquido, el efecto de presión es generalmente despreciable a menos que esta sea muy grande o esté cerca de la región crítica.

3.2 METODOS DE CONTRIBUCION DE GRUPOS.

En el diseño de columnas de destilación, torres de absorción, unidades de extracción y otros equipos de separación es necesario contar con datos de equilibrio . Los datos experimentales pueden ser encontrados en la literatura para diferentes mezclas, y para poder hacer interpolaciones y extrapolaciones en la concentración, temperatura y presión es necesario disponer de modelos confiables que nos sirvan para calcular estos equilibrios . Las ecuaciones de Wilson, NRTL y UNIPAC son ejemplos de los modelos ampliamente utilizados . Los parámetros en estos modelos son estimados frecuentemente de datos experimentales de equilibrios de mezclas binarias.

Para sistemas en los cuales los datos experimentales son reducidos o no existen, es necesario métodos predictivos. En años recientes, el enfoque por medio de Contribución de Grupos han venido a ser una herramienta valiosa para tales predicciones. A continuación se describen algunos de los Métodos de Contribución de Grupos para la predicción de equilibrios de fase que son aplicables a problemas actuales y que se encuentran en desarrollo.

ASOG (Analytical Solution Groups) y UNIFAC (UNIQUAC Functional Group Activity Coefficients) son los Modelos de Contribución de Grupos mejor establecidos para la predicción de datos de actividades en fase líquida para mezclas no-

electrolíticas. Los métodos están basados sobre el concepto GRUPOS EN SOLUCION . Los grupos son unidades estructurales como por ejemplo CH₃ , OH- y otros, los cuales al adicionararse forman la molécula principal. En lugar de considerar una mezcla líquida como una solución de moléculas, la mezcla es considerada como una solución de grupos, representando esto una gran ventaja. El número de componentes de interés en la tecnología química es muy grande y el número de grupos que forman estos componentes es relativamente pequeño. Los coeficientes de actividad de un gran número de mezclas pueden ser calculados de parámetros característicos que representan unos pocos grupos de interacciones energéticas entre los grupos.

En ambos métodos los coeficientes de actividad son calculados mediante dos términos:

- a) Una parte combinatorial para diferencias en tamaño y forma de las moléculas.
- b) Otra parte residual para interacciones energéticas entre los grupos.

Como consecuencia de esta suposición, el logaritmo para el coeficiente de actividad puede ser escrito como:

$$\ln \gamma_i = \ln \gamma_i^C + \ln \gamma_i^R$$

donde:

Γ_{iC} es la parte combinatoria o de tamaño o entrópica.

Γ_{iR} es la parte residual o de interacción o entálpica.

A continuación presentamos los distintos Métodos de Contribución de Grupos.

3.2.1.- Solución Analítica de Grupos (ASOG).

El método ASOG fue propuesto por primera vez por Derr y Deal (1969) y utiliza la ecuaciones de Wilson para describir la interacción entre los grupos y la ecuación de Flory-Huggins para describir la parte combinatoria, este método calcula el equilibrio líquido-vapor, líquido-líquido y sólido-líquido. El método ha sufrido modificaciones severas por varios autores. Una de las limitaciones que presenta este método es que únicamente un número limitado de parámetros de interacción de grupos han sido publicados en la literatura abiertamente. Kojima y Tochigi han modificado esta situación con la publicación de monogramas con el tratamiento del método ASOG para el cálculo del equilibrio líquido-vapor.

El método comprende 41 grupos y Kojima y Tochigi (2) han estimado 243 parámetros representativos de las 465 posibles

interacciones de grupos en el rango de temperatura de 303 a 423 °K.

Las ecuaciones para el cálculo de coeficientes de actividad son las siguientes:

$$\ln \Gamma_i = \ln \Gamma_i^C + \ln \Gamma_i^K \quad \dots \quad (3.1.1)$$

$$\ln \Gamma_i^C = (\ln \phi_i / x_i) + (1 - \phi_i / x_i) \quad \dots \quad (3.1.2)$$

$$\phi_i = x_i S_i / \sum_j x_j S_j \quad \dots \quad (2.1.3)$$

$$j = 1, 2, \dots, N$$

S_i = No. de Atomos (distintos al hidrógeno) en la molécula i.

ϕ = Fracción del número de átomos en la molécula i.

x_i = Fracción mol del líquido del componente i.

N = No. de Componentes.

$$\ln \Gamma_i^K = \sum_k \delta_{ki} (\ln \tau_k - \ln \tau_k(i)) \quad \dots \quad (2.1.4)$$

$$k = 1, 2, 3, \dots, M$$

δ_{ki} = No. de Atomas (distintos al hidrógeno) en el grupo K de la molécula i.

τ_K = Coeficiente de actividad del grupo K.

$\tau_K(i)$ = Coeficiente de actividad del grupo K en el componente puro i.

M = No. de Grupos.

$$\ln \tau_K = - \ln \sum_i x_i \alpha_{ki} + 1 - \sum_i x_i \alpha_{ik} / \sum_m x_m \alpha_{im} \quad (3.1.5)$$

α_{ki} = Parámetro de interacción característico del grupo K y i ($\alpha_{ki} = \alpha_{ik}$).

x_i = Fracción del grupo i.

$$x_i = \sum_k x_i \delta_{ki} / \sum_k x_i \delta_{ki}$$

K = 1, 2, ..., M

i = 1, 2, ..., N

$$\ln \alpha_{ki} = m_{ki} + n_{ki} / T \quad (3.1.6)$$

m_{ki} , n_{ki} = Parámetros del Grupo, independientes de la temperatura.

T = Temperatura.

El término combinatorio es calculado por una ecuación similar a la ecuación de Flory-Huggins, en la cual únicamente las diferencias en tamaños de las moléculas son tomadas en consideración. El grupo residual del coeficiente de actividad τ_K es calculado de acuerdo a la ecuación de Wilson con concentraciones dadas por la fracción de grupo X_K , siendo τ_K una función de la temperatura también.

El tamaño de un grupo es normalmente fijado como el número de átomos (diferentes al hidrógeno) en el grupo. Para H₂O, CH y C en alkanos, éstos adoptan los valores de:

$$\delta_{H_2O} = 1.6$$

$$\delta_{CH} = 0.8$$

$$\delta_C = 0.5$$

También cabe hacer notar que los parámetros de interacción del grupo $_{AK}$ entre los grupos K y l son considerados como funciones de la temperatura, que por cada par de grupos esto nos da cuatro parámetros (m_{kl} , n_{kl} , m_{lk} , n_{lk}).

3.2.2.- UNIFAC.

El método UNIFAC es particularmente uno de los mas confiables para calcular los coeficientes de actividad utilizando el concepto de Contribución de Grupos, siendo este una consecuencia de un modelo para el cálculo de coeficientes de actividad llamado UNIQUAC (Universal Quasi-Chemical), el cual representa un intento para generalizar a moléculas de diferentes tamaños y formas. El modelo UNIQUAC fue propuesto por Denis Abrams y continuado por Aage Fredenslund .

El modelo UNIFAC desde su primera versión en 1975 puso en claro que poseía una gran solidez, requiriéndose de un gran esfuerzo para realizar que este método desarrollase su total potencial para incrementar su utilidad y seguridad.

El método UNIFAC ahora comprende 46 grupos. De las 561 posibles interacciones entre los grupos, 272 han sido estimados. El cálculo para el equilibrio líquido-vapor pueden ser realizados en un rango de temperatura de 300 a 425 °K para sistemas no-electrolíticos.

El UNIFAC al igual que ASOG tiene 2 términos, uno combinatorio y otro residual. Los parámetros necesarios para el uso de UNIFAC son:

a) Volúmenes de Grupo

b) Áreas superficiales de Grupo

c) Parámetros de Interacción de Grupos (α_{nn} y α_{nm}).

El método UNIFAC fue originalmente desarrollado para el cálculo de equilibrio líquido-vapor, y este ha sido un método flexible y confiable para estos propósitos.

Los parámetros de interacción de grupos han sido estimados de datos experimentales de equilibrios líquido-vapor. Predicciones de equilibrio líquido-líquido y de calores de mezcla (H^m) son mostrados por Fredenslund (3).

Si un modelo de fase líquida da una buena representación simultánea del equilibrio líquido-vapor y H^m , es posible usar el modelo para cálculos de datos de equilibrio líquido-vapor a una temperatura para datos de equilibrio líquido-vapor a otra temperatura. Algunos autores (Skjold-Jorgensen (4)) han mostrado que UNIFAC y UNIQUAC pueden ser muy buenos para extrapolaciones de temperatura por la introducción de un número de coordinación generalizado $z(T)$ en función de la temperatura.

Skjold-Jorgensen (4) mostraron que para mezclas de componentes no - asociados con la nueva función $z(T)$, se tiene:

- 1) Que la representación simultánea del equilibrio líquido - vapor y HM es muy buena.
- 2) Que esto es posible para la predicción del equilibrio líquido-vapor a partir del método UNIFAC modificado con parámetros basados sobre datos de (HM).
- 3) Que la predicción de HM a partir de una isotermia de un conjunto de datos para equilibrio líquido-vapor es cuantitativamente aceptable.

El método de UNIFAC modificado dependiente de la temperatura ha sido resultado superior al tipo simple de parámetros de interacción de grupos dependientes de la temperatura, ya que este último no tiene significado físico y extrapolaciones mas allá de la región de temperatura y componentes donde los parámetros fueron ajustados pueden llevar a grandes errores.

En resumen, el modelo UNIFAC modificado contiene aún algunos parámetros del modelo original, o sea dos por cada par de grupos.

El término combinatorio en UNIFAC y UNIQUAC no siempre representa con exactitud los coeficientes de actividad para sistemas donde la contribución residual puede tener un valor de cero, por ejemplo en mezclas de hidrocarburos alifáticos.

Las ecuaciones utilizadas para el modelo UNIFAC son:

$$\ln \bar{\Pi}_i = \ln \bar{\Pi}_i^C + \ln \bar{\Pi}_i^R \quad \text{--- (3.2.1)}$$

$$\ln \bar{\Pi}_i^C = ((\ln \phi_i/x_i) + 1 - \phi_i/x_i) - 1/2zq_i(\ln \phi_i/\theta_i + 1 - \phi_i/\theta_i)$$

--- (3.2.2)

$$\phi_i = x_i \tau_i / \sum_j x_j \tau_j$$

$$\theta_i = x_i q_i / \sum_j x_j q_j$$

(Suma de todos los componentes)

$$\tau_i = \sum_k \delta_{ki} R_k$$

$$q_i = \sum_k \delta_{ki} Q_k$$

(Suma de todos los componentes)

R_k = parámetro de volumen para el grupo K.

Q_k = parámetros de área superficial para el grupo K.

δ_{ki} = número de grupos de tipo K en la molécula i.

x_i = fracción mol del líquido del componente i.

z = número de coordinación = 10

$$\ln \Gamma_i^R = \sum_k \delta_{ki} (\ln \tau_k - \ln \tau_k(i)) \quad \dots \quad (3.2.3)$$

$$\ln \tau_k = Q_k \left(1 - \ln \left(\frac{\sum \theta_m \Omega_{mk}}{n} \right) - \sum_n \left(\frac{\theta_m \Omega_{mk}}{\sum \theta_n \Omega_{nk}} \right) \right) \quad \dots \quad (3.2.4)$$

$$\Omega_{nm} = \exp \left(-\alpha_{mn} / T \right) \quad \dots \quad (3.2.5)$$

$$\theta_m = Q_m X_m / \sum_n Q_n X_n$$

$$X_m = \sum_j \delta_{mj} x_j / \sum_j \sum_n \delta_{nj} x_j$$

α_{mn} = Parámetro de interacción de grupo para la interacción entre grupos m y n.

Kikic (5) propuso una nueva expresión para el término combinatorio en UNIFAC (UNIQUAC). La parte de Flory-Huggins de la expresión para Γ_i^C ha sido cambiada como sigue:

$$\ln \Gamma_i^C = \left(\ln \Omega_i/x_i + 1 - \Omega_i/x_i \right) - 1/2 z q_i (\ln \phi_i/\theta_i + 1 - \phi_i/\theta_i) \quad \dots \quad (3.2.6)$$

en la cual:

$$\Omega_i = x_i \tau_i^{2/3} / \sum_j x_j \tau_j^{2/3}$$

donde:

τ_j es el parámetro de volumen molar del componente j.

La nueva expresión para \bar{V}^{FC} resulta más propia para predicciones de coeficientes de actividad en mezclas conteniendo hidrocarburos saturados.

3.2.3- PARAMETROS DE CONTRIBUCION DE GRUPOS (PFGC).

El método PFGC fue propuesto por Cunningham (6), cuyo rango de aplicabilidad fue extendido por Wilson (7) y Moshfeghian et al (8).

El líquido es considerado que tiene una estructura entrelazada o cristalina con cavidades. La energía de Helmholtz del líquido es escrita como sigue:

$$A \text{ (PFGC)} = A \text{ (FH)} + A \text{ (W)}$$

donde $A \text{ (FH)}$ es una contribución de tamaño de Flory-Huggins, y $A \text{ (W)}$ es un término de interacción para la cual la ecuación de Wilson modificada es utilizada. Este supone que las expresiones para la energía de Helmholtz son expresiones análogas para la energía de Gibbs. En ambas $A \text{ (FH)}$ y $A \text{ (W)}$ consideran la presencia de cavidades en la estructura

liquida. Esta ecuación permite ser transformada en una ecuación de este tipo mediante manipulaciones matemáticas y por aproximaciones físicas razonables.

La ecuación PFGC contiene tres parámetros y por cada grupo i puro:

B_{ii} = la interacción entre grupos i (en función de T)

b_i = el volumen de una mol del grupo i .

s_i = un parámetro proporcional a el número de grados de libertad externos por grupo i (vibracional, rotacional, etc.).

En el caso de mezclas, es necesario un coeficiente de interacción adicional por par de grupos.

Cunningham (6) aplica la ecuación PFGC especialmente para sistemas de hidrocarburos en un amplio rango de presiones y de componentes por ejemplo C₁ a C₂₂. Para equilibrios líquido-vapor en mezclas con componentes polares fueron predichos con buenos resultados.

Moshfeghian (8) ha revisado y extendido la tabla de los parámetros y ha realizado cálculos para un gran número de sistemas, incluyendo hidrocarburos largos y componentes

los autores de mencionar que ASOG es aplicable especialmente para sistemas de procesos de licuefacción de carbono natural.

3.3.- COMPARACION ENTRE ASOG Y UNIFAC.

La comparación que se pretenda hacer es por el hecho de que ASOG y UNIFAC se basan sobre el concepto de composición local. Una verdadera comparación entre estos dos métodos es un tanto difícil, ya que por lo general no es posible ver una diferencia en la exactitud de las predicciones. Ambos métodos dan unos coeficientes de actividad próximos con una exactitud de $\pm 10\%$. Sin embargo, en la actualidad el método UNIFAC tiene algunas ventajas en comparación con el método ASOG, siendo las siguientes:

- El método UNIFAC tiene un amplio rango de aplicación ya que tiene un gran número de parámetros de interacción que han sido publicados.

La más severa limitación para aplicar ASOG es que solamente un número limitado de parámetros de interacción de grupos han sido publicados. Algunas compañías industriales tienen listas extensivas de parámetros ASOG aplicables a mezclas que son de importancia para la industria.

2.- Los parámetros de interacción de grupos son menos dependientes de la temperatura para UNIFAC que para ASOG.

3.- El método UNIFAC esta basado en el modelo UNIQUAC, por lo tanto las relaciones de cálculo de los términos combinatorios y residuales tiene bases teóricas. Mucha de la arbitrariedad en la selección de ecuaciones para los dos términos en ASOG son por lo tanto removidos y el usuario no tendrá dificultades en definir los grupos estructurales de una mezcla dada.

4.- Las diferencias en la estructura molecular son tomadas en cuenta por el uso no solamente de los volúmenes de grupo sino también de las áreas de grupo.

Por lo dicho anteriormente, se selecciona el método UNIFAC para realizar un estudio mas detallado sobre su funcionamiento y aplicación, y esto será desarrollado en el siguiente capítulo.

IV. ESTUDIO DEL METODO DE CONTRIBUCION DE GRUPOS UNIFAC.

IV.- ESTUDIO DEL METODO DE CONTRIBUCION DE GRUPOS (UNIFAC).

En esta sección se describe en forma detallada el modelo UNIFAC y los parámetros necesarios para su aplicación.

4.1.- El Modelo UNIFAC.

Estimación de propiedades termodinámicas de mezclas líquidas usando Contribución de Grupos fue sugerido por primera vez por Langmuir (10). Esta sugerencia recibe poca atención, posteriormente Derr y sus colaboradores (11) utilizan este método para correlacionar calores de mezcla, seguidos por Wilson y Deal (12), quiénes desarrollan el método de solución de grupos para coeficientes de actividad. El método UNIFAC está basado sobre estas ideas.

El objetivo básico del método es el de utilizar datos de equilibrios de fase existentes para producir equilibrios de fase de sistemas para los cuales estos no están disponibles.

El método involucra:

Reducción adecuada de datos de coeficientes de actividad obtenidos experimentalmente para obtener los parámetros de interacciones entre pares de grupos estructurales en sistemas no electrolíticos y utiliza estos parámetros para predecir

coeficientes de actividad para otros sistemas los cuales no han sido analizados experimentalmente pero los cuales contienen algunos grupos funcionales. Un "grupo" es una unidad estructural como por ejemplo -CH₃, -COCH₂ y -CH₂Cl. Las suposiciones fundamentales del método de solución de grupos son:

- 1.- El logaritmo del Coeficiente de Actividad es igual a la suma de dos contribuciones: una parte combinatoria, esencialmente para establecer diferencias en tamaño y forma de las moléculas en la mezcla, y una parte residual, esencialmente para interacciones energéticas.

Para la molécula i en alguna solución:

$$\ln \Gamma_i = \frac{\ln \Gamma_i^c}{\text{combinatorial}} + \frac{\ln \Gamma_i^r}{\text{residual}} \quad (4.1)$$

La diferenciación entre éstos dos tipos de contribuciones para Γ_i es necesario, ya que la no idealidad de la fase líquida causada por efectos de tamaño y forma no pueden estar asociados con grupos de interacciones energéticas.

- 2.- La parte residual, es igual a la suma de contribuciones individuales de cada grupo soluto en la solución menos la suma de contribuciones individuales de los componentes puros involucrados:

$$\ln \frac{F_i R}{\tau_K} = \sum_{k=1}^K \delta_k(i) (\ln \tau_k - \ln \tau_K(i)) \quad \dots \quad (4.2)$$

para todos los grupos, donde:

τ_k = 1,2,..., N, donde N es el número de grupos diferentes en la mezcla.

τ_K es el coeficiente de actividad residual del grupo K en una solución; $\tau_K(i)$ es el coeficiente de actividad residual del grupo K en una solución de referencia conteniendo solamente moléculas del tipo i; y δ_k es el número de grupos del tipo K en la molécula i. El término $\tau_K(i)$ es necesario para lograr la normalización cuando el coeficiente de actividad llega a ser la unidad como $x_i \rightarrow 1$. El estado estandard para el coeficiente de actividad del grupo residual no necesita ser definido debido a cancelación de términos.

3.- Los grupos involucrados conteniendo grupos del tipo 1,2,...,N son únicamente función de la concentración de los grupos y la temperatura:

$$\frac{\tau_K}{\tau_K(i)} = F (x_1, x_2, \dots, x_N; T) \quad \dots \quad (4.3)$$

Algunas funciones son utilizadas para representar τ_K y $\tau_{K(i)}$. Las fracciones de grupo : X son definidas como:

$$X_K = \sum \delta_K(i) x_i / \sum \sum \delta_j(i) x_i \quad \text{-----(4.4)}$$

i = 1,2,...,M (número de componentes)

j = 1,2,...,N (número de grupos)

De acuerdo a esta suposición, por ejemplo el coeficiente de actividad residual para todas las mezclas cetonas-alkanos pueden ser calculados por alguna función F. Esto es, que algunos parámetros son usados para representar el equilibrio vapor-líquido en mezclas acetona-hexano y mezclar 5 decano-nonenone.

Para formular un método de Contribución de Grupos específico para la predicción de coeficientes de actividad, es necesario definir:

- a. La ecuación para calcular $\ln \frac{\tau}{\tau^0}$.
- b. La ecuación para calcular τ_K y $\tau_{K(i)}$.
- c. Los grupos funcionales para formar las moléculas (asignación de grupos).

En los modelos de Derr, Deal, Wilson y ASOG (Solución Analítica de Grupos) se tiene:

(1) Los coeficientes de actividad combinatorios son calculados usando la ecuación atérmica de Flory-Huggins:

$$\ln \Gamma_{iC} = \ln \tau_{iFH} + (1 - \tau_{iFH}) \quad \dots \dots \dots \quad (4.5)$$

$$\tau_{iFH} = \delta_{iFH} / \sum \delta_{jFH} x_j$$

en la cual δ_{iFH} es el número de átomos en la molécula excepto átomos de hidrógeno.

(2) τ_k y $\tau_k^{(i)}$ son representados por la ecuación de Wilson:

$$\ln \Gamma_k = 1 - \ln \sum_j x_j \Omega_{kj} - \frac{1}{\sum_i} \left(\frac{x_i \Omega_{ik}}{\sum_j x_j \Omega_{kj}} \right)$$

$$i \text{ y } j = 1, 2, \dots, N$$

dónde la variable independiente es la fracción del grupo X_k

(3) A todos los grupos se les asignan números enteros asociados con su tamaño. Por ejemplo, los grupos CH₂, CH, CO, son asignados al tamaño 1.0, los grupos éster COO se asignado al tamaño 3, etc., únicamente al agua difiere de este esquema, siendo asignado a este el tamaño 1.4.

La combinación del modelo UNIQUAC (10) con el método de solución de grupos da origen al método UNIFAC. En el cual:

(1) Los coeficientes de actividad combinatorio son calculados mediante potencias de Florymush en el modelo UNIQUAC (13). La parte combinatorial toma en cuenta las contribuciones en las diferencias del tamaño y forma molecular. Estas son obtenidas de una buena definición del volumen del grupo de su área constante R_k y Q_k .

(2) Los coeficientes de actividad de los grupos residuales son representados por la parte residual de la ecuación UNIQUAC (ecuación 3.2.3), donde la variable independiente concentración es la fracción del grupo, X_k .

(3) Las constantes que representan los tamaños y las formas de los grupos R_k y Q_k son obtenidos de datos de estructuras atómicas y moleculares, siendo estas constantes los grupos de Van der Waals de volumen y de área superficial V_k y de A_k :

$$R_k = V_k / 15.17 \text{ y } Q_k = A_k / (2.5 * 10^9) \text{ ----- (4.6)}$$

Los factores de normalización 15.17 y $2.5 * 10^9$ son derivados por Abrahams y Prausnitz (13).

El método UNIFAC esta constituido por las siguientes ecuaciones:

Coeficientes de Actividad Combinatorios para el Componente i:

$$\ln \Gamma_{ic} = \ln \theta_i/x_i + z/2 (q_i \ln \theta_i/\Phi_i) + l_i - \Phi_i/x_i (\sum_j l_j) \quad (4.7)$$

$$l_i = z/2 (\tau_i - q_i) - (\tau_i - 1) \quad ; \quad z = 10$$

$$\theta_i = q_i x_i / \sum_j x_j \quad ; \quad \Phi_i = \tau_i x_i / \sum_j x_j$$

θ_i = fracción del área superficial molecular.

Φ_i = fracción del volumen molecular.

i = 1,2,..., M (Número de componentes)

El volumen y el área superficial de Van Der Waals se representa respectivamente como :

$$\tau_i = \sum_k \delta_k(i) R_k \quad (4.8)$$
$$q_i = \sum_k \delta_k(i) Q_k$$

k = 1,2,..., N (Número de grupos en la molécula i)

son determinados a través de los grados de libertad, mediante otras propiedades. Note que Γ_{ic} no depende de la temperatura

Coefficientes de Actividad Residual para el grupo K:

$$\ln \tau_K = Q_K \left(1 - \ln \left(\sum_m \Omega_{mK} \right) - \sum_n \left(\frac{\theta_m \Omega_{mK}}{\sum_m \Omega_{mK}} \right) \right) \quad (4.9)$$

m y n = 1, 2, ..., N (todos los grupos)

La ecuación (3.1.9) también es utilizada para $\tau_K(\cdot)$. La ecuación es similar a las usadas en el modelo UNIQUAC para calcular Γ :

$$\theta_m = Q_m X_m / \sum_n Q_n X_n \quad (4.10)$$

θ_m = Fracción del área del grupo

X_m = Fracción superficial del grupo

con $m = 1, 2, \dots, M$ $n = 1, 2, \dots, N$

El parámetro Ω_{nm} de la ecuación (3.1.9) está dado por la expresión:

$$\Omega_{nm} = \exp \left(-\alpha_{nm} / T \right) \quad (4.11)$$

En la ecuación (3.1.11) contiene el parámetro de interacción de grupos, α_{nm} , este es una medida de la diferencia en la

energía de interacción entre un grupo n y un grupo m y entre dos grupos m

Notese que a_{nn} y a_{mm} que el parámetro de interacción de grupos es independiente de la temperatura. Hay dos parámetros de interacción de grupos para cada par de grupos. Los parámetros pueden ser evaluados de datos de equilibrio para ternarios o mayores.

En la contribución combinatoria el coeficiente de actividad [ecuación (4.7)] depende únicamente del tamaño y forma de la molécula presente. Para moléculas de cadenas grandes, q_1/q_2 tiende a un valor constante, y en este límite, la ecuación (4.7) se reduce a una ecuación similar a la ecuación de Flory -Huggins usada en el método ASOG (14).

La contribución residual del coeficiente de actividad, ecuación (4.9), depende del área y las interacciones de los grupos. Cuando todas las áreas son iguales, la ecuación (4.9) es similar a la usada por el método ASOG (8).

El método UNIFAC presenta varias ventajas:

1.- Flexibilidad, debido a que cuenta con bases para el establecimiento de los tamaños y formas de los grupos.

- 2.- Simplicidad; ya que los parámetros son casi independientes de la temperatura, en el rango de temperatura considerado para la validez del método.
- 3.- Mayor rango de aplicabilidad, debido a la disponibilidad de parámetros para un numero considerable de diferentes grupos funcionales.

El método puede ser aplicado a mezclas binarias y multicomponentes no electrolíticas en condiciones donde el modelo UNIFAC tiene validez partiendo de la región crítica. Ademas, todos los componentes deben ser considerables. El rango de temperatura es entre 300°-425° K. Como una limitación, raramente sera aplicado a mezclas conteniendo componentes con mas de diez grupos funcionales.

La capacidad del método UNIFAC para predecir el equilibrio en sistemas donde no existen datos termodinámicos es explicada en la referencia (15) con mayor detalle.

4.2.- Parámetros de Interacción de Grupos.

Todos los métodos de Contribución de Grupos son aproximaciones, debido a que cualquier grupo dentro de una molécula no es completamente independiente de los otros grupos dentro de la misma molécula y esta interdependencia es la base esencial de todos los métodos de Contribución de Grupos.

TABLA 4.1 ESPECIFICACIÓN DE PARÁMETROS UNIEAC Y ASIGNACIÓN DE GRUPOS MUESTRALES

NUMERO DE GRUPO			ASIGNACION DE GRUPOS MUESTRA										
PRINCIPAL	SEC.	NOMBRE	R	G	P. MOL.	N	O	G	P	I	D	G	P
1	1	CH ₃	0.9011	0.848	15.03			2,2,4-Trimetilpentano					
1	2	CH ₂	0.6744	0.540	14.03				5		1		
1	3	CH	0.4469	0.228	13.02				1		2		
									1		3		
1	4	C	0.2195	0	12.01				1		4		
1	5	CH ₂ =CH	1.3454	1.175	27.05							3-Metil-1-hexano	
1	6	CH=CH	1.1167	0.857	26.04				2			1	
1	7	CH ₂ =C	1.1173	0.988	26.04				2		2		
1	8	CH=C	0.8889	0.675	25.03				1		3		
1	9	C=C	0.6605	0.485	24.02				1		5		
1	10	ACM	0.5313	0.400	13.02							BENCENO :	
1	11	AC	0.3651	0.120	12.01				6			10	
1	12	ACCH ₃	1.2653	0.968	27.05							XILENO :	
1	13	ACCH ₂	1.0395	0.660	26.04				4			10	
1	14	ACCH	0.8121	0.348	25.03				2			12	
1	15	OH	1.0000	1.290	17.01							ETANOL :	
									1		1		
									1		2		
									1		15		
6	16	CH ₃ OH	1.4311	1.432	32.04				1			METANOL :	
7	17	H ₂ O	0.9200	1.400	18.02				1			AGUA :	
8	18	ACOH	0.8952	0.680	29.02				1			FENOL :	
9	19	CH ₃ CO	1.6724	1.488	43.05				1			METILETILCETONA:	
9	20	CH ₃ CO	1.4457	1.180	42.04				1		1		
									1		2		
									1		19		

TABLA 4.1 ESPECIFICACION DE PARAMETROS UNIFAC Y ASIGNACION DE GRUPOS MUESTRA

NUMERO DE GRUPO		ASIGNACION DE GRUPOS						MUESTRA					
PRINCIPAL	SEC.	NOMBRE	R	Q	P. MOL.	N	O	G	P	I	D	G	P
10	21	CHO	0.9980	0.949	29.02					HEXANOL:			
						1				1			
						4				2			
						1				21			
11	22	CH ₃ COO	1.9031	1.728	59.04					BUTI-ACETATO:			
12	23	CH ₂ COO	1.6754	1.420	59.04	1				1			
						3				2			
						1				22			
12	24	HCOO	1.2420	1.188	45.02					FORMATO DE ETILO:			
						1				1			
						1				2			
						1				24			
13	25	CH ₃ O	1.1450	1.088	31.03					ETIL-ETER:			
13	26	CH ₂ O	0.9193	0.780	30.03	2				1			
13	27	CH-O	0.6908	0.468	29.02	1				2			
13	28	FCH ₂ O	0.9183	1.100	30.03	1				26			
14	29	CH ₃ NH ₂	1.5959	1.544	31.06					PROFIL-AMINA:			
14	30	CH ₂ NH ₂	1.3692	1.235	30.05	1				1			
14	31	CHNH ₂	1.1417	0.924	290.04	1				2			
						1				30			
15	32	CH ₃ NH	1.4337	1.244	30.05					DIETIL-AMINA:			
15	33	CH ₂ NH	1.2070	0.956	29.04	2				1			
15	34	CHNH	0.9795	0.824	28.03	1				2			
						1				33			
16	35	CH ₃ N	1.1945	0.940	29.04					TRIETIL-AMINA:			
16	36	CH ₂ N	0.9597	0.802	28.03	3				1			
						2				2			
						1				35			
17	37	ACNH ₂	1.0600	0.915	28.03					ANILINA :			
						5				10			
						1				37			

TABLA 4.1 ESPECIFICACION DE PARAMETROS UNIFAC Y ASIGNACION DE GRUPOS MUESTRA

NUMERO DE GRUPO						ASIGNACION DE GRUPOS		MUESTRA	
PRINCIPAL	SEC.	NOMBRE	R	G	P. MOL.	N	D	G	P
18	28	C ₆ H ₅	2.9993	2.113	79.19				METIL-PIRIDINA:
19	29	C ₆ H ₅	2.8732	1.933	78.09	1			1
19	30	C ₆ H ₅	2.8570	1.953	77.09	1			39
19	31	C ₆ H ₅	1.8761	1.724	41.05				PROPIONITRILIO:
19	32	C ₆ H ₅	1.8424	1.415	10.04	1			1
									42
	43	COOH	1.3013	1.224	45.02				ACIDO ACETICO:
	44	HOOC	1.5280	1.532	46.03	1			1
						1			43
21	45	CH ₂ CL	1.4654	1.254	49.48				CLORO-ETANO:
21	46	CHCL	1.12580	0.952	49.47	1			1
21	47	CCl	1.00650	0.724	47.46				45
21	48	CH ₂ Cl ₂	2.2564	1.988	94.93				1-DICLOROETANO:
21	49	CHCl ₂	2.0506	1.684	97.92	1			1
21	50	CCl ₂	1.8015	1.448	82.92	1			49
23	51	CH ₃ I	2.8700	2.410	119.38				1.1.1-TRICLOROETANO:
21	52	CCl ₃	2.6401	2.184	118.37	1			1
						1			52
24	53	CCl ₄	3.3900	2.810	152.82				TRICLOPOMETANO:
25	54	ACCl	1.1562	0.844	17.48	5			52
						5			10
						1			54
26	55	CH ₃ NO ₂	2.0086	1.888	51.04				NITROETANO:
26	56	CH ₂ NO ₂	1.7918	1.560	50.03	1			1
26	57	CHNO ₂	1.5544	1.248	59.02	1			56
26	58	ACNO ₂	1.4122	1.104	58.02	5			NITROBENENO:
						1			10
									58

TABLA 4.1 ESPECIFICACION DE PARAMETROS UNIFAC Y ASIGNACION DE GRUPOS MUESTRA

NUMERO DE GRUPO	PRINCIPAL	SEC.	NOMBRE	R	Q	P. MOL.	ASIGNACION DE GRUPOS MUESTRA						
							N	O	G	P	I	D	G
28	59	CS ₂		2.0570	1.659	76.13					DISULFUR DE CARBONO:		
							1				59		
29	60	CH ₃ SH		1.8770	1.676	48.10					ETANOETIOL:		
29	51	CH ₂ SH		1.6510	1.368	47.09		1			1		
							1				61		
30	62	FURFURAL		3.1680	2.481	96.09					FURFURAL:		
							1				62		
31	63	(CH ₂ OH) ₂		2.4088	2.248	62.07					ETILENGLICOL:		
							1				63		
32	64	I		1.2540	0.992	126.90					IODOMETANO:		
							1				1		
							1				64		
33	65	BR		0.9492	0.832	79.90					BROMOETANO:		
							1				1		
							1				64		
34	66	CH-TRIF-C		1.2920	1.088	25.03					PROPINO:		
34	67	C-TRIF-C		1.0612	0.784	24.02		1			1		
							1				65		
35	68	MeSO		2.8265	2.472	78.13					DIMETILSULFOXIDO:		
							1				68		
36	69	ACRY		2.0144	2.052	52.06					ACRILONITRILo:		
							1				69		
37	70	C1(C=O)		0.7910	0.724	35.45					TRICLOROETILENO:		
							1				8		
							1				70		
38	71	ACF		0.6948	0.524	31.01					FLUOROBENCENO:		
							5				10		
							1				71		

TABLA 4.1 ESPECIFICACION DE PARAMETROS UNIFAC Y ASIGNACION DE GRUPOS MUESTRA

NUMERO DE GRUPO			ASIGNACION DE GRUPOS MUESTRA				
PRINCIPAL	SEC.	NOMBRE	R	Q	P. MOL.	N O G P	I D G P
36	72	DMP-1	2.0856	2.126	73.09		DIMETILFORMAMIDA:
39	73	DMP-2	2.5722	2.120	43.03	1	72
						2	
						1	72
40	74	CF ₃	1.4960	1.030	1.780		PERFLUOROETANO:
40	75	CF ₂	1.0105	0.920	50.01	12	74
40	76	CF	0.6150	0.450	31.01		
40	77	COO	1.0300	1.200	44.01		BUTILACETATO:
						1	
						2	
						1	72
41	78	SiH ₃	1.6035	1.053	31.11		METILSILANO:
42	79	SiH ₂	1.4443	1.008	30.10	1	1
43	80	SiH	1.2851	0.749	39.09	1	78
44	81	Si	1.0470	0.410	28.09		
45	82	SiH ₂ O	1.4358	1.062	45.10		HEXAMETIL-DISILOXANO:
45	83	SiHO	1.0300	0.764	45.09	6	1
45	84	SiO	1.1044	0.486	44.09	1	81
						1	84
						1	95
44	85	TER-N	0.2854	0.092	14.01	3	TRIETILAMINA:
						3	1
						1	2
						1	85
46	86	AMIDH	1.4550	1.005	44.03		ACETAMIDA:
						1	1
						1	86
45	87	CON(Me) ₂	2.8590	2.428	72.09		N,N-METILETILAMIDA:
45	88	CON(MeCH ₂) ₂	2.6320	2.120	71.08	2	1
45	89	CON(CH ₂) ₂	2.4050	1.812	70.07	1	89

TABLA 4.2 PARAMETROS DE INTERACCION DE GRUPOS (anm), EN GRADOS KELVIN.

NUMERO DE GRUPO PRINCIPAL	1	2	3	4	5	6
1	0.000	86.020	61.130	76.500	986.500	697.200
2	-35.360	0.000	38.810	74.150	524.100	787.600
3	-11.120	3.446	0.000	167.000	638.100	637.300
4	-69.700	-113.600	-146.800	0.000	803.200	603.200
5	156.400	457.000	89.600	25.820	0.000	-137.100
6	16.510	-12.520	-50.000	-44.500	249.100	0.000
7	300.000	496.100	362.300	377.600	-229.100	289.600
8	275.800	217.500	25.340	244.200	-451.600	-265.200
9	26.760	42.920	140.100	365.800	164.500	108.700
10	505.700	133.000	0.000	0.000	-404.800	-340.200
11	114.800	132.100	85.840	-170.000	245.400	249.600
12	90.490	-62.550	0.000	0.000	191.200	155.700
13	83.360	26.510	52.130	65.690	237.700	339.700
14	-30.480	1.163	-44.850	0.000	-164.000	-481.700
15	65.330	-28.700	-22.310	223.000	-150.000	-500.400
16	-83.980	-28.380	-223.900	109.900	28.600	-406.800
17	5339.000	0.000	650.400	979.800	529.000	5.182
18	-101.600	0.000	31.870	49.800	-132.300	-378.200
19	24.820	-40.620	-22.970	-138.400	-185.400	157.800
20	315.300	1264.000	62.320	268.200	-151.000	1020.000
21	91.460	97.510	4.680	122.900	562.200	529.000
22	34.010	18.250	121.300	0.000	747.700	669.900
23	36.700	51.060	288.500	33.610	742.100	649.100
24	-78.450	160.900	-4.700	134.700	856.300	860.100
25	-141.300	-159.800	-237.700	375.500	246.900	661.600
26	-32.690	1.996	10.380	-97.050	341.700	252.600
27	5541.000	0.000	1824.000	-127.800	561.600	0.000
28	-52.650	16.620	21.500	40.680	823.500	914.200
29	-7.481	0.000	28.410	0.000	461.600	382.800
30	-25.310	0.000	157.300	404.300	521.600	0.000
31	140.000	0.000	221.400	150.600	267.600	0.000
32	128.000	0.000	58.680	0.000	501.300	0.000
33	-31.520	0.000	155.600	291.100	721.900	0.000
34	-72.880	41.380	0.000	0.000	0.000	0.000
35	50.490	422.400	-2.504	-143.200	-25.870	695.000
36	-165.900	0.000	0.000	0.000	0.000	0.000
37	47.410	124.200	395.800	0.000	738.900	529.000
38	-5.132	0.000	-237.200	-157.300	649.700	645.900
39	-31.950	249.000	-133.900	-240.200	64.160	172.200
40	147.300	0.000	0.000	0.000	0.000	0.000
41	529.000	1397.000	317.600	615.800	88.630	171.000
42	97.900	0.000	-184.300	191.600	85.190	0.000
43	109.200	0.000	293.800	221.800	84.850	0.000
44	272.000	0.000	-288.000	-1020.000	0.000	-668.000
45	8960.000	-963.000	-63.100	-196.000	0.000	0.000
46	-11.100	0.000	-11.800	-36.600	0.000	0.000

TABLA 4.2 (CONTINUACION)

NUMERO DE GRUPO	PRINCIPAL	7	8	9	10	11	12
1	1318.000	1333.000	475.400	677.000	232.100	741.400	
2	270.600	526.100	182.600	-35.100	37.850	449.100	
3	903.800	1329.000	25.770	0.000	5.994	0.000	
4	5695.000	884.900	-52.100	0.000	5688.000	0.000	
5	353.500	-259.700	84.000	441.800	101.000	193.100	
6	-181.000	-101.700	23.390	306.400	-10.720	193.400	
7	0.000	324.500	-195.400	-257.300	14.420	0.000	
8	-601.800	0.000	-356.100	0.000	-449.400	0.000	
9	472.500	-133.100	0.000	-37.360	-213.700	0.000	
10	232.700	0.000	128.000	0.000	-448.000	0.000	
11	10000.000	-36.720	372.200	2390.000	0.000	372.900	
12	0.000	0.000	0.000	0.000	-261.100	0.000	
13	-314.700	0.000	52.380	-7.838	461.300	0.000	
14	-330.400	0.000	0.000	0.000	0.000	0.000	
15	-448.200	0.000	0.000	0.000	136.000	0.000	
16	-598.800	0.000	0.000	0.000	0.000	0.000	
17	-339.500	0.000	-399.100	0.000	0.000	0.000	
18	-332.900	-341.600	-51.540	0.000	0.000	0.000	
19	242.800	0.000	-287.500	0.000	-266.600	0.000	
20	-661.170	0.000	-297.800	0.000	-256.300	312.500	
21	698.200	0.000	286.300	-47.510	0.000	0.000	
22	708.700	0.000	423.200	0.000	-132.900	0.000	
23	826.700	0.000	552.100	0.000	176.500	488.900	
24	1201.000	10000.000	372.000	0.000	129.500	0.000	
25	920.400	0.000	128.100	0.000	-246.300	0.000	
26	417.900	0.000	-142.600	0.000	0.000	0.000	
27	360.700	0.000	0.000	0.000	0.000	0.000	
28	1081.000	0.000	303.700	0.000	243.800	0.000	
29	0.000	0.000	160.600	0.000	0.000	239.800	
30	23.480	0.000	317.500	0.000	-146.300	0.000	
31	0.000	838.400	0.000	0.000	152.000	0.000	
32	0.000	0.000	138.000	0.000	21.920	0.000	
33	0.000	0.000	-142.600	0.000	0.000	0.000	
34	0.000	0.000	443.600	0.000	0.000	0.000	
35	-240.000	0.000	110.400	0.000	41.570	0.000	
36	386.600	0.000	0.000	0.000	0.000	0.000	
37	0.000	0.000	-40.900	0.000	16.990	0.000	
38	0.000	0.000	0.000	0.000	0.000	0.000	
39	-287.100	0.000	97.040	0.000	0.000	0.000	
40	0.000	0.000	0.000	0.000	0.000	0.000	
41	284.400	-167.300	123.400	0.000	-234.900	65.370	
42	0.000	0.000	0.000	0.000	0.000	0.000	
43	0.000	0.000	0.000	0.000	0.000	0.000	
44	-1080.000	0.000	-435.000	-686.000	-463.000	0.000	
45	0.000	0.000	-444.000	-167.000	0.000	0.000	
46	0.000	0.000	1530.000	-60.800	-466.000	0.000	

TABLA 4.2 (CONTINUACION)

NUMERO DE GRUPO	PRINCIPAL	13	14	15	16	17	18
1	251.500	391.500	225.700	206.600	1245.000	287.700	
2	214.500	240.900	163.900	61.110	0.000	0.000	
3	32.140	161.700	122.800	90.490	668.200	-4.449	
4	213.100	0.000	-49.290	23.500	764.700	52.800	
5	28.060	83.020	42.700	-323.000	-348.200	170.000	
6	-180.600	359.300	266.000	53.900	335.500	580.500	
7	540.500	48.890	168.000	304.000	213.000	459.000	
8	0.000	0.000	0.000	0.000	0.000	-305.500	
9	5.202	0.000	0.000	0.000	937.900	165.100	
10	304.100	0.000	0.000	0.000	0.000	0.000	
11	-235.700	0.000	-73.500	0.000	0.000	0.000	
12	0.000	0.000	0.000	0.000	0.000	0.000	
13	0.000	0.000	141.700	0.000	0.000	0.000	
14	0.000	0.000	63.720	-41.110	0.000	0.000	
15	-49.300	108.800	0.000	-189.200	0.000	0.000	
16	0.000	38.890	B65.900	0.000	0.000	0.000	
17	0.000	0.000	0.000	0.000	0.000	0.000	
18	0.000	0.000	0.000	0.000	0.000	0.000	
19	0.000	0.000	0.000	0.000	617.100	134.300	
20	-338.500	0.000	0.000	0.000	0.000	-313.500	
21	225.400	0.000	0.000	0.000	0.000	0.000	
22	-197.700	0.000	0.000	-141.400	0.000	587.300	
23	-20.930	0.000	0.000	-293.700	0.000	18.780	
24	113.900	261.100	91.130	-126.000	1301.000	309.200	
25	0.000	203.500	-108.400	1088.000	323.000	0.000	
26	-94.490	0.000	0.000	0.000	0.000	0.000	
27	0.000	0.000	0.000	0.000	5250.000	0.000	
28	112.400	0.000	0.000	0.000	0.000	0.000	
29	63.710	106.700	0.000	0.000	0.000	0.000	
30	0.000	0.000	0.000	0.000	0.000	0.000	
31	9.207	0.000	0.000	0.000	164.400	0.000	
32	476.600	0.000	0.000	0.000	0.000	0.000	
33	736.400	0.000	0.000	0.000	0.000	0.000	
34	0.000	0.000	0.000	0.000	0.000	0.000	
35	-122.100	0.000	0.000	0.000	0.000	0.000	
36	0.000	0.000	0.000	0.000	0.000	0.000	
37	-217.900	0.000	0.000	0.000	0.000	0.000	
38	0.000	0.000	0.000	0.000	0.000	0.000	
39	-158.200	0.000	0.000	0.000	335.600	0.000	
40	0.000	0.000	0.000	0.000	0.000	0.000	
41	-247.800	0.000	284.500	0.000	0.000	0.000	
42	0.000	0.000	0.000	0.000	0.000	0.000	
43	0.000	0.000	0.000	0.000	0.000	0.000	
44	2880.000	0.000	0.000	0.000	0.000	0.000	
45	-74.700	0.000	0.000	0.000	0.000	0.000	
46	0.000	0.000	0.000	0.000	0.000	0.000	

TABLA 4.2 (CONTINUACION)

NUMERO DE GRUPO PRINCIPAL	19	20	21	22	23	24
1	597.000	663.500	35.930	53.760	24.900	104.300
2	336.900	318.900	204.600	5.892	-13.990	-109.700
3	212.500	537.400	-18.810	-144.400	-231.900	3.000
4	6096.000	603.800	-114.100	0.000	-12.140	-141.300
5	6.712	199.000	75.620	-112.100	-98.120	143.100
6	36.230	-289.500	-38.320	-102.500	-139.400	-67.800
7	112.600	-14.090	325.400	370.400	353.700	497.500
8	0.000	0.000	0.000	0.000	0.000	1827.000
9	481.700	669.400	-191.700	-284.000	-354.600	-39.200
10	0.000	0.000	751.900	0.000	0.000	0.000
11	494.600	660.200	0.000	108.900	-209.700	54.470
12	0.000	-356.300	0.000	0.000	-287.200	0.000
13	0.000	664.600	301.100	137.800	-154.300	47.670
14	0.000	0.000	0.000	0.000	0.000	-99.810
15	0.000	0.000	0.000	0.000	0.000	71.230
16	0.000	0.000	0.000	-73.850	-352.900	-8.283
17	-216.800	0.000	0.000	0.000	0.000	8455.000
18	-169.700	-153.700	0.000	-351.600	-114.700	-16.100
19	0.000	0.000	0.000	0.000	-15.620	-54.860
20	0.000	0.000	44.420	-183.400	76.750	212.700
21	0.000	826.400	0.000	108.300	249.200	62.420
22	0.000	1821.000	-84.530	0.000	0.000	56.330
23	74.040	1346.000	-157.100	0.000	0.000	-30.100
24	492.000	689.000	11.800	17.970	51.900	0.000
25	356.900	0.000	-314.900	0.000	0.000	-255.400
26	0.000	0.000	0.000	0.000	0.000	-34.680
27	0.000	0.000	0.000	0.000	0.000	514.600
28	335.700	0.000	-73.090	0.000	-26.060	-60.710
29	125.700	0.000	-27.940	0.000	0.000	0.000
30	0.000	0.000	0.000	0.000	48.480	-133.100
31	0.000	0.000	0.000	0.000	0.000	0.000
32	0.000	0.000	0.000	-40.820	21.760	48.490
33	0.000	0.000	1169.000	0.000	0.000	225.800
34	329.100	0.000	0.000	0.000	0.000	0.000
35	0.000	0.000	0.000	-215.000	-343.600	-58.430
36	-42.310	0.000	0.000	0.000	0.000	0.000
37	304.000	898.200	428.500	0.000	-149.800	134.200
38	0.000	0.000	0.000	0.000	0.000	-124.600
39	0.000	0.000	0.000	0.000	0.000	-186.700
40	0.000	0.000	0.000	0.000	0.000	0.000
41	-61.600	1179.000	0.000	305.400	-193.000	335.700
42	0.000	2450.000	0.000	0.000	0.000	0.000
43	0.000	2496.000	0.000	0.000	0.000	102.000
44	0.000	0.000	0.000	0.000	0.000	0.000
45	0.000	0.000	0.000	0.000	0.000	0.000
46	0.000	0.000	0.000	0.000	0.000	0.000

TABLA 4.2 (CONTINUACION)

NUMERO DE GRUPO PRINCIPAL	25	26	27	28	29	30
1	321.500	661.500	543.000	153.600	184.400	354.500
2	393.100	357.500	0.000	76.300	0.000	0.000
3	538.200	168.000	194.900	52.070	-10.430	-64.690
4	-126.900	3629.000	4448.000	-9.451	0.000	-20.360
5	287.800	61.110	157.100	477.000	147.500	-120.500
6	17.120	75.140	0.000	-31.090	37.840	0.000
7	678.200	220.600	399.500	88.100	0.000	188.000
8	0.000	0.000	0.000	0.000	0.000	0.000
9	174.500	137.500		216.100	-46.280	-163.700
10	0.000	0.000	0.000	0.000	0.000	0.000
11	629.000	0.000	0.000	183.000	0.000	202.300
12	0.000	0.000	0.000	0.000	4.339	0.000
13	0.000	95.180	0.000	140.900	-8.538	0.000
14	68.810	0.000	0.000	0.000	-70.140	0.000
15	4350.000	0.000	0.000	0.000	0.000	0.000
16	-86.360	0.000	0.000	0.000	0.000	0.000
17	699.100	0.000	-62.730	0.000	0.000	0.000
18	0.000	0.000	0.000	0.000	0.000	0.000
19	52.310	0.000	0.000	230.900	21.370	0.000
20	0.000	0.000	0.000	0.000	0.000	0.000
21	464.400	0.000	0.000	450.100	59.020	0.000
22	0.000	0.000	0.000	0.000	0.000	0.000
23	0.000	0.000	0.000	116.600	0.000	-64.380
24	475.800	490.900	534.700	132.200	0.000	546.700
25	0.000	154.500	0.000	0.000	0.000	0.000
26	794.400	0.000	533.200	0.000	0.000	0.000
27	0.000	-85.120	0.000	0.000	0.000	0.000
28	0.000	0.000	0.000	0.000	0.000	0.000
29	0.000	0.000	0.000	0.000	0.000	0.000
30	0.000	0.000	0.000	0.000	0.000	0.000
31	0.000	481.300	0.000	0.000	0.000	0.000
32	0.000	64.280	0.000	0.000	0.000	0.000
33	224.000	125.300	0.000	0.000	0.000	0.000
34	0.000	174.400	0.000	0.000	0.000	0.000
35	0.000	0.000	0.000	0.000	85.700	0.000
36	0.000	0.000	0.000	0.000	0.000	0.000
37	0.000	379.400	0.000	167.900	0.000	0.000
38	0.000	0.000	0.000	0.000	0.000	0.000
39	0.000	0.000	0.000	0.000	-71.000	0.000
40	0.000	0.000	0.000	0.000	0.000	0.000
41	1107.000	0.000	0.000	885.500	0.000	0.000
42	0.000	0.000	0.000	0.000	0.000	0.000
43	0.000	0.000	0.000	0.000	0.000	0.000
44	0.000	0.000	0.000	0.000	0.000	0.000
45	0.000	0.000	0.000	0.000	0.000	0.000
46	0.000	0.000	0.000	0.000	0.000	0.000

TABLA 4.2 (CONTINUACION)

1 NUMERO DE GRUPO	PRINCIPAL	31	32	33	34	35	36
1	3025.000	335.800	479.500	298.900	526.500	689.000	
2	0.000	0.000	0.000	31.140	-137.400	0.000	
3	210.400	113.300	-13.590	0.000	169.900	0.000	
4	4975.000	0.000	-171.300	0.000	4284.000	0.000	
5	-318.900	313.500	133.400	0.000	-202.100	0.000	
6	0.000	0.000	0.000	0.000	-399.300	0.000	
7	0.000	0.000	0.000	0.000	-139.000	160.800	
8	-687.100	0.000	0.000	0.000	0.000	0.000	
9	0.000	53.590	245.200	-246.600	-44.580	0.000	
10	0.000	0.000	0.000	0.000	0.000	0.000	
11	-101.700	148.300	0.000	0.000	52.080	0.000	
12	0.000	0.000	0.000	0.000	0.000	0.000	
13	-20.110	-149.500	-202.300	0.000	172.100	0.000	
14	0.000	0.000	0.000	0.000	0.000	0.000	
15	0.000	0.000	0.000	0.000	0.000	0.000	
16	0.000	0.000	0.000	0.000	0.000	0.000	
17	125.300	0.000	0.000	0.000	0.000	0.000	
18	0.000	0.000	0.000	0.000	0.000	0.000	
19	0.000	0.000	0.000	-203.000	0.000	81.570	
20	0.000	0.000	0.000	0.000	0.000	0.000	
21	0.000	0.000	-25.900	0.000	0.000	0.000	
22	0.000	177.600	0.000	0.000	215.000	0.000	
23	0.000	86.400	0.000	0.000	363.700	0.000	
24	0.000	247.800	41.940	0.000	337.700	0.000	
25	0.000	0.000	-60.700	0.000	0.000	0.000	
26	139.800	304.300	10.170	-27.700	0.000	0.000	
27	0.000	0.000	0.000	0.000	0.000	0.000	
28	0.000	0.000	0.000	0.000	0.000	0.000	
29	0.000	0.000	0.000	0.000	31.660	0.000	
30	0.000	0.000	0.000	0.000	0.000	0.000	
31	0.000	0.000	0.000	0.000	-417.200	0.000	
32	0.000	0.000	0.000	0.000	0.000	0.000	
33	0.000	0.000	0.000	0.000	0.000	0.000	
34	0.000	0.000	0.000	0.000	0.000	0.000	
35	535.800	0.000	0.000	0.000	0.000	0.000	
36	0.000	0.000	0.000	0.000	0.000	0.000	
37	0.000	0.000	0.000	0.000	0.000	0.000	
38	0.000	0.000	0.000	0.000	0.000	0.000	
39	-191.700	0.000	0.000	6.699	136.600	0.000	
40	0.000	0.000	0.000	0.000	0.000	0.000	
41	0.000	288.100	0.000	0.000	-29.340	-55.910	
42	0.000	0.000	0.000	0.000	0.000	0.000	
43	0.000	0.000	0.000	0.000	0.000	0.000	
44	0.000	0.000	0.000	0.000	0.000	0.000	
45	0.000	0.000	0.000	0.000	0.000	0.000	
46	0.000	0.000	0.000	0.000	0.000	0.000	

TABLA 4.2 (CONTINUACION)

NUMERO DE GRUPO	PRINCIPAL	37	38	39	40	41	42
1	-4.189	725.800	485.300	-2.859	387.100	407.200	
2	-66.460	0.000	-70.450	0.000	48.330	0.000	
3	-259.100	389.300	245.600	0.000	103.500	551.900	
4	0.000	101.400	5629.000	0.000	69.260	683.300	
5	225.800	44.780	-143.900	0.000	190.300	269.100	
6	33.470	-48.250	-172.400	0.000	165.700	0.000	
7	0.000	0.000	319.000	0.000	-197.500	0.000	
8	0.000	0.000	0.000	0.000	-494.200		
9	-34.570	0.000	-61.700	0.000	-18.800	0.000	
10	0.000	0.000	0.000	0.000	0.000	0.000	
11	-83.300	0.000	0.000	0.000	560.200	0.000	
12	0.000	0.000	0.000	0.000	-70.240	0.000	
13	240.200	0.000	254.800	0.000	417.000	0.000	
14	0.000	0.000	0.000	0.000	0.000	0.000	
15	0.000	0.000	0.000	0.000	-38.770	0.000	
16	0.000	0.000	0.000	0.000	0.000	0.000	
17	0.000	0.000	-293.100	0.000	0.000	0.000	
18	0.000	0.000	0.000	0.000	0.000	0.000	
19	3.509	0.000	0.000	0.000	120.300	0.000	
20	-11.160	0.000	0.000	0.000	-337.000	169.300	
21	-245.400	0.000	0.000	0.000	0.000	0.000	
22	0.000	0.000	0.000	0.000	-96.870	0.000	
23	11.200	0.000	0.000	0.000	255.800	0.000	
24	187.100	215.200	498.600	0.000	256.500	639.300	
25	0.000	0.000	0.000	0.000	-145.100	0.000	
26	10.760	0.000	0.000	0.000	0.000	0.000	
27	0.000	0.000	0.000	0.000	0.000	0.000	
28	-47.370	0.000	0.000	0.000	469.800	0.000	
29	0.000	0.000	78.920	0.000	0.000	0.000	
30	0.000	0.000	0.000	0.000	0.000	0.000	
31	0.000	0.000	302.200	0.000	0.000	0.000	
32	0.000	0.000	0.000	0.000	68.550	0.000	
33	0.000	0.000	0.000	0.000	0.000	0.000	
34	0.000	0.000	-119.800	0.000	0.000	0.000	
35	0.000	0.000	-97.710	0.000	153.700	0.000	
36	0.000	0.000	0.000	0.000	423.400	0.000	
37	0.000	0.000	0.000	0.000	730.800	0.000	
38	0.000	0.000	0.000	0.000	0.000	0.000	
39	0.000	0.000	0.000	0.000	0.000	0.000	
40	0.000	0.000	0.000	0.000	0.000	0.000	
41	-198.000	0.000	0.000	0.000	0.000	0.000	
42	0.000	0.000	0.000	0.000	0.000	0.000	
43	0.000	0.000	0.000	0.000	0.000	639.300	
44	0.000	0.000	0.000	0.000	0.000	0.000	
45	0.000	0.000	0.000	0.000	0.000	0.000	
46	0.000	0.000	0.000	0.000	0.000	0.000	

TABLA 4.2 (CONTINUACION)

NUMERO DE GRUPO	PRINCIPAL	43	44	45	46
1	327.000	383.000	-1380.000	729.000	
2	0.000	0.000	-2340.000	0.000	
3	254.300	109.000	75.900	784.000	
4	355.500	1320.000	492.000	386.000	
5	202.700	0.000	0.000	0.000	
6	0.000	214.000	0.000	0.000	
7	0.000	365.000	0.000	0.000	
8	0.000	0.000	0.000	0.000	
9	0.000	135.000	-1680.000	-58.000	
10	0.000	-7.180	333.000	6810.000	
11	0.000	-54.600	0.000	6960.000	
12	0.000	0.000	0.000	0.000	
13	0.000	5780.000	131.000	0.000	
14	0.000	0.000	0.000	0.000	
15	0.000	0.000	0.000	0.000	
16	0.000	0.000	0.000	0.000	
17	0.000	0.000	0.000	0.000	
18	0.000	0.000	0.000	0.000	
19	0.000	0.000	0.000	0.000	
20	127.200	0.000	0.000	0.000	
21	0.000	0.000	0.000	0.000	
22	0.000	0.000	0.000	0.000	
23	0.000	0.000	0.000	0.000	
24	0.000	0.000	0.000	0.000	
25	0.000	0.000	0.000	0.000	
26	0.000	0.000	0.000	0.000	
27	0.000	0.000	0.000	0.000	
28	0.000	0.000	0.000	0.000	
29	0.000	0.000	0.000	0.000	
30	0.000	0.000	0.000	0.000	
31	0.000	0.000	0.000	0.000	
32	0.000	0.000	0.000	0.000	
33	0.000	0.000	0.000	0.000	
34	0.000	0.000	0.000	0.000	
35	0.000	0.000	0.000	0.000	
36	0.000	0.000	0.000	0.000	
37	0.000	0.000	0.000	0.000	
38	0.000	0.000	0.000	0.000	
39	0.000	0.000	0.000	0.000	
40	0.000	0.000	0.000	0.000	
41	0.000	0.000	0.000	0.000	
42	498.800	0.000	0.000	0.000	
43	0.000	0.000	0.000	0.000	
44	0.000	0.000	0.000	0.000	
45	0.000	0.000	0.000	0.000	
46	0.000	0.000	0.000	0.000	

En esta sección se da una lista de los parámetros de interacción de grupos anm y las constantes de los grupos puros Rk y Qk, que son necesarios para el método.

Los valores de Rk y Qk son en pocos casos calculados utilizando la ecuación (4.6). En la tabla (4.1.) se listan estos valores para los grupos principales y subgrupos.

La tabla (4.2) proporciona los parámetros de interacción de grupos, anm.

4.3.- Ejemplo de Cálculo para Predicciones de Coeficientes de Actividad por UNIFAC.

Definición:

Cual es el coeficiente de actividad para la acetona en la mezcla de Acetona (1) - Pentano (2), si el sistema esta a 307° K y $x_1 = 0.047$?

El pentano (2) esta formado por 2 grupos CH₃ - y 3 grupos CH₂ -. La acetona es formada por 1 grupo CH₃ - y 1 grupo CH₂ CO -

Solución

GRUPO	NÚMERO	R _k	Q _k
CH ₃	1	0.9011	0.848
CH ₂	2	0.6744	0.540
CH ₃ CO	22	1.6724	1.488

ACETONA (1):

$$\delta_1(1) = \delta_{\text{CH}_3} = 1$$

$$\begin{matrix} \delta_{22}(1) = \delta_{\text{CH}_3\text{CO}} = 1 \\ \hline 2 \end{matrix}$$

PENTANO (2):

$$\delta_1(2) = \delta_{\text{CH}_3} = 2$$

$$\begin{matrix} \delta_2(2) = \delta_{\text{CH}_2} = 3 \\ \hline 5 \end{matrix}$$

De la ecuación (4.8)

$$T_1 = \sum_k \delta_k(i) R_k \quad y \quad Q_1 = \sum_k \delta_k(i) Q_k$$

ACETONA

$$T_1 = \delta_1(1) * R_1(1) + \delta_{22}(1) * R_{22}(1)$$

$$T_1 = 1 * 0.9011 + 1 * 1.6724 = 2.5735$$

$$Q_1 = \delta_1(1) * Q_1 + \delta_{22}(1) * Q_{22}$$

$$Q_1 = 1 * 0.848 + 1 * 1.488 = 2.336$$

$$\tau_2 = \delta_1(2) + R_1(2) + \delta_{22}(2) + R_{22}(2)$$

$$\therefore \tau_2 = 2 * 0.9011 + 3 * 0.6744 = 3.8254$$

$$q_2 = \delta_1(2) + Q_1(2) + \delta_2(2) * Q_{22}(2)$$

$$q_2 = 2 * 0.848 + 3 * 0.540 = 3.316$$

De la ecuación (4.7):

$$\ln \Gamma_i c = \ln \Phi_i / x_i + z/2 (q_i \ln \Theta_i / \Phi_i) + l_i - \Phi_i / x_i \left(\sum_j l_j \right) \quad | - \quad (4.7)$$

$$l_i = z/2 (\tau_i - q_i) - (\tau_i - 1) \quad ; \quad z = 10$$

$$\begin{aligned} \Phi_i &= q_i x_i / \sum q_j x_j & ; & \Phi_i = \tau_i x_i / \sum \tau_j x_j \\ \Phi_1 &= \tau_1 * x_1 / \tau_1 * x_1 + \tau_2 * x_2 \\ \Phi_1 &= 2.57 * 0.047 / 2.57 * 0.047 + 3.82 * 0.953 \end{aligned}$$

$$\Phi_1 = 0.03211 \quad \Rightarrow \quad \Phi_2 = 0.96789$$

$$\Phi_1 = x_1 * q_1 / x_1 + q_1 + x_2 * q_2$$

$$\Phi_1 = 2.336 * 0.047 / 2.336 * 0.047 + 3.316 * 0.953$$

$$\Phi_1 = 0.03358 \quad \Rightarrow \quad \Phi_2 = 0.96642$$

$$l_1 = 10 / 2 (2.573 - 2.336) - (2.573 - 1)$$

$$l_1 = -0.3860$$

$$l_2 = 10 / 2 (3.825 - 3.316) = (3.625 - 1)$$

$$l_2 = -0.2784$$

Ahora sustituyendo en la ecuación (4.7):

$$\ln \Gamma_{1C} = \ln (0.032/0.047) + 10/2 * 2.336 + \ln (0.0335/0.0321) - 0.386 \\ + 0.3211/0.047 (0.047 * 0.386 + 0.950 * 0.2784)$$

$$\ln \Gamma_{1C} = -0.0505$$

De la tabla (4.4):

$$a_{1,22} = a_{2,22} = 476.4 ^\circ K$$

$$a_{1,2} = a_{2,1} = a_{1,1} = a_{2,2} = a_{22,22} = 0 ^\circ K$$

De la ecuación (4.11):

$$\Omega_{1,22} = \Omega_{2,22} = \exp (-476.4/307) = 0.2119$$

$$\Omega_{22,1} = \Omega_{22,2} = \exp (-276.75/307) = 0.9165$$

$$\Omega_{1,1} = \Omega_{2,1} = \Omega_{1,2} = \Omega_{2,2} = \Omega_{22,22} = 1$$

Para Acetona pura se usa la ecuación (4.10):

$$X_m = \sum_j b_m(j) x_j / \sum_j \sum_n b_n(j) x_j$$

$$X_1(1) = b_{11}(1)x_1/b_{11}(1)*x_1 + b_{22}(1)*x_{22} = 1*0.5/1*0.5 + 1*0.5 = 0.5$$

$$X_{22}(1) = b_{22}(1)*x_{22}/b_{11}(1)*x_1 + b_{22}(1)*x_{22} = 1*0.5/1*0.5 + 1*0.5 = 0.5$$

$$\theta_1(1) = Q_1 * X_1 / Q_1 * X_1 + Q_{22} * X_{22} = 0.848 * 0.5 / 0.848 * 0.5 + 1.488 * 0.5$$

$$\theta_1(1) = 0.363 \rightarrow \theta_{22}(1) = 0.637$$

Sustituyendo en la ecuación (4.9):

$$\ln \tau_k = Q_k (1 - \ln (\sum_m \Omega_{mk}) - \sum_n ((\theta_m \Omega_{km}) / (\sum_n \Omega_{nm})) \quad (4.9)$$

$$\ln \tau_1 = Q_1 (1 - \ln (\theta_1 \Omega_{1,1} + \theta_{22} \Omega_{22,1}) - ((\theta_1 \Omega_{1,1} / \theta_1 \Omega_{1,1} + \theta_{22} \Omega_{22,1}) + \\ (\theta_{22} \Omega_{1,22} / \theta_{22} \Omega_{22,22})))$$

$$\ln \tau_1(1) = 0.848 (1 - \ln (0.3630 + 0.637 * 0.9165) - \\ ((0.363 * 1 / 0.363 * 1 + 0.637 * 0.9165) + \\ (0.637 * 0.2119 + 0.363 * 0.2119 + 0.637 * 1)))$$

$$\ln \tau_1(1) = 0.4089$$

$$\ln \tau_{22}(1) = Q_{22} (1 - \ln (\theta_1 \Omega_{1,22} + \theta_{22} \Omega_{22,22}) - ((\theta_1 \Omega_{22,1} / \theta_1 \Omega_{1,1} + \\ \theta_{22} \Omega_{22,1}) + (\theta_{22,22,22} / \theta_1 \Omega_{1,22} + \theta_{22} \Omega_{22,22})))$$

$$\ln \tau_{zz}(t) = 1.483 (1 - \ln (0.363 + 0.2119 + 0.637 * t) - \\ (0.363 * 0.9175 * 0.363 * t + 0.637 * 0.9175 * (0.363 * t + 0.2119 + 0.637 * t)))$$

$$\ln \tau_{zz}(t) \approx 0.1383$$

Para $x_1=0.047$, se usa la ecuación (4.10):

$$X_1 = \delta_1(1)x_1 + \delta_1(2)x_1/x_1(\delta_1(1) + \delta_{22}(1)) + x_2(\delta_1(2) + \delta_{22}(2))$$

$$X_1 = 1 * 0.047 + 0 * 0.953 / 0.047(1+1) + 0.953(2+3)$$

$$X_1 = 0.4019$$

$$X_2 = x_1 * \delta_{22}(1) + x_2 \delta_{22}(2) / x_1(\delta_1(1) + \delta_{22}(1)) + x_2(\delta_1(2) + \delta_{22}(2))$$

$$X_2 = 0.047 * 0 + 0.953 * 3 / 0.047(1+1) + 0.953(2+3)$$

$$X_2 = 0.5884$$

$$X_{22} = x_1 * \delta_{22}(1) + x_2 \delta_{22}(2) / x_1(\delta_1(1) * \delta_{22}(1)) + x_2(\delta_1(2) * \delta_{22}(2))$$

$$X_{22} = 0.047 * 1 + 0.953 * 0 / 0.047(1+1) + 0.953(2+3)$$

$$X_{22} = 0.0097$$

$$\delta_1 = Q_1 X_1 / (Q_1 X_1 + Q_2 X_2 + Q_{22} X_{22})$$

$$\theta_1 = 0.848*0.4019/0.848*0.4019+0.54*0.5884+1.488*0.0097$$

$$\theta_1 = 0.5065$$

$$\theta_1 = Q_2 X_2 / Q_1 X_1 + Q_2 X_2 + Q_{22} X_{22}$$

$$\theta_1 = 0.54*0.5884/0.848*0.4019+0.54*0.5884+1.488*0.0097$$

$$\theta_1 = 0.4721$$

$$\Rightarrow \theta_{22} = 0.0214$$

De la ecuación (4.9):

$$\ln \tau_{22} = Q_{22} (1 - \ln(\theta_1 \Omega_{1,22} + \theta_2 \Omega_{2,22} + \theta_{22} \Omega_{22,22}) - \\ ((\theta_1 \Omega_{22,1} / \theta_1 \Omega_{1,1} + \theta_2 \Omega_{2,1} \theta_{22} \Omega_{22,1}) + \\ (\theta_{22,2} \Omega_{22,22} / \theta_1 \Omega_{1,22} + \theta_2 \Omega_{2,22} + \theta_{22} \Omega_{22,22})))$$

$$\ln \tau_{22} = 1.488 (1 - \ln (0.5065 * 0.2119 + 0.4721 * 0.2119 + \\ 0.021481) - ((0.5065 + 0.9165 / 0.5065 * 1 + 0.4721 * 1 \\ + 0.24 * 0.9165) + (0.4721 * 0.9165 / 0.5065 * 1 + 0.4721 * 1 \\ + 0.0214 * 0.9165) + (0.0214 * 1 / 0.5065 * 0.2119 + 0.4721 * 0.2119 \\ + 0.0214 * 1)))$$

$$\ln \tau_{22} = 2.2067$$

de manera similar : $\ln \tau_1 = 0.0014$

Entonces de la ecuación (4.2) .

$$\ln \Gamma_{1R} = \Gamma_1(1)(\ln \tau_1 - \ln \tau_1(1) + \Gamma_{22}(1)) (\ln \tau_{21} - \ln \tau_{22}(1))$$

$$\ln \Gamma_{1R} = 1 * (0.0014 - 0.4089) + 1 * (2.2087 - 0.1389)$$

$$\ln \Gamma_{1R} = 1.6603$$

$$\Rightarrow \ln \Gamma_1 = \ln \Gamma_{1R} + \ln \Gamma_{1C}$$

$$\ln \Gamma_1 = 1.6603 - 0.0505 \quad o \quad \Gamma_1 = 5.00$$

Este valor de Γ_1 es comparado con un valor experimental de 4.4. encontrado en T.C Lo,H. H. Bieber and A. E. Karr, J. Chem. Eng. Data (1962).

4.4 Evolución y Aplicación del Método de Contribución de Grupos UNIFAC.

A continuación se describe de manera breve cual ha sido la evolución del Método de Contribución de Grupos UNIFAC a

través de las revisiones y extensiones realizadas por investigadores especialistas en el tema.

Como se había mencionado anteriormente, en 1975 Fredenslund (17) publicó un trabajo en el cual demostró como el método UNIFAC puede ser utilizado para predecir el equilibrio de fases en sistemas conteniendo hidrocarburos (saturados, insaturados y aromáticos), alcoholes, agua, cetonas, ésteres, hidrocarburos clorinados, aminas y nitrilos. El trabajo original consideró 25 diferentes grupos funcionales. Desde entonces el trabajo sobre el método UNIFAC ha continuado en un esfuerzo para extender su confiabilidad y aplicabilidad para el diseño de procesos de separación.

En 1977 Aage Fredenslund, Jürgen Gmehling, Michael L. Michelsen, Peter Rasmussen y John M. Prausnitz (18) publicaron un trabajo sobre el Diseño Computarizado de Columnas de Destilación Multicomponente usando Método de Contribución de Grupos UNIFAC para el Cálculo de Coeficientes de Actividad y el cual proporcionaría a la ingeniería de procesos una herramienta rápida y confiable para la predicción de condiciones de equilibrio requeridas para el diseño de columnas de destilación.

Cabe señalar que UNIFAC es la abreviación que según la Universal Quasichemical Functional Group Activity Coefficients, basada en la teoría quasidilatante de soluciones

de líquidos propuesta por Guggenheim (18) y generalizada por Abrahms y Prausnitz (15) y aplicada a grupos funcionales dentro de las moléculas.

Como ya se mencionó, los coeficientes de actividad resultan ser de suma importancia para el cálculo del factor de separación K requerido para el diseño de procesos de separación, por lo que UNIFAC proporciona una herramienta muy útil para éstos cálculos.

Ya para 1977 se habían determinado parámetros de interacción de grupos para más de 50 grupos funcionales diferentes. Para ese entonces las bases del método UNIFAC cubrían 70% de todos los datos publicados de equilibrio líquido - vapor para mezclas no electrolíticas a presiones bajas y moderadas. Estos parámetros de interacción de grupos estuvieron basados en datos de equilibrio de 2.500 sistemas binarios, los cuales fueron seleccionados a partir de un conjunto de datos de más de 4,000 sistemas binarios almacenados y colectados en la University of Dortmund por Gmehling y Onken (19). Estos datos fueron complementados con datos de Wichterde (20).

La determinación de los parámetros de interacción de grupos a partir de la base de datos procedió como sigue :

- 1) Para los datos Termodinámicamente consistentes (Christiansen and Fredenslund, (21), los coeficientes de

Bärbel Koibe, Jürgen Gmehling y Peter Ramsussen (24), en el que nuevos parámetros fueron reportados para ocho grupos diferentes previamente no cubiertos por UNIFAC en 1977, y algunos de los parámetros previamente publicados anteriormente a esta primer revisión fueron revisados sobre las bases de nuevos datos experimentales líquido-vapor. En esta revisión, la definición del grupo alcohol fue modificada haciéndola UNIFAC más fácil para usar y más confiable para mezclas conteniendo alcohol.

Los nuevos ocho grupos diferentes que fueron incluidos en esta Revisión y Extensión fueron los grupos amino terciarios, formatos, bromatos, iodatos, metanol-etíol, furfural, piridina y glicoles.

En ésta Revisión y Extensión de UNIFAC fueron revisados 46 parámetros de interacción de grupos previamente reportados en 1977, estos fueron de una mayor calidad que los anteriormente calculados y logrando cubrir un mayor rango de temperatura.

Asimismo, se definió un nuevo grupo alcohol (OH), siendo más flexible que el anteriormente definido por Fredenslund en 1977, el cual consideraba a este como un grupo más grande conteniendo 2 átomos de carbono y a un lado el OH, siendo posible con este predecir las propiedades de muchos tipos de alcoholes - excepto para el metanol, logrando con este nuevo grupo - predecir los coeficientes de actividad en mezclas

conteniendo alcoholes que con el anterior el cual tenia cinco subgrupos y un parametro especial para el etanol.

Estas revisiones y extensiones hicieron que el Metodo UNIFAC fuese mas flexible y que su rango de aplicabilidad y exactitud fueran incrementadas.

En 1983 se realizo otra Revision y Extension del Metodo UNIFAC, en el que los parametros de interaccion de grupos UNIFAC revisados hasta esa fecha, fueron presentados para los grupos alqueno y cloro. Estos parametros son tambien adecuados para un grupo ester flexible el cual por ejemplo, puede ser usado para acrilatos y benzocatos.

En esta Revision y Extension, los parametros de contribucion de grupos entre el alcano (CH_3) y el alqueno (C=C) fueron estimados por Gerspach (25) a partir de una muy pequena base de datos conteniendo mezclas con agua-clorofluoros solamente.

Muchos coeficientes de actividad a dilucion infinita para sistemas alcano-alqueno a temperaturas de un rango de 305 - 354 °K, fueron medidos por Alessi (26). Este mismo fue quien se decidió a usar estos datos para reestimar los parametros de interaccion de alcanos-alquenos. Asimismo, se considero necesario reestimar los parametros de interaccion para el grupo Cl-C , el cual es un grupo Cloro conectado a un grupo alqueno.

En lo que respecta al grupo éster, este es definido en forma usual como un grupo grande COOCH_3 , el cual consiste de un grupo COO mas un grupo CH_3 o CH_2 . esto significa que este grupo no es muy flexible, ya que esto hace solamente posible predecir coeficientes de actividad para mezclas que contengan ésteres de ácidos acéticos ó propanóicos ó derivados de estos, fallando el Método UNIFAC para el caso de mezclas conteniendo acrilatos.

Por lo anterior, se propuso utilizar el grupo éster como COO , siendo la aplicación de este grupo la de poder ser utilizado solamente cuando sea imposible utilizar el grupo CCOO , por ejemplo para los acrilatos y benzواتos.

En 1986, Mamata Mukhopahany y Avinash S. Patnay (27) publicaron Datos de Equilibrio Líquido-Líquido para el cálculo de Extracción de Aromáticos usando el Modelo UNIFAC Modificado.

En este trabajo utilizaron el modelo de UNIFAC Modificado para la predicción de equilibrio líquido-líquido para la extracción de sistemas multicomponentes aromáticos. Los coeficientes de actividad isotópico fueron utilizados a dilución infinita para la evaluación de los parámetros de interacción de grupos entre el par de grupos de CH_2 -sulfolane y sus coeficientes de temperatura. Estos parámetros de grupos

ESTA TESIS NO DEBE SALIR DE LA BIBLIOTECA

fueron utilizados en el Modelo UNIFAC modificado. La validez de estos parámetros fueron comprobados comparando los resultados predichos con datos experimentales obtenidos de la literatura.

Anteriormente, se había utilizado el modelo UNIFAC para la predicción de datos de equilibrio multicomponente líquido-líquido para la extracción de aromáticos ligeros a partir de nafta reformada con sulfolane como el solvente polar. Los parámetros binarios de interacción de grupos para todos los posibles pares de grupos involucrados en los cálculos excepto el CH₂-sulfolane, fueron evaluados a partir de datos de equilibrio líquido-vapor de miscibilidades binarias, donde para este último par fue evaluado a partir de solubilidad mutual (Karve, (28)), de la miscibilidad binaria parcial. En este trabajo, los coeficientes de actividad isobáricos a dilución infinita fueron empleados para la evaluación del par de parámetros de interacción de grupos CH₂-sulfolane. El modelo UNIFAC modificado (5) con la dependencia de temperatura sobre los parámetros de interacción de grupos sugerido por Larsen (29) han sido considerados para la predicción de los datos de equilibrio de multicomponentes líquido-líquido.

Los grupos binarios de parámetros de interacción entre el par de grupos CH₂-sulfolane han sido evaluados por reducción de estos datos y adoptando la técnica de búsqueda simplex

modificada por Nelden y Mead. Esto involucra un análisis de regresión estadística sobre todos los datos experimentales para minimizar y seleccionar la función objetivo la cual incorpora las variaciones de temperatura de los datos isobáricos.

En este trabajo se demostró la aplicabilidad que tiene el modelo UNIFAC modificado y su validez para evaluar los parámetros de interacción de grupos por los coeficientes de actividad a dilución infinita, para los datos de equilibrio líquido-líquido

APLICACION DE UNIFAC.

A continuación se esquematiza las aplicaciones actuales del modelo UNIFAC:

i) Calculo de equilibrios:

- Líquido-vapor
- Líquido-Líquido
- Solido-Líquido
- Líquido-Líquido-vapor

ii) Calculo de Propiedades Termodinámicas:

- Presión de vapor
- Constantes de Henry

- Entalpias de Mezclado
- Puntos de Flash para mezclas líquidas flamables

Como ejemplo ilustrativo de aplicación del Método UNIFAC para cálculo de propiedades termodinámicas, a continuación se describe el trabajo para el cálculo del punto de flash en mezclas.

CALCULO DE PUNTO DE FLASH

En 1982 se publicó un trabajo por Jurgen Gemehling y Peter Rasmussen (30), en el cual se demostró la aplicación del Método de Contribución de Grupos UNIFAC en la predicción del punto de flash (flash point) de mezclas líquidas binarias y multicomponentes. Si bien el punto de flash no es una propiedad física fundamental esta es requerida para clasificar líquidos combustibles de acuerdo a su relativa flamaabilidad, por lo tanto resultan importantes en regulaciones para el manejo y almacenaje en la industria química.

El punto de flash para un componente puro i puede ser escrito como la temperatura Tf para lo cual:

$$P_i^* / L_i = 1 \quad \dots \quad (1)$$

y para mezclas binarias y multicomponentes

$$\sum_i (P_i^* / L_i) = 1 \quad i = 1, 2, \dots, N \quad \dots \quad (2)$$

donde:

P_i = presión parcial del componente i en mezcla aire-vapor la cual está en equilibrio con la mezcla líquida.

L_i = es la presión parcial en mezcla gas-aire con una composición correspondiente al límite inferior de flammabilidad del componente puro.

l_i es calculado :

$$L_i(t) = L_i(25) - 0.182 (t-25) / H_{ci} \text{-----(3)}$$

donde:

$l_i(t)$ y $l_i(25)$ en KPa y son los límites inferiores de flammabilidad a t ($^{\circ}$ C) y 25 $^{\circ}$ C respectivamente; H_{ci} es el calor neto de combinación en KJ/mol.

La presión parcial P_i corresponde al equilibrio líquido-vapor a la temperatura t y puede ser calculada usando la ecuación de mezcla vapor-aire de un gas ideal

$$P_i = x_i r_i P_{\infty i}$$

donde x_i es la fracción mol del componente i y r_i es el coeficiente de actividad y $P_{\infty i}$ es la presión de vapor del componente i a la temperatura T .

La $P_{\infty i}$ puede ser calculada por medio de la ecuación de Antoine:

$$\log P^*_i = A_i - B_i/(t+C_i) \text{ ----- (5)}$$

En resumen, la τ_i es calculada del equilibrio líquido-vapor a través de UNIFAC, obteniendo excelentes predicciones al ser utilizada para calcular el punto de flash de mezclas binarias y multicomponentes en virtud de que los resultados obtenidos con respecto a los valores experimentales son satisfactorios. Estas predicciones son confiables tanto para mezclas que contengan componentes combustibles como para aquéllas que contengan compuestos no combustibles como el agua.

V APLICACION DE UNIFAC AL DISENO DE COLUMNAS DE DESTILACION

V. APLICACION DE UNIFAC AL DISENO DE COLUMNAS DE DESTILACION.

Desde el punto de vista de la termodinámica clásica, la descripción del Método de Contribución de Grupos UNIFAC es ahora completada. Se ha visto que UNIFAC proporciona un medio exacto y confiable para la estimación de composiciones en equilibrio de fase para muchas mezclas de interés en la tecnología química. Hay numerosas situaciones donde UNIFAC puede ser empleado en la práctica. En esta sección se ilustra la aplicación práctica de UNIFAC con un importante ejemplo en el DISEÑO de una Columna de destilación para la Separación de Mezclas Multicomponentes.

No es el propósito de este trabajo dar una descripción detallada del programa para el DISEÑO de una Columna de Destilación, mas bien es mostrar con un ejemplo como UNIFAC puede ser incorporado a un procedimiento de DISEÑO de columnas.

El ejemplo esta basado en el método para el Cálculo de Destilación de Multicomponentes de Naphtali and Sandholm.

5.1 CALCULO DE DESTILACION MULTICOMPONENTE POR LINEARIZACION

La técnica desarrollada por Naphtali and Sandholm para el DISEÑO de Columnas Multicomponentes, fue seleccionada por las siguientes ventajas:

- i) La presencia de soluciones no ideales así como la eficiencia de Murphree por plato son tomadas en cuenta de manera rigurosa.
- ii) El método es flexible, porque puede ser usado para destilación, extracción y absorción, además pueden ser especificadas un determinado número alimentaciones y corrientes laterales de salida, cosa que no pueden otros, por ejemplo Wanna-Heulel que solo sirve para destilación.

Así mismo, las condiciones para el reboiler y condensador pueden ser especificadas.

- iii) El método converge rápidamente ya que la solución se obtiene mediante una reducción cuadrática de los errores.n.

Las ecuaciones de conservación de masa, energía y de equilibrio de fase son referidas para cada componente y cada etapa. Las ecuaciones resultantes tienen una estructura

tridiagonal, lo cual permite una solución rápida por iteración de Newton-Raphson. La técnica es descrita brevemente en esta sección.

La configuración de la columna de destilación utilizada es mostrada en la figura 5.1. En el programa usado aquí, la columna de destilación puede ser considerada hasta con 50 etapas, 10 componentes, un condensador parcial y un número de alimentaciones y corrientes laterales. Cambios en estas limitaciones pueden ser fácilmente hechas.

El usuario debe especificar:

- Número de etapas.
- Eficiencias de etapas.
- Localización de la alimentación y corrientes laterales.
- Composiciones de alimentación, flujos y estados térmicos.
- Presión de la columna.
- Condiciones de fase en las corrientes laterales y flujos.
- Relación de reflujo.
- Flujo del destilado.

La nomenclatura para una etapa n arbitraria, la cual incluye la posibilidad de alimentaciones y corrientes laterales, es dada en la figura 4.1.

En lo siguiente, M es el número total de componentes y N el número total de etapas incluyendo el reboiler ($N = 1$) y el condensador ($n = N$). Para la etapa n se deben establecer las siguientes relaciones independientes (funciones de discrepancia) $F_k(n,i)$, las cuales deben ser satisfechas.

BALANCE DE MATERIALES ($k=1$).

$$F_1(n,i) = (1 + S_{L_n}/L_n, i + (1 + S_{V_n}/V_n)v_{n,i} - v_{n-1,i-1} - f_{n,i}) = 0 \quad (5.1)$$

$n = 2, 3, \dots, N-1$

$$F_1(1,i) = (1 + S_{L_1}/L_1)l_{1,i} + (1 + S_{V_1}/V_1)v_{1,i} - l_{2,i} - f_{1,i} = 0 \quad (5.2)$$

$$F_1(N,i) = (1 + S_{L_N}/L_N)l_{N,i} + (1 + S_{V_N}/V_N)v_{N,i} - v_{N-1,i-1} - f_{N,i} = 0 \quad (5.3)$$

V_N es el destilado y L_i el producto de los fondos.

Las ecuaciones (5.1) hasta (5.3) comprenden $N * M$ relaciones.

Figura 5.1.

CONFIGURACION DE COLUMNA DE DESTILACION

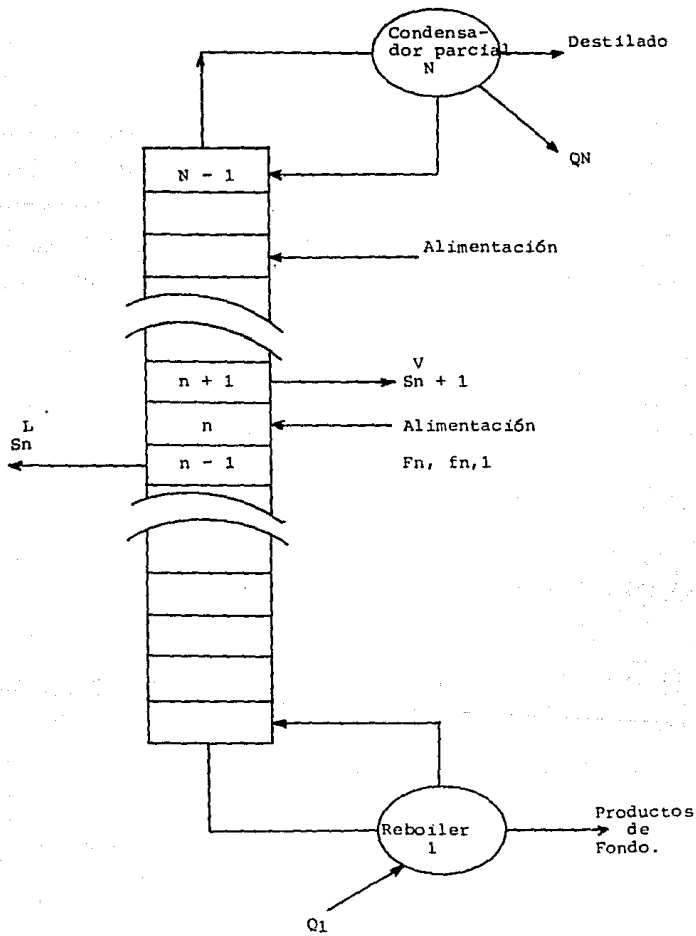
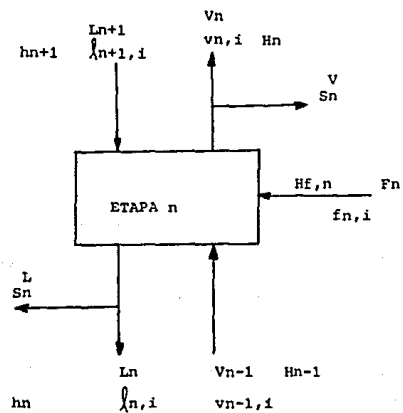


Figura 5 .1. (Cont.)

NOMENCLATURA PARA UNA ETAPA ARBITRARIA EN UNA COLUMNAS DE DESTILACION.



Subíndice n: Flujo desde la etapa n, $n = 1, 2, \dots, N$

S bándice i: Componente i, $i = 1, 2, \dots, M$

H = Entalpia de la fase vapor.

h = Entalpia de la fase líquida.

H_f = Entalpia de Alimentación.

V = Flujo total de Vapor.

v = Flujo de vapor por componente.

L = Flujo total de Líquido

λ = Flujo de Líquido por componente.

F = Alimentación total

f = Alimentación por Componente.

S_L = Corriente Lateral de Líquido.

S_V = Corriente Lateral de Vapor.

Balances de Energia (k=2) (Indice i fuera)

$$F_2(n) = (1+SL_n/L_n)h_n + (1+SV_n/V_n)H_n - H_{n-1} - h_{n+1} - h_r, n=0 \quad (5.4)$$

n = 2, 3, ..., N-1

$$Q_1 = (1+SL_1/L_1)h_1 + (1+SV_1/V_1)H_1 - h_2 - h_r, \quad (5.5)$$

$$-Q_N = (1+SL_N/L_N)h_N + (1+SV_N/V_N)H_N - H_{N-1} - h_r, \quad (5.6)$$

Las ecuaciones (5.5) y (5.6) serán usadas para generar $F_2(1)$ y $F_2(N)$ si el calor removido del condensador Q_N , y el calor suministrado al reboiler, Q_1 , fueron variables especificados.

Sin embargo en nuestro caso la relación reflujo, R, y el flujo del destilado, V_N, son especificados en su lugar, (ver especificaciones 7 y 8). En estos casos se usan las ecuaciones (5.5) y (5.6) para calcular Q_1 y Q_N , y las siguientes funciones de discrepancia son seleccionadas para reemplazar a estas:

$$F_2(i) = \sum_{i=1}^i l_i, i-L_i = 0 \quad (5.7)$$

i=1, 2, ..., M

donde a partir del balance total de materia en la columna:

$$L_1 = \sum_{n=1}^N \sum_{i=1}^M f_{n,i} = v_M - \sum_{n=1}^N (S_n L + S_n V)$$

$$F_2(n) = \sum_{i=1}^M l_{n,i} - L_n = 0 \quad (5.8)$$

donde $L_n = R * V_n$

Las ecuaciones (5.4), (5.7) y (5.8) comprende N funciones Discrepancia.

CONDICIONES DE EQUILIBRIO CON EFICIENCIAS DE ETAPA MURPHREE (k=3):

La eficiencia de etapa Murphree es definida por:

$$\eta_{n,i} = \frac{y_{n,i} - y_{n-1,i}}{K_{n,i} x_{n,i} - y_{n-1,i}} \quad (5.9)$$

$$\text{donde: } K_{n,i} = \begin{bmatrix} y_i \\ x_i \end{bmatrix}_n = \begin{bmatrix} r_i & f_i \\ \tau_i & p \end{bmatrix}$$

Esta ecuación puede ser rearreglada para dar la siguiente función discrepancia:

$$F_3(n,i) = \frac{\eta_{n,i} K_{n,i} v_{n,i} l_{n,i}}{L_n - v_{n,i}} + \frac{(1 - \eta_{n,i}) v_{n-1} v_n}{v_{n-1}} = 0 \quad (5.10)$$

Para el reboiler, la eficiencia es 1. esto es:

$$\eta_{1,i} = 1, \text{ todas las } i$$

Hay $N * M$ ecuaciones del tipo k=3. En esta ecuación (5.10) es donde el método UNIFAC entra en el cálculo, vía el coeficiente de distribución, $K_{n,i}$.

Las funciones Discrepancia $F_{k(n,i)}$ son una medición cuantitativa de la falla de las variables independientes para satisfacer las condiciones físicas en la columna.

$F_{k(n,i)}$ es el número de unidades de calor/tiempo, por el cual el balance de entalpía no es satisfecho, y para $F_1(n,i)$ y $F_2(n)$ la discrepancia es medida en moles/tiempo. En términos de álgebra, las ecuaciones (5.1) hasta (5.4), (5.7),(5.8) y (5.10) comprende un vector de Funciones de Discrepancia:

$$E(x) = \begin{bmatrix} F_1 \\ F_2 \\ \vdots \\ F_N \end{bmatrix} = 0$$

El cual contiene $N * (2M+1)$ elementos, y además puede ser resuelto igualmente para muchas incógnitas (variables independientes):

$$x = \begin{bmatrix} l \\ y \\ T \end{bmatrix} \quad (5.11)$$

Donde el vector l contiene a todos los elementos ln,i , y a todos los elementos vn,i , y T a todos los elementos Tn .

Ya que todos los ln,i , vn,i y Tn 's son conocidos, las composiciones y flujos del producto así como los perfiles de concentración y temperatura en la columna son fácilmente encontrados.

La ecuación (4.11) es resuelta por iteración Newton-Raphson, utilizando la convergencia simultánea de todas las variables independientes, x .

La convergencia simultánea es mas eficiente que la convergencia secuencial cuando las volatilidades de los componentes dependen de la temperatura y composición. Resolviendo estas ecuaciones a través de fijar un conjunto de valores de las variables independientes, x , la cual hace al conjunto de funciones Discrepancia igual a cero.

$$F(x) = 0$$

Es la iteración Newton-Raphson, un nuevo conjunto de valores de las variables independientes, x_r , es generado a partir de un estimado previo, x_{r-1} , en la siguiente forma:

$$x_r = \frac{x_{r-1} - F_{r-1}(x_{r-1})}{\left[\begin{array}{c} \frac{\partial F}{\partial x} \\ \frac{\partial F}{\partial y} \end{array} \right]_{x_{r-1}}} \quad (5.13)$$

Cuando $(x_r - x_{r-1})$ es lo suficientemente pequeña, el conjunto correcto de valores de x ha sido encontrado y el proceso de iteración es detenido.

Las variaciones entre iteraciones subsecuentes son limitadas arbitrariamente como sigue:

- (1) Valores negativos para flujos molares de componentes son iguales a cero.
- (2) Las velocidades de flujo por componente que excedan L_n son igualados a L_n .
- (3) El cambio máximo en la temperatura en cada etapa, T_n , es 10 K.

La suposición inicial para las variables independientes, x_0 , deben ser proporcionados por el usuario del programa. Una suposición inicial disparatada puede hacer invalida la aproximación por linearización Newton-Raphson, así como tender a que el método de convergencia falle. Para mejorar

las características de la convergencia para llegar a la solución correcta Naphtali y Sandholm, modificaron el método Newton-Raphson.

Se usa en forma directa la iteración Newton-Raphson, y en caso de divergencia se modificarán los límites de la iteración listada o alterar la suposición inicial, x_0 .

Cuando los valores de las incógnitas x se vuelven mas correctos, la convergencia a los valores finales se acelera. La convergencia cuadrática es obtenida cerca de la solución correcta.

La única etapa sin explicar en la secuencia de cálculo es la evaluación de la corrección de la matriz del Jacobiano, ($\partial F / \partial x$) en la cual cada elemento es la derivada parcial de una de las funciones discrepancia con respecto a una de las variables de iteración, con todas las demás variables de iteración mantenidas constantes.

El Jacobiano esta en nuestra aplicación muy grande, frecuentemente esta en el orden de 200 por 200. Por lo tanto, la evaluación de estos elementos por eliminación ordinaria de Gauss consume mucho mas tiempo. Afortunadamente, la evaluación de este Jacobiano en particular es grandemente facilitado por el hecho de que las condiciones en la etapa n es solamente influenciada directamente por las condiciones de las etapas $n+1$ y

n-1. Como un resultado, el Jacobiano se convierte en un bloque tridiagonal en su estructura, la cual permite la solución rápida por eliminación de bloques.

Las derivadas de las funciones Discrepancia (F) con respecto a la temperatura son encontrados analíticamente y con respecto a los flujos por componente en forma numérica.

5.2 PROCEDIMIENTO DE CALCULO PARA UNA COLUMNA.

El procedimiento de Cálculo puede ser delineado como sigue:

- 1.- Lectura de Entrada (datos de componente puro, datos termodinámicos para la mezcla y detallar las especificaciones de la columna así como los platos de alimentación, relación de reflujo, etc.).
- 2.- Suposición inicial de la temperatura y perfiles de flujo de componentes.
- 3.- Determinar todos los factores K, entalpias de corriente y los derivados con respecto a la temperatura y composición.
- 4.- Formar las funciones Discrepancia F (x)

- 5.- Determinar los elementos de la matriz Jacobiano y resolver el sistema bloque tridiagonal de ecuaciones.
- 6.- Determinar las correcciones para la temperatura y los perfiles de flujo para los componentes en vapor y liquido.

Determinar los nuevos perfiles.

- 7.- Son las correcciones mas pequeñas que un valor especificado?

Si es NO; entonces ir a 3 con perfiles nuevamente determinados.

Si es SI, entonces ir a 8.

- 8.- Imprimir la salida final y parar.

VI EJEMPLOS DE APLICACION

En este apartado se presentan ejemplos de la aplicación de los procedimientos que se han visto en los capítulos anteriores. Los ejemplos están ordenados por temas y se incluyen soluciones detalladas para que el lector pueda seguirlos y comprobar su resultado.

Ejemplo 1: Se considera un sistema de control de velocidad constante para un automóvil. El sistema recibe una señal de velocidad deseada v_d y genera una señal de control u que actúa sobre el motor. La respuesta del sistema es la velocidad real v . Se sabe que la velocidad real v es una función de la velocidad deseada v_d y de la señal de control u , de acuerdo con la ecuación:

$$v = v_d + u$$

Se pide:

- Calcular la respuesta v para una velocidad deseada constante $v_d = 60 \text{ km/h}$ y una señal de control constante $u = 10 \text{ V}$.
- Calcular la respuesta v para una velocidad deseada constante $v_d = 60 \text{ km/h}$ y una señal de control variable $u = 10 \sin(2\pi t) \text{ V}$.

6. EJEMPLO DE APLICACION.

A continuación se completa el estudio del Método de Contribución de Grupos UNIFAC a través de dos ejemplos de aplicación en el Diseño de Columnas de Destilación, con lo cual se muestra el potencial que éste método tiene.

6.1 Descripción de Ejemplos.

En la figura 6.1 y 6.2 se esquematiza la configuración de los ejemplos a utilizarse y los cuales corresponden a los sistemas siguientes:

SISTEMA_(1)		SISTEMA_(2)	
Componente	No.	Componente	No.
ETANOL	(1)	1,2 Dicloroetano	(1)
N-PROPANOL	(2)	N-Propanol	(2)
AGUA	(3)	Tolueno	(3)
AC.ACETICO	(4)	Acetona	(4)

Características de los sistemas:

- Incluye Coeficientes de actividad.
- Incluye Coeficientes de fugacidad.
- Incluye Dimerización.
- Incluye Entalpias de Exceso.

FIGURA < 6-1 >
CONFIGURACION DE LA COLUMNA DE DESTILACION
SISTEMA 1

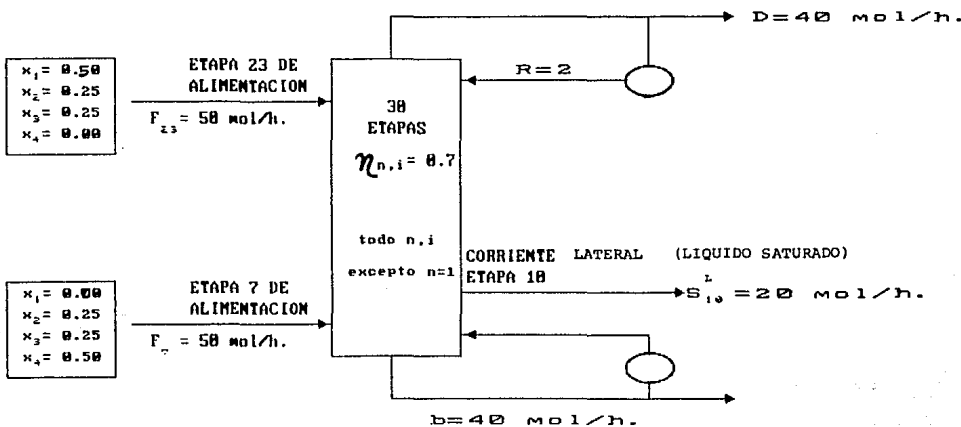
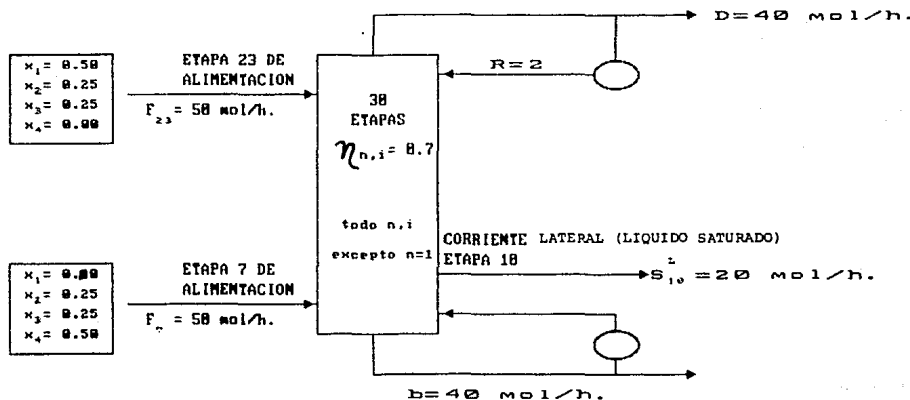


FIGURA < 6 - 2 >

CONFIGURACION DE LA COLUMNA DE DESTILACION
SISTEMA 2



Información adicional:

Composición de Alimentación y Parámetros de Antoine para cada componente:

Sistema (1)

No. Comp.	Alimentación (moles)	Parámetros de Antoine		
		a	b	c
1	25.0	8.045	1554.30	222.65
2	25.0	7.997	1569.70	209.50
3	25.0	7.967	1668.21	228.00
4	25.0	7.188	1416.70	211.00

Sistema (2)

No. Comp.	Alimentación (moles)	Parámetros de Antoine		
		a	b	c
1	25.0	6.802	949.62	230.0
2	25.0	7.997	1569.70	209.5
3	25.0	7.120	1654.70	190.0
4	25.0	7.024	1161.00	224.0

Configuración de las columnas:

No. de Etapas de la columna = 30

Destilado (mol/h) = 40

Relación de reflujo = 2

Presión total = 1

En la tabla 6.1 y 6.2 se muestra el arreglo que debe tener el archivo de datos para la entrada al Programa de Cómputo para el Diseño de Columnas de Destilación (Apéndice B). En estas tablas se muestran los datos a ser alimentados y su

TABLA 6.1

ARCHIVO DE DATOS A SER ALIMENTADOS PARA EL SISTEMA 1.

1	4	NK
2	2,2,2,4	NOAC,NOFUG,NODIM,NOEX,NDIM
3	ETANOL-AGUA- N PROPANOL-AC. ACETICO.	NAME
4	1.97199,2.1055,-0.43199	Q(I),R(I),XL(I)
5	2.51200,2.7799,-0.44039	
6	1.40000,0.9200,-2.32000	
7	2.07200,2.2024,-0.55039	
8	0.100E01,0.12273E01,0.19283E00,-0.21691E00	
9	0.77161E00,1.1801,0.87732E00,-0.33453E-01	A(0)(J,I)
10	0.18128E01,0.20593E00,0.1E01,-0.6743E-01	
11	0.41135E01,0.27263E01,0.29816E01,0.1E01	
12	0.0E00,-0.2033E-03,0.90927E-03,0.1395E-02	
13	0.13147E-03,0.0E00,-0.24844E-03,0.11243E-02	A(1)(J,I)
14	-0.11735E-02,0.96916E-03,0.0E00,0.13632E-02	
15	-0.4968E-02,-0.25139E-02,-0.37084E-02,0.0E00	
16	-920.083,-477.755,-223.862,-616.148	
17	-727.402,-418.917,-194.041,-539.903	BI1
18	-477.755,-1160.935,-252.53,-783.736	
19	-418.917,-931.554,-219.091,-668.275	
20	-223.862,-252.530,-652.368,-323.959	
21	-194.041,-219.091,-479.629,-604.094	BI2
22	-326.105,-394.054,-183.889,-1160.955	
23	-285.07,-344.738,-159.758,-931.554	
24	353.373	T1,T2
25	10.108,3018.0	A,EX
26	8.04494,1554.3,22.65	
27	7.99733,1569.7,209.5	ANT(K,J)
28	7.96681,1668.2,228.0	
29	7.16807,1416.7,211.0	
30	-3032.32,37.904,7903.72,18.672	
31	-2812.8,35.16,7722.4,26.77	ENP(J,K)
32	-1440.0,18.0,9230.62,8.705	
33	-2246.4,28.09,4374.75,17.92	
34	30.2,1,0,2	NST,NFEED,NSL,NSV,NOON
35	40,2,1,100,80	DEST,RFLX,P,TT,TB
36	2	KMU
37	7	MU(I) 6 MUS
38	7	NF
39	85,0,0,12.5,12.5,25	TF(NF),FKV(NF),FSTR(NF,J)
40	23	NF
41	110,1,25,12.5,12.5,0	TF(NF),FKV(NF),FSTR(NF,J)
42	10	SL
43	20	SV

TABLA 6.2

ARCHIVO DE DATOS A SER ALIMENTADOS PARA EL SISTEMA 3.

1	4	NK
2	2.2.2.4	NOAC,NOFUG,NODIM,NOEX,NDIM
3	1.2 DICLOROETANO-N PROPIANOL-TOLUENO-ACTONA	NAME
4	2.42800,2.93080,0.08320	Q(I),R(I),XL(I)
5	2.51200,2.77799,-0.44039	
6	2.96800,3.922280,1.65120	
7	2.33800,2.57350,-0.38800	
8	0.100E01,0.11371E00,0.18238E01,0.20493E00	
9	0.11126E-01,0.1E01,0.13917E01,0.96890E-00	A(0:(J,1))
10	0.44101E01,0.52172E-01,0.1E01,0.15201E01	
11	0.23124E01,0.53528E-01,0.1000E01,0.10E01	
12	0.0E00,0.12082E-02,-0.86722E-03,0.10517E-02	
13	-0.20533E-03,0.0E00,-0.59075E-03,0.65881E-04	A(1:(J,1))
14	0.48590E-03,0.11974E-02,0.0E00,-0.7143E-02	
15	-0.20691E-02,-0.62619E-03,0.86770E-02,0.0E00	
16	-1267.738,-797.219,-933.574,-967.743	
17	-1092.489,-692.769,-821.143,-824.669	BI1
18	-729.219,-1267.738,-933.574,-1529.911	
19	-692.769,-1092.489,-821.143,-1263.136	
20	-933.574,-933.574,-1267.739,-1253.977	BI2
21	-821.143,-821.143,-1092.489,-1073.803	
22	-967.743,-1529.911,-1253.977,-1206.350	
23	-824.669,-1263.136,-1073.803,-996.947	
24	340.360	T1,T2
25	10.108.3018.0	A,BX
26	6.80270,949.62,230.0	
27	7.99733,1569.7,209.5	ANT(K,J)
28	7.12032,1654.7,190.0	
29	7.02447,1161.0,224.0	
30	-2156.12,47,109.9257,12,23,123	ENP(J,K)
31	-1440.0,18,0.9230,62,8,705	
32	-2540.6,23,8,12305,35,11,256	
33	-3245.6,31,12,5347,89,22,62	
34	30,2,1,0,2	NST,NEED,NSL,NSV,NOON
35	40,2,1,100,80	DEST,REFLX,P,TT,TE
36	2	KMU
37	.7	MU(I) & MUS
38	7	NF
39	85,0,0,12.5,12.5,25	TF(NF),FKV(NF),FSTR(NF,J)
40	23	NF
41	110,1,25,12.5,12.5,0	TF(NF),FKV(NF),FSTR(NF,J)
42	19	SL
43	20	SV

correspondencia de acuerdo a los parámetros y variables requeridos para el cálculo de la columna y cuya nomenclatura viene señalada en el Apéndice B sección B.1.

Cabe señalar que en las tablas 6.1 y 6.2 vienen señaladas variables que no han sido especificadas originalmente, por lo que a continuación se mencionan y se explica de que forma son obtenidas.

Variables: $Q(I)$, $R(I)$, $A(0)(J,I)$ y $A(1)(I,J)$

Son obtenidos utilizando el Programa de Cómputo para Calcular los Parámetros UNIQUAC y el cual viene descrito en el Apéndice C, así mismo en la sección E.2 del Apéndice E se muestran los resultados obtenidos del cálculo de estas variables requeridas para los sistemas 1 y 2.

Variables: $B11$ y $B12$.

Son calculadas a través del Programa de Cómputo para Calcular los Coeficientes Viriales y el cual se encuentra descrito en el Apéndice D. En el Apéndice E sección E.3 se muestran los resultados de Coeficientes Viriales para los sistemas 1 y 2.

El resto de las variables a especificar están en función de la configuración de la columna a diseñar y del sistema que se trate.

8.2 LISTADO DE RESULTADOS DE LA CORRIDA DEL EJEMPLO DE APLICACION.

En el anexo D se muestran los resultados obtenidos de la corrida computacional del ejemplo No. 1 para cada una de las iteraciones calculadas y al final de estas se dan los resultados del cálculo etapa por etapa de la temperatura, flujos totales y por componente de la fase líquida y vapor, así como los perfiles del factor K de separación, las fracciones mol de la fase líquida y fase vapor para cada etapa en la columna de destilación, también proporciona los flujos de producto (fase líquida y vapor) para sus respectivas etapas de salida y por último se muestra el cálculo del balance de calor para el reboiler y el condensador de la columna de destilación diseñada bajo las condiciones señaladas en el punto 6.1.

VII RESULTADOS

En la sección anterior se presentaron los resultados de los ensayos realizados en el laboratorio para determinar la actividad antimicrobiana de los extractos de *Psoralea corylifolia* y *Psoralea argentea*. Los resultados se presentan en la Tabla 1.

En la Tabla 1 se observa que el extracto de *Psoralea corylifolia* es más activo que el extracto de *Psoralea argentea* contra las tres cepas de *Candida albicans* y contra la cepa de *Escherichia coli*. El extracto de *Psoralea corylifolia* es más activo que el extracto de *Psoralea argentea* contra la cepa de *Staphylococcus aureus*.

Los resultados de los ensayos de actividad antimicrobiana se presentan en la Tabla 1.

Método de ensayo	Extracto de <i>Psoralea corylifolia</i>	Extracto de <i>Psoralea argentea</i>
Contra <i>Candida albicans</i>	100% actividad	80% actividad
Contra <i>Escherichia coli</i>	100% actividad	80% actividad
Contra <i>Staphylococcus aureus</i>	100% actividad	80% actividad

7. Resultados.

En el Apéndice D sección D.1 se muestran los resultados obtenidos de la corrida computacional del sistema 1 y 2 utilizados como ejemplos de aplicación en el Diseño de Columnas de Destilación usando como herramienta fundamental el Método de Contribución de Grupos UNIFAC: en éstos se listan cada una de las iteraciones calculadas y al final de estas se dan los resultados del cálculo etapa por etapa de la temperatura, flujos totales y por componente de la fase líquida y vapor, así como los perfiles del factor K de separación, las fracciones mol de la fase líquida y fase vapor para cada etapa en la columna de destilación, también proporciona los flujos de producto (fase líquida y vapor) para sus respectivas etapas de salida y por último se muestra el cálculo del balance de calor para el reboiler y el condensador de la columna de destilación diseñada bajo las condiciones señaladas en el punto 6.1.

Mas sin embargo, es necesario que dichos resultados sean presentados de manera esquemática, en virtud de que los resultados obtenidos de listados no reflejan o dan idea del comportamiento ocurrido etapa por etapa en las Columnas Diseñadas.

En las figuras 7.1 y 7.2 se muestran de manera esquemática un resumen de los resultados obtenidos del Cálculo de la Columna

FIGURA < 7-1 >

RESULTADOS DE LA COLUMNA DE DESTILACION DEL SISTEMA
ETANOL <1>-N-PROPANOL <2>-AGUA <3>-AC. ACETICO <4>

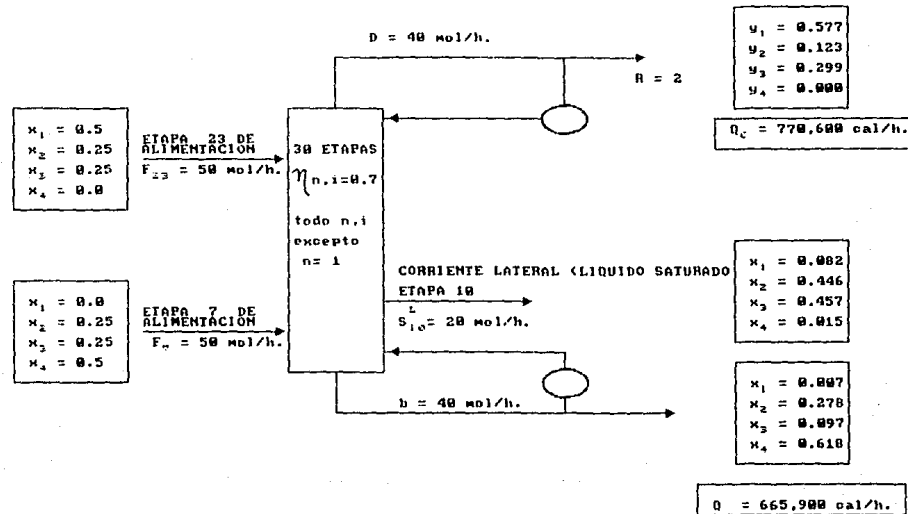
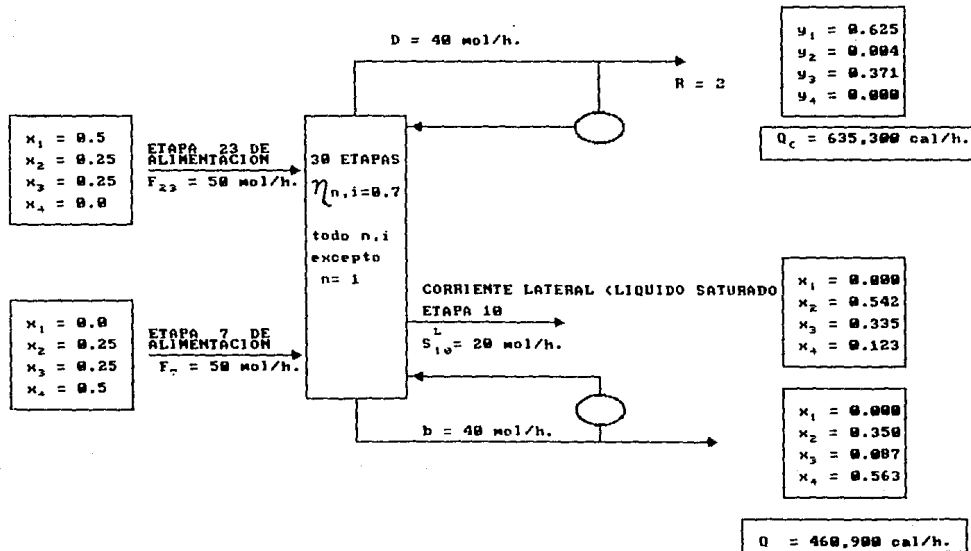


FIGURA < 7 - 2 >

RESULTADOS DE LA COLUMNA DE DESTILACION DEL SISTEMA
1 , 2 DICLOROETANO<1>-N-PROPANOL<2>-TOLUENO<3>-ACETONA<4>



de Destilación para los Sistemas 1 y 2, utilizando el Método de Naphtali-Sandholm con UNIFAC.

Las figuras 7.3 y 7.4 indican cual es el perfil de temperaturas de los sistemas 1 y 2 respectivamente en la Columna de Destilación, pudiéndose apreciar cual es el comportamiento de la temperatura para cada una de las etapas de equilibrio.

Las figuras 7.5 y 7.6 muestran el perfil de flujos de la fase líquida con los que trabajan los sistema 1 y 2 respectivamente en la columna.

En las figuras 7.7 y 7.8 muestran el perfil de flujos de la fase vapor de los sistema 1 y 2 respectivamente etapa por etapa en las columnas diseñadas.

En las figuras 7.9 y 7.10 se indican cuales son los perfiles totales etapa por etapa dentro de la columna para los sistemas 1 y 2.

Las figuras 7.11 y 7.12 muestran el comportamiento de factor de separación dentro de la columna etapa por etapa para los sistemas 1 y 2 respectivamente.

FIGURA (7.3)

PERFIL DE TEMPERATURAS EN LA COLUMNA

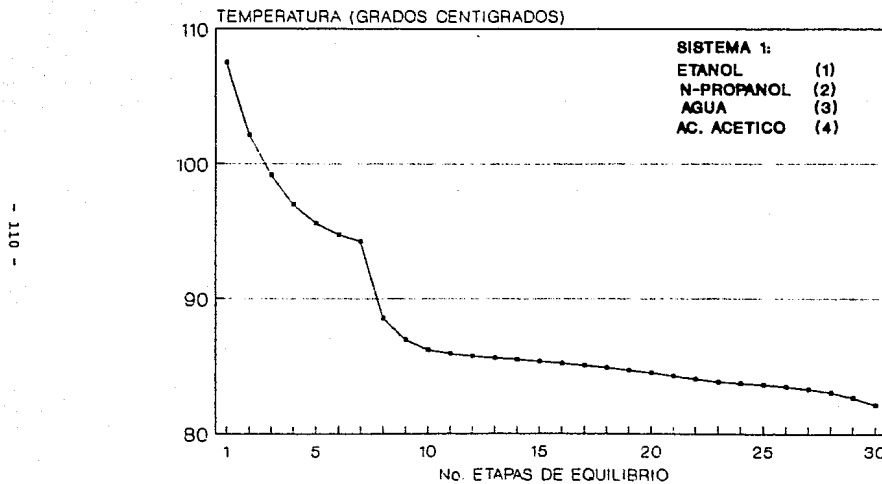


FIGURA (7.4)
PERFIL DE TEMPERATURAS EN LA COLUMNA

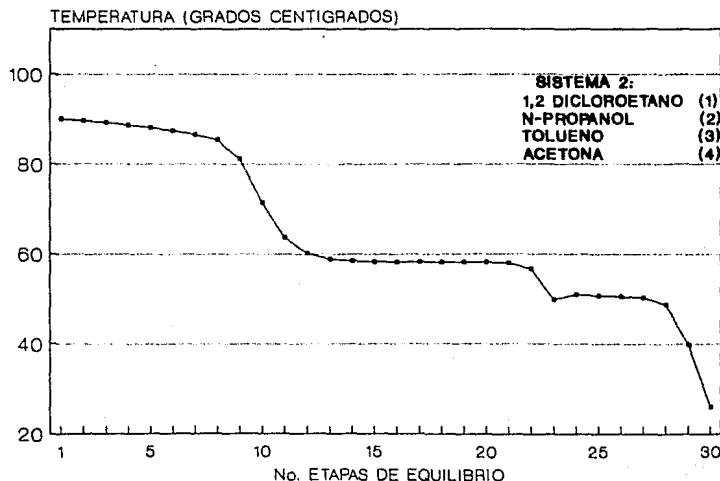


FIGURA (7.6)

PERFIL DE FLUJOS EN LA COLUMNA DESTILACION

FLUJO (moles/h), FASE LIQUIDA

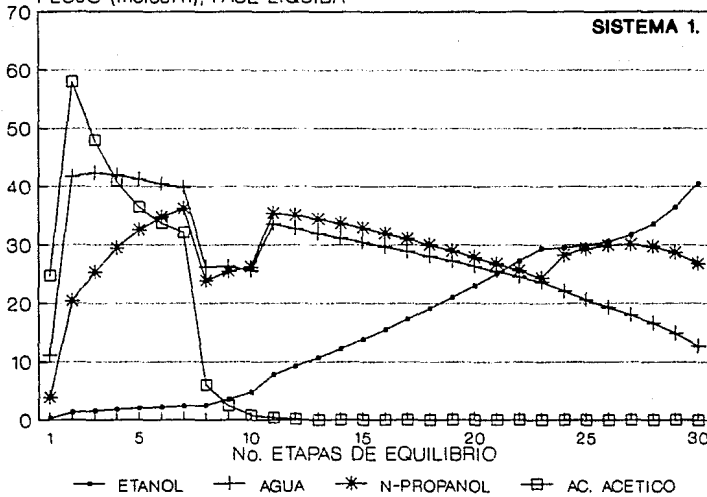


FIGURA (7.8)

PERFIL DE FLUJOS EN LA COLUMNAS DESTILACION

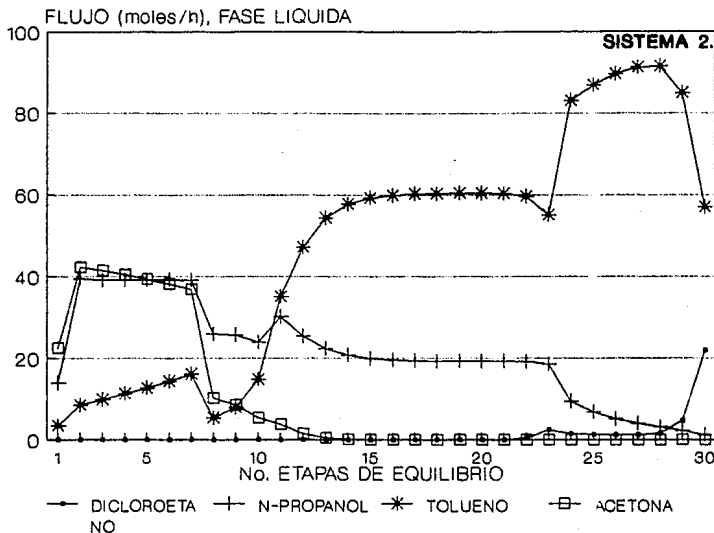


FIGURA (7.7)
PERFIL DE FLUJOS EN LA COLUMNA DESTILACION

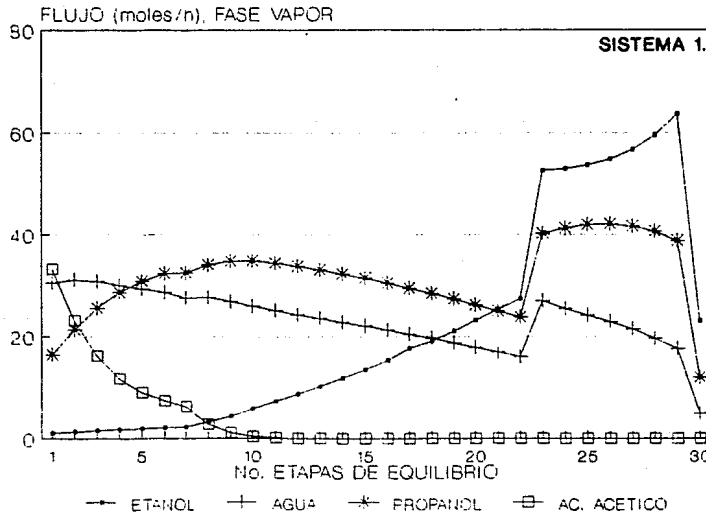


FIGURA (7.8)

PERFIL DE FLUJOS EN LA COLUMNA DESTILACION

FLUJO (moles/h), FASE VAPOR

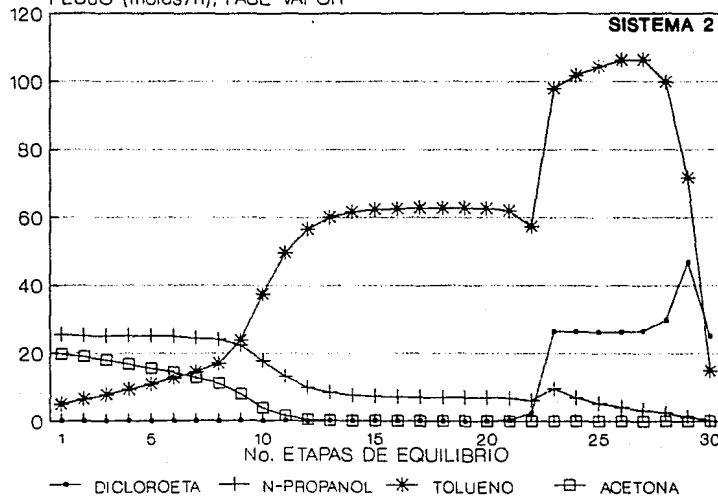


FIGURA (7.9)

PERFIL DE FLUJOS EN LA COLUMNA DESTILACION

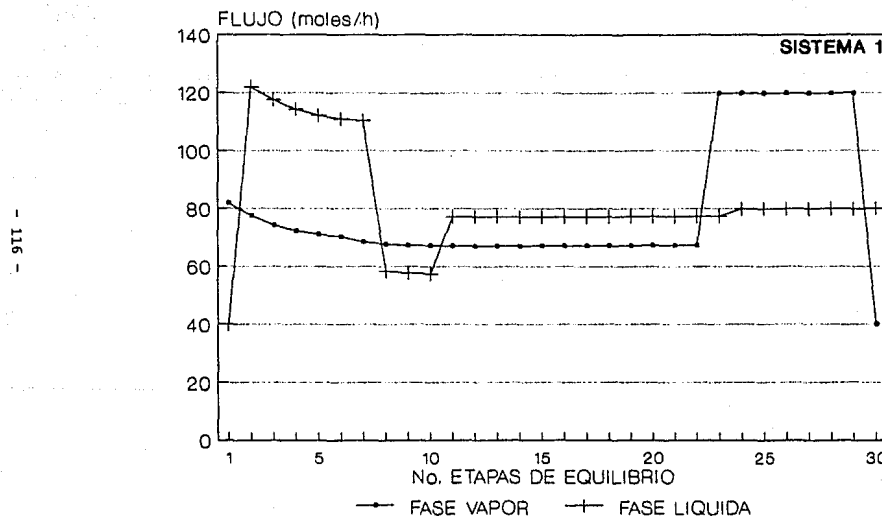


FIGURA (7.10)
PERFIL DE FLUJOS EN LA COLUMNA DESTILACION

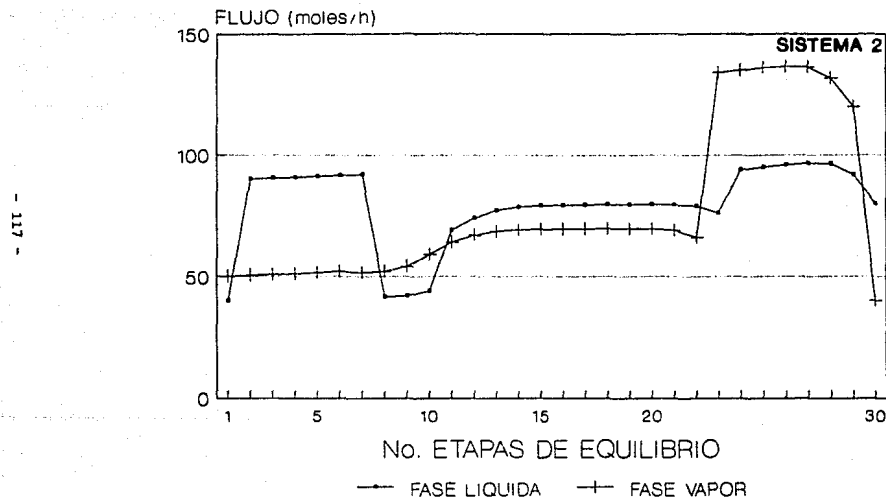


FIGURA (7.11)
PERFIL DE FACTOR K EN LA COLUMNA

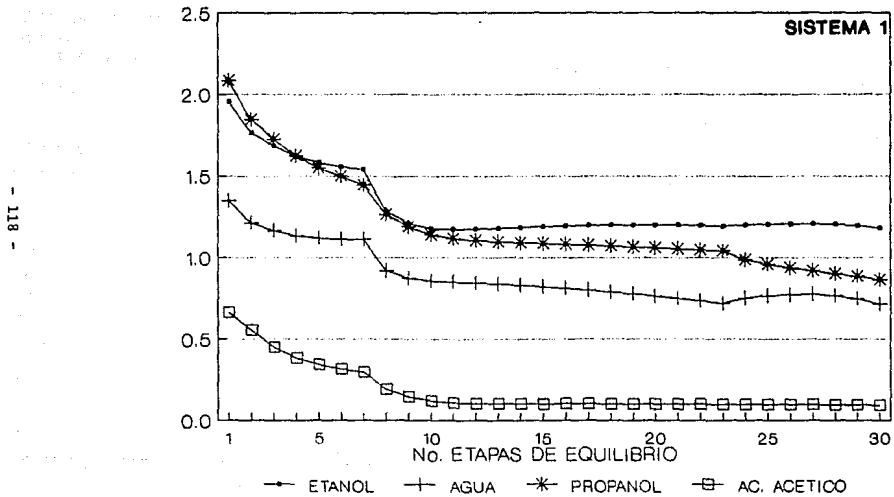
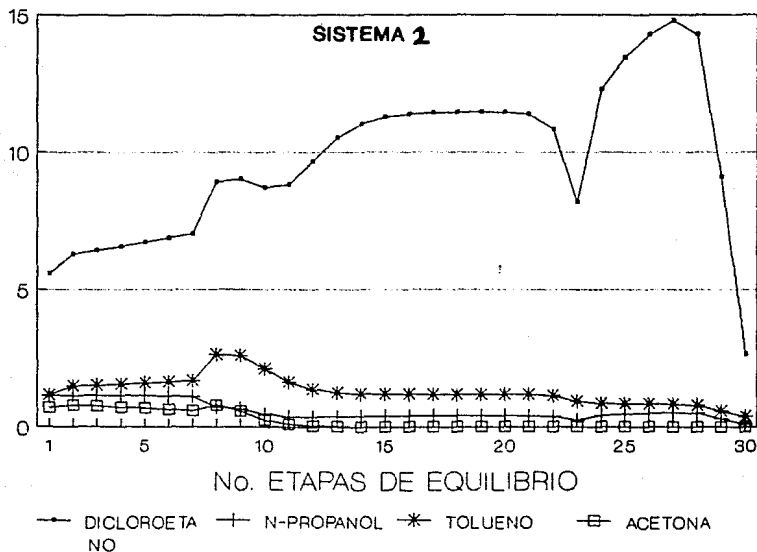


FIGURA (7.12)

PERFIL DE FACTOR K EN LA COLUMNA



CAPITULO VIII

ANALISIS DE RESULTADOS Y CONCLUSIONES

ANALISIS DE RESULTADOS.

Como anteriormente se ha mencionado, dentro de las aplicaciones mas importantes de UNIFAC es la de emplearlo en el análisis del comportamiento de las columnas de destilación, ésto es logrado a través de los perfiles de temperatura, flujos de vapor y de liquido, flujos totales y del factor K en la columna de destilación que se esté analizando ó estudiando, así mismo con variación en los parámetros de diseño, como por ejemplo número de etapas, relación de reflujo, flujo de destilado, etc., hace posible la comparación entre distintas configuraciones y condiciones de operación de las columnas, permitiendo de esta manera seleccionar el sistema mas adecuado sin necesidad de operar los equipos en campo.

Para demostrar el funcionamiento del programa de cómputo desarrollado por Naphtali-Shandholm utilizando UNIFAC, éste fue probado con dos sistemas químicos definidos en el capítulo anterior; el sistema (1) (etanol-n propanol-agua-ac. acético) siendo el mismo que presenta Aage Fredenslund (3) para demostrar la aplicabilidad de UNIFAC en el Diseño de Columnas de Separación, llegando a los mismos resultados y con el mismo número de iteraciones, éstos son mostrados de manera gráfica en el capítulo Vll y en listados de cómputo en el Apéndice D, con ésto se muestra el funcionamiento de este programa de cómputo utilizado para la aplicación del método

UNIFAC para el estudio y análisis de comportamiento de sistemas químicos con la finalidad de obtener las mejores condiciones en el proceso y por lo tanto un diseño óptimo del equipo de separación. En el caso del sistema (2), este fue seleccionado de entre los sistemas existentes en la tecnología química, para éste sistema se utilizaron los programa PUNIQUAC y COEFFVIR para el cálculo de los Parámetros UNIQUAC a partir de UNIFAC y el cálculo de los Segundos Coeficientes Viriales respectivamente en virtud de que son requeridos para el cálculo de columnas de destilación utilizando el programa de Naphtali-Shandholm.

Los resultados obtenidos de los dos ejemplos de aplicación muestran la gran versatilidad, eficacia y utilidad del método UNIFAC en el Diseño de Columnas de Destilación, mas sin embargo, éste método UNIFAC no se limita a estos equipos de separación sino que también se le puede utilizar en el Diseño de Operaciones de Separación líquido-líquido, sólido-líquido y líquido-líquido-sólido.

CONCLUSIONES.

En el desarrollo de este trabajo se ha observado la importancia que tienen los Métodos de Contribución de Grupos en el Diseño de Procesos de Separación y en específico para Columnas de Destilación, pero no solo se limita únicamente a éste aspecto sino también es utilizado para el cálculo de propiedades termodinámicas que a su vez son requeridas para otros cálculos de diseño como se indica en el capítulo IV.

El Método de Contribución de Grupos UNIFAC seleccionado para este trabajo es el que mayor desarrollo ha tenido de entre los otros métodos existentes, sin embargo, como todo método ésto implica mejoras continuas para ampliar el rango de aplicación, esto es en cuanto a temperatura, así como la inclusión de nuevos grupos funcionales y a la verificación de los valores de parámetros previamente obtenidos para los grupos funcionales, en virtud de que éstos van siendo corregidos o correlacionados de mejor manera con lo cual se va obteniendo mayor exactitud y precisión para el cálculo de las propiedades y de los equilibrios de fases.

También se destacó la importancia de recopilar una gran cantidad de información fundamental que sirva de respaldo para la creación de un banco de datos de equilibrios, información que debe ser integrada para lograr un excepcional crecimiento y expansión.

Se recomienda que trabajos futuros sobre éste tema incluyan revisiones bibliográficas que indiquen cual es el Estado actual de los Métodos de Contribución de Grupos aplicados a las operaciones de separación con la finalidad de conocer las mejoras que van surgiendo sobre éste en particular. Asimismo cabe señalar que nuevos grupos funcionales están siendo incorporados para completar la variedad de especies químicas que hoy día van siendo de suma importancia en la mayoría de las industrias.

También es deseable se realicen revisiones sobre los métodos de cálculo de operaciones de separación para de ésta manera eficientar al máximo su cálculo, obteniendo así mayor rapidez y menores tiempos de cómputo, en virtud de que hoy día con los avances de la computadora se logrará una mayor precisión en tales diseños.

IX BIBLIOGRAFIA.

- (1) C. Judson King. " Procesos de Separación ", Mc Graw Hill Book Company New York. 1982.
- (2) K. Kojima and K. Tochigi, " Prediction of vapor-liquid equilibria by ASOG Method ", Elsevier Scientific Publishing Co. Amsterdam-Oxford-New York (1979).
- (3) Aage Fredenslund, " Vapor- Liquid Equilibria using UNIFAC " , Elsevier Scientific Publishing Company Amsterdam-Oxford-New York (1977).
- (4) Skjold-Jorgensen, " Vapor-Liquid Equilibria by UNIFAC Group Contribution" , Eng. Chem. Process Des. Dev. Vol. 18, No. 4, 1979.
- (5) Kikic, I.; Alessi P., Rasmussen P., Fredenslund Aa., 'On the Combinatorial Part of the UNIFAC and UNIQUAC Models' Can. J. Chem. Eng. Vol. 52 April 1982.
- (6) Cunningham, J. R. and G. M. Wilson, Proceedings of the 54th GPA National Meeting, Denver 1974.
- (7) Wilson, G. M Adv. in Chemistry Series , Symp. Ser. 1977.

- (8) Moshfeghian, M. A. Shariat and J. H. Erbar, paper presented at the 86th AIChE, National Meeting Houston, 1979.
- (9) Robert C. Reid; John M. Prausnitz; B. E. Poling 'The Properties of Gases and Liquids' Fourth edition, Mc. Graw Hill.
- (10) I. Langmuir, " The Distribution and Orientation of Molecular, Third Colloid Symposium Monograph, The Chemical Catalog Company Inc., New York, 1925.
- (11) E. L. Derr and M. Papadopoulos, J. Am. Chem. Soc. 81(1959)2285.
- (12) G. M. Wilson and C. H. Deal, Ind. Eng. Chem. Fundamentals, 1(1962)20.
- (13) D. S. Abrams and J. M. Prausnitz, AIChE Journal, 21 (1975)116.
- (14) P. J. Flory, J. Chem. Phys. 9(1941)660; 10(1942)51 and M. L. Huggins J. Chem. Phys. 9(1941)40; Ann. N. Y. Acad. Sci., 431(1942)1.

- (15) Aage Fredenslund, R. L. Jones and J. M. Prausnitz, AIChE Journal 21(1975)1086.
- (16) Aage Fredenslund, Jurgen Gmehling, Michael L. Michelsen, Peter Rasmussen and John M. Prausnitz, Ind. Eng. Chem., Process Design and Development, 1977.
- (17) Aage Fredenslund, Russel L. Jones and J. M. Prausnitz, "Group-Contribution Estimation of Activity Coefficients in Non-ideal Liquid Mixtures", AIChE Journal (Vol. 21, No. 6)1975.
- (18) Guggenheim, E. A., "Mixtures", Clarendon Press, Oxford 1952.
- (19) Gmehling and J. Onken, "Vapor-Liquid Equilibrium Data Collection", DECHEMA Chemistry Data Series, Frankfurt am Main, vol. 1 part 1-8, 1977; ver también Onken, U., Gmehling, J., Chem. Ing. Tech. (1977).
- (20) Wichterle, J., Linek, J., Halá, E., "Vapor-Liquid Equilibrium Data Bibliography" Elsevier Amsterdam, 1973; Supplement I, 1976.
- (21) Christiansen, L. J., and Fredenslund, documento presentado en el 12th. Symposium on Computer Applications in Computer & Chemical Engineering 1979.

- (22) Hayden, J. G., O'Connell, J. P., Ind. Eng. Chem., Process Des. Dev. 14, 209 (1975).
- (23) Nelder, J. A., Mead, R., Simplex Method for Function Minimization, Comput. Journal 7, 308 (1965).
- (24) Skjold-Jorgensen, B. Kolbe, J. Gmehling and P. Rasmussen, " Vapor-Liquid Equilibria by UNIFAC Group Contribution ". Revision and Extension, Ind. Eng. Chem. process Des. Dev. Vol. 18, No. 4 (1979).
- (25) Gmehling, J. ; Rasmussen, P., Fredenslund, Aa. Ind. Eng. Chem. Process Des. Dev. 16, 420 (1982).
- (26) Alessi, P.; Kikic I.; Fredenslund, Aa., Rasmussen, P. Can. J. Chem. Eng., 31, 94, (1982).
- (27) Mamata Mukhopahany and Avinash S. Pathak, L-L-E Data for Aromatics Extraction Calculations using a Modified UNIFAC Model. Ind. Eng. Chem. Process Des. Dev., 1986, 25, 733-736.
- (28) Karvo, M. J. Chem. Thermodyn, Prentice Hall, 1980.
- (29) Larsen, B. L.; Fredenslund, Aa.; Rasmussen, P. " Phase Equilib. Separat. Process, Mc Graw Hill, 1973.

(30) J. Gmehling and P. Rasmussen, Ind. Eng. Chem. Fundam.
34, 951 (1982).

(31) Gmehling J.; Rasmussen P. Ind. Eng. Chem. Fundam. 1982,
21, 186 188.

(32) Gmehling J.; Rasmussen P. Ind. Eng. Chem. Res. 1987,
26, 159 161.

X APENDICE

A) CRITERIOS DE EQUILIBRIO.

B) DESCRIPCION DEL PROGRAMA PARA EL DISEÑO DE COLUMNAS
DE DESTILACION.

C) PROGRAMAS PARA EL CALCULO DE PARAMETROS UNIQUAC
(PUNIQUAC) Y PARA EL CALCULO DE LOS SEGUNDOS
COEFICIENTES VIRIALES (CORFVIR).

D) LISTADO DE RESULTADOS.

D.1) SIMULACION COLUMNA.

D.2) CALCULO PUNIQUAC.

D.3) CALCULO SVIR.

APENDICE A

TERMODINAMICA DEL EQUILIBRIO DE FASES

a.1) Termodinámica del Equilibrio de Fases.

El equilibrio implica una situación en la cual no se producen cambios macroscópicos respecto al tiempo, esto significa en la termodinámica, que no existe cambio en las propiedades del material con el tiempo. Se dice que un verdadero estado de equilibrio probablemente nunca se alcance debido a las continuas variaciones en los alrededores y a resistencias retardantes. El equilibrio requiere de un balance de todos los potenciales que pueden causar un cambio, sin embargo, la rapidez de aproximación al equilibrio, es proporcional a la diferencia de potencial entre el estado real y el estado de equilibrio, por lo que la rapidez de cambio se hace muy lenta cuando el sistema se aproxima al equilibrio. El equilibrio en estudios científicos es considerado cuando los cambios no pueden ser detectados con los aparatos de medición disponibles.

Los criterios que deben satisfacerse para que exista un estado de equilibrio para sistemas de multifases y multicomponentes fueron deducidas por Gibbs y son los siguientes:

"Para un sistema cerrado el estado de equilibrio es aquel en el cual la energía libre de Gibbs total es un mínimo respecto a todos los cambios posibles a las T y P dadas".

$$(dG_t)_{T,P} \leq 0 \quad \text{----- (a.1.1)}$$

donde:

G_t = Energía libre de Gibbs total

T = Temperatura

P = Presión del sistema

Este criterio de equilibrio proporciona un método general para determinar los estados de equilibrio.

En un estado de equilibrio pueden presentarse variaciones diferenciales en el sistema a una T y P constantes, sin producir ningún cambio de G_t y este corresponde al significado de la igualdad de la ecuación (a.1.1), por lo tanto otro criterio general para que un sistema este en equilibrio es:

$$(dG_t)_{T,P} = 0 \quad \text{----- (a.1.2)}$$

Para aplicar este criterio se desarrolla una expresión para dG como función de los moles de los componentes en las diversas fases y se hacen igual a cero. Primero se parte de la siguiente ecuación:

$$d(nG) = -(nS)dT + (nV)dP + \sum(\mu_i d\eta_i) \quad \text{----- (a.1.3)}$$

ahora con la ecuación anterior pero escrita para cada fase:

$$d(nG)^{\alpha} = -(nS)dT + (nV)dP + \sum(\mu_i^{\alpha} dn_i^{\alpha}) \quad \text{---(a.1.4)}$$

$$d(nG)^{\beta} = -(nS)dT + (nV)dP + \sum(\mu_i^{\beta} dn_i^{\beta}) \quad \text{---(a.1.5)}$$

donde α , β denotan ambas fases.

La suma de las ecuaciones (a.1.4) y (a.1.5) proporciona el dG_t y queda de la siguiente manera a T y P constantes:

$$(dG_t)_{T,P} = \sum(\mu_i^{\alpha} dn_i^{\alpha}) + \sum(\mu_i^{\beta} dn_i^{\beta}) = 0 \quad \text{---(a.1.6)}$$

y si el sistema es cerrado y sin reacción química, los balances de materia requerirán que:

$$dn^{\alpha} = -dn^{\beta} \quad \text{---(a.1.7)}$$

y como resultado se obtiene:

$$\sum(\mu_i^{\alpha} - \mu_i^{\beta}) dn^{\alpha} = 0 \quad \text{---(a.1.8)}$$

donde para cumplir esta igualdad es necesario que cada término sea separadamente cero, esto es:

$$\mu_i^{\alpha} = \mu_i^{\beta} \quad \text{---(a.1.9)}$$

pudiéndose esto generalizar para sistemas de más de dos fases:

$$\mu_i^1 = \mu_i^2 = \dots = \mu_i^N \quad (a.1.10)$$

(i = 1, 2, \dots, N)

La ecuación (a.1.10) es un criterio general para el equilibrio de fases y establece que para un sistema de múltiples fases que se encuentran a la misma T y P se satisface la condición de equilibrio cuando el potencial químico (μ_i) de cada especie química es el mismo en todas sus fases.

Otro criterio igualmente general para el equilibrio de fases, se deriva de la siguiente ecuación:

$$dG_i = RT d \ln f_i \quad (a.1.11)$$

a T constante y como $\mu_i = G$, puede escribirse de la siguiente forma:

$$d\mu_i = R T d \ln f_i \quad (a.1.12)$$

donde:

R = Constante de la ley de los gases.

f_i = Fugacidad del componente i.

Integrando la ecuación (1.2.12) se tiene que:

$$\mu_i = RT \ln f_i + C \quad \text{-----(a.1.13)}$$

donde C es una constante que solo depende de la temperatura y como todas las fases están a la misma, la ecuación precedente para las μ_i de la ecuación (a.1.10) nos conduce a:

$$f_i^a = f_i^b = \dots = f_i$$

Este último criterio de equilibrio requiere que para un sistema de múltiples fases a la misma T y P, la fugacidad de cada componente debe ser la misma para todas las fases.

En resumen, los criterios de equilibrio de fase los podemos sintetizar con las siguientes condiciones del sistema que a continuación se muestran con el esquema:

Fase vapor
Fase líquido I
Fase líquido II

Sistema cerrado

Un sistema en equilibrio no cambia sus propiedades macroscópicas con el tiempo:

$$T_v = T_{L1} = T_{L2}$$

$$P_v = P_{L1} = P_{L2}$$

$$f_{v1} = f_{L1} = f_{L2}$$

Lo explicado en esta sección es de suma importancia para conocer el comportamiento de las fases vapor y líquido en las siguientes secciones.

a.2) Fase Vapor

Existen relaciones rigurosas entre la fugacidad ($f_i v$) de un componente en fase vapor y las propiedades volumétricas de esta fase; estas propiedades están convenientemente expresadas en la forma de una ecuación de estado. Hay dos tipos comunes de ecuaciones de estado: una de esas expresa el volumen como una función de la temperatura, presión y número de moles (ecuación con volumen explícito); la otra expresa la presión como una función de la temperatura, volumen y número de moles (ecuación con presión explícita). La última forma es más común ya que la presión es preferible como variable independiente, esto es más conveniente para usar una ecuación de estado con volumen explícito. Una ecuación de estado sencilla es la ecuación virial truncada después del segundo término:

$$Z = P V / R T = 1 + B P / R T \text{ ----- (a.2.1)}$$

donde V es el volumen molar, P es la presión total, T es la temperatura absoluta y R es la constante de los gases; B es el segundo coeficiente virial, el cual es función de la temperatura y la composición pero es independiente de la presión o densidad. Para un sistema conteniendo m

componentes, la dependencia de la composición sobre B es dado por:

$$B = \sum_{i=1} \sum_{j=1} y_i y_j B_{ij} \quad \text{-----(a.2.2)}$$

donde y es la fracción mol y $B_{ij} = B_{ji}$. Para el caso de una mezcla binaria:

$$B = y_1^2 B_{11} + 2 y_1 y_2 B_{12} + y_2^2 B_{22} \quad \text{-----(a.2.3)}$$

donde B_{ij} depende solamente de la temperatura y de los componentes i y j .

El coeficiente de fugacidad es encontrado de la relación termodinámica siguiente:

$$\ln \Phi_i = \int_0^P \left(\bar{Z}_i - 1/P \right) dP \quad \text{-----(a.2.4)}$$

donde:

$$\bar{Z}_i = P \bar{V}_i / R T \quad \text{-----(a.2.5)}$$

y el volumen molar parcial \bar{V}_i es definido por:

$$\bar{V}_i = (\partial V_i / \partial n_i)_{T, P, n_j} \quad \text{-----(a.2.6)}$$

En la ecuación (a.2.6), V es el volumen total conteniendo n_i moles del componente i , n_j moles del componente j , etc. La diferencia es llevada a cabo manteniendo la temperatura, presión y número de moles totales (excepto n_i) constantes.

Cuando las ecuaciones (a.2.1) y (a.2.2) son sustituidos en la ecuación (a.2.4), se obtiene:

$$\ln \Phi_i = \left(2 \sum_j y_j B_{ij} - B \right) P / R T \quad \text{----- (a.2.7)}$$

La ecuación (a.2.7) es aplicable a presiones bajas o moderadas. La única limitación es que cuando la fase vapor contiene un componente fuertemente dimerizado como son los ácidos carboxílicos no puede ser utilizada y se tiene que hacer uso para el cálculo del coeficiente de fugacidad de la Teoría Química, la cual es discutida en las referencias (12) y (21).

La ecuación para el cálculo del coeficiente de actividad derivada de la ecuación virial en la forma de presión explícita es la siguiente:

$$\ln \Phi_i = 2 / V \left(\sum_j y_j B_{ij} \right) - \ln Z \quad \text{----- (a.2.8)}$$

$$Z = 1 + B / V \quad \text{----- (a.2.9)}$$

donde (a.2.9) es la ecuación virial en la forma de presión explícita.

A presiones bajas no hay mucha diferencia entre los valores de Φ_i calculadas de (a.2.7) y (a.2.8). A presiones hasta de 10 atmósferas la diferencia entre los valores obtenidos usando una y otra ecuación es aproximadamente menor a 1.5 %.

En forma breve describiremos los efectos de las variables independientes (P, T y composición) sobre la No-Idealidad de la fase vapor, pero primero diremos que el coeficiente de fugacidad (Φ_i) es una medida de la No-Idealidad y por lo tanto un alejamiento de la unidad, cuyo valor indica que no existe ninguna desviación del comportamiento ideal. El Φ_i depende de la presión, temperatura y composición del vapor; esta dependencia en la región de presión moderada que es cubierto por la ecuación virial truncada y es usualmente como sigue:

- a) A temperatura y composición constante, un incremento en la presión causa que Φ_i se desvíe de la unidad, usualmente en la dirección de $\Phi_i < 1.0$

- b) A presión y composición constante, un incremento en la temperatura causa que Φ_i se aproxime a la unidad, es decir, se comporta como ideal.

c) A presión y temperatura constante, los efectos de la composición sobre Φ_i son fuertes cuando y_i es pequeña. Si y_i es cercana a la unidad, el cambio en la composición tiene relativamente poco efecto sobre Φ_i .

A P, T, y (composición) constante, los efectos de una molécula j sobre Φ_i es más pronunciada cuando j es químicamente muy diferente de i . En mezclas polares, donde interacciones específicas con el hidrógeno tienden a ocurrir, los efectos de composición pueden ser muy grandes. Un ejemplo bien conocido es el sistema eterdietil- cloroformo, donde el hidrógeno se enlaza entre moléculas diferentes pero no entre moléculas similares.

A veces las correcciones en la fase vapor pueden ser pequeñas para moléculas no-polares a bajas presiones, tales correcciones son generalmente no despreciables para mezclas conteniendo moléculas polares. Correcciones en la fase vapor son sumamente importantes para mezclas conteniendo uno o más ácidos carboxílicos.

a.3) Fase Líquida.

Para predecir el equilibrio líquido-vapor y líquido-líquido en sistemas multicomponentes, se requiere de un método para calcular la fugacidad del componente i (f_i^L) en una mezcla líquida. A una presión (P) y temperatura en un sistema, la fugacidad es escrita como un producto de tres términos para el componente i en una solución líquida:

$$f_i^L = f_i^* \times_i f_i^* \quad \text{----- (a.3.1)}$$

$$i = 1, 2, \dots, M$$

donde f_i^* es la fugacidad de i a un estado estándard arbitrariamente seleccionado. El estado estándard es definido como el componente puro i a una temperatura y presión en el sistema. Esta fugacidad de referencia (f_i^*) está relacionada a la fugacidad en la presión de vapor de i a la temperatura (T) por la siguiente ecuación (22) :

$$f_i^* = f_i^s \exp \int_{P_s}^P V_i dP / R T = f_i^s * P_OY \quad \text{----- (a.3.2)}$$

donde para el líquido puro i , P_{iS} , es la presión de saturación, f_{iS} , la fugacidad de saturación y V_i es el volumen molar del líquido, todo a una temperatura (T).

La fugacidad de saturación (f_{iS}) se define como:

$$f_{iS} = \Phi_{iS} P_{iS} \text{-----(a.3.3)}$$

Donde Φ_{iS} es el coeficiente de fugacidad de saturación del componente i y es calculado a partir de las propiedades de presión (P), volumen (V) y temperatura (T) en la fase vapor, pudiéndose usar los segundos coeficientes viriales para su cálculo, tal como se muestra en la sección (1.3).

El volumen molar líquido, V_i , es obtenido usando la correlación de Yen y Woods (23). Este método reproduce los datos de la literatura para densidades en líquidos con un 2% de desviación, el cual es satisfactorio para calcular el factor de corrección de Poynting, POY . Por lo que a bajas presiones se considera despreciable la dependencia de la presión en el volumen, por lo que se puede escribir como sigue:

$$POY = \exp((P - P_{iS}) V_i / R T) \text{-----(a.2.4)}$$

En los Capítulos III y IV se discuten los diferentes modelos basados en el "concepto de composición local" para el cálculo

del coeficiente de actividad τ como una función de la composición del componente líquido i (x_i). Estos modelos contienen parámetros los cuales pueden ser calculados usando datos experimentales de equilibrio de fase.

APENDICE B

DESCRIPCION DEL PROGRAMA DISEÑO DE COLUMNAS DE DESTILACION.

Apéndice B.

Este apéndice lista el Programa principal y las subrutinas utilizadas para el Diseño de Columnas de Fertilización referidas en el Capítulo V. El apéndice contiene:

B.1 Especificaciones de entrada para el programa principal.

B.2 Lista de símbolos utilizados en el programa.

B.3 Listado del programa principal y de las subrutinas.

B.4 Descripción de subrutinas que integran el programa.

B. DESCRIPCION DEL PROGRAMA DE DESTILACION.

B.1 ESPECIFICACIONES DE ENTRADA PARA EL PROGRAMA PRINCIPAL..

a) NK

NK es el número de componentes.

b) NOAC, NOFUG, NODIM, NOEX Y NDIM.

NDIM : Es el número del componente dimerizado. Si una variable control es cero o negativa, la no idealidad es excluida.

NOAC : Coeficientes de Actividad.

NOFUG: Coeficientes de Fugacidad.

NODIM: Dimerización en fase vapor.

NOEX : Entalpía de exceso (por medio de los parámetros UNIQUAC en el inciso d).

c) NOMBRE DEL PROGRAMA.

Descripción del problema o sistema a resolver con el programa.

d) Entrada para el cálculo de No-idealidades (PARIN).

d.1.- Parámetro UNIDUAC. Solamente si NOAC es mayor que (CERO). Los datos son obtenidos como datos de salida del programa el cual calcula los parámetros UNIDUAC de UNIFAC.

La entrada es:

qk, rk y lk..

La matriz A(J,I) (también como $A^{(0)}_{j,i}$ I=1,NK; j=1,NK

La matriz B(J,I) (también como $A^{(1)}_{j,i}$ I=1,NK; j=1,NK

$$\tau_{j,i} = A^{(0)}_{j,i} = A^{(1)}_{j,i} * T$$

d.2.- Segundo Coeficiente Virial (solamente si NOFUG es mayor que cero). Para i = 1, NK :

$B_{1,j}(T_1)$, j = 1, NK .

$B_{1,j}(T_2)$. j = 1, NK .

Los segundos coeficientes viriales pueden ser basados en datos experimentales o pueden ser estimados de la correlación de Hayden O'Connell.

d3.- T1 (es la temperatura a la cual $B_{i,j}(T_1)$'s son calculados) y T2 (similarmente para $B_{i,j}(T_2)$).

T1 y T2 son en °K.

d.4.- A, B en la ecuación de dimerización (solamente si NODIM es mayor que cero).

e) ANT(K,J), K = 1,3.

ANT (K,J), son las tres constantes de Antoine para el componente J. Una linea por cada componente.

f) ENP(J,K), K = 1,4.

ENP(J,K), da la entalpia para el componente puro J. La entalpia es definida por una ecuación linearizada así es que la entalpia para el líquido se define como:

$$h = h_a + C_1 * t$$

Para el vapor es definido como:

$$H = H_a + C_v * t$$

K = 1 corresponde a h_a

K = 2 corresponde a C_1

K = 3 corresponde a H_a

K = 4 corresponde a C_v

La temperatura es denotada aquí por t, la cual esta referida a alguna temperatura estandard. En la lectura de estos parámetros, uno puede referirse a alguna temperatura estandard. Si C , C_v y H^* (el calor de evaporación en la temperatura estandard) son conocidos, los parámetros son definidos como siguen:

$$h_a = -C_1 * t_a$$

$$H_o = H^* - C_v \cdot t_o$$

donde t_o es la temperatura estandard, las unidades pueden ser unidades de energía/moles °C.

Una linea por cada componente.

g) NST, NFEED, NSL, NSV, NCON.

donde:

NST : Número de etapas, incluyendo el reboiler y condensador.

NFEED: Número de platos alimentados.

NSL : Número de corrientes laterales líquidas.

NSV : Número de corrientes laterales vapor.

NCON : Si NCON es cero, los cálculos paran.

h) DEST, RFLX, P, TT, TB.

DEST : Cantidad de destilado, moles/hora.

RFLX : Razón de reflujo.

P : Presión, atmósferas.

TT : Temperatura supuesta en el tope de la columna, °C.

TB : Temperatura supuesta en el fondo de la columna, °C.

i) KMU.

KMU = 0 < 0 : Una eficiencia de etapa Murphree es leída para cada componente.

KMU > 0 : Una eficiencia constante es leída.

j) Eficiencias de etapa Murphree, MUG o MU(I). FORMATO LIBRE.

j.1.- Si KMU es mayor o igual a cero, solamente una linea es leída (la eficiencia de etapa es constante).

j.2.- Si KMU es menor que 1.0, una linea puede ser leída para cada etapa (incluyendo el reboiler y condensador).

k) NF: Número del plato de alimentación.

1) TF(NF), FKV(NF), (FSTR(NF,J)), J=1,NKI.

TF(NF) es la temperatura de la alimentación en el plato NF.

FKV(NF) es la fracción de alimentación en el plato NF, el cual aparece como vapor (la especificación mas importante de estas dos especificaciones).

FSTR(NF,J), J=1,NK es la alimentación de cada componente sobre el plato NF.

Los incisos k y l son repetidos NFEED veces.

m) NF : Número del plato de la corriente lateral de líquido.

n) SL(NF): Líquido total en la corriente lateral (moles /hora) en el plato NF.

Los incisos m y n son repetidos NSL veces.

o) NF : Número de plato de la corriente lateral de vapor.

p) SV(NF): Vapor total de la corriente lateral (moles/hora)
en el plato NF.

Los incisos o y p son repetidos NSV veces.

El programa después del cálculo de la columna, regresa a las etapas del inciso g): NST, NFEED...

Todas las corrientes tienen las unidades de moles/hora, la temperatura en °C y las unidades de los parámetros para Antoine son en mm de Hg° y °C.

B.2 LISTA DE VARIABLES USADAS EN EL PROGRAMA.

a) PROGRAMA PRINCIPAL:

TMAX : Límite para correcciones de temperatura.

NK : Número de componentes.

NOAC : Si NOAC < 1.0, el coeficiente de Actividad es igual a 1.0.

NOFUG : Si NOFUG < 1.0, el Coeficiente de Fugacidad es igual a 1.0.

NODIM : Si NODIM < 1.0, la fase de no dimerización es incluida.

NOEX : Si NOEX< 1.0, la entalpia de exceso es igual a cero (0).

NKO : Es igual a NK (número de componentes).

NAVN : Aquí se puede escribir algún texto en el programa.

ANT(K,J) : Constantes de Antoine para el componente J.

ENP(K,J) : Parámetros de entalpia para el componente J.

NST : Número de etapas.

NFEED : Número de etapas alimentadas.

NSL : Número de corrientes laterales en fase líquida.

NSV : Número de corrientes laterales en fase vapor.

DEST : Cantidad de destilado.

RFLX : Razón de reflujo.

P : Presión total.

TT : Temperatura supuesta en el tope de la columna.

TB : Temperatura supuesta en el fondo de la columna.

KMU : Si KMU es mayor que cero, la eficiencia de etapa es asumida constante.

MU(I) : Eficiencia de etapa sobre la etapa I.

MUS : Eficiencia de etapa constante.

SV(I) : Corriente lateral de vapor sobre la etapa I.

SL(I) : Corriente lateral de líquido sobre la etapa I.

FKV(I) : Fracción de alimentación de vapor sobre la etapa I.

FSTR(I) : Alimentación total sobre la etapa I.

HF(I) : Entalpía de alimentación.

NF : Número de etapa alimentada (es también usada para otros propósitos).

TF(NF) : Temperatura de alimentación.

FSTR(I,J) : Alimentación del componente J sobre la etapa I.

FV(I) : Flujo total de vapor en la etapa I.

FL(I) : Flujo total de liquido en la etapa I.

FEED(J) : Alimentación total del componente J.

FEED(NK1) : Alimentación total.

BU : Productos en el fondo.

XDEST : Cantidad total de productos en corrientes laterales.

FVMAX : Límite para corrección de flujo de vapor.

FLMAX : Límite para corrección de flujo de líquido.

T(I) : Temperaturas sobre la etapa I.

FVV(I,J) : Flujo de vapor del componente J sobre la etapa I.

FLL(I,J) : Flujo de líquido del componente J sobre la etapa I.

XKF(I,J) : Factor de separación para el componente J sobre la etapa I.

DFK(I,J,K) : DFAC (I,J,K) de la subrutina KFAC.

D(I,J) : Función Discrepancia para el componente J sobre la etapa I ó correcciones para éstas.

BMAT(I,J,K) : B-matrices.

AMAT(I,J,K) : A-matrices.

CM(J,K) : Una matriz usada en GAUSL.

QQ : Limitación sobre variables.

RES : Suma de cuadrados de la Función Discrepancia.

PROD(1,J,K) : Corrientes de producto como líquido del componente J sobre la etapa I.

PROD(2,J,K) : Corrientes de producto como vapor del componente J sobre la etapa I.

FINM(1,I,J) : Fracción mol de líquido del componente J sobre la etapa I.

FINM(2,I,J) : Fracción mol de vapor del componente J sobre la etapa I.

b) SUBRUTINAS:

EXCES:

HE(I) : Contribución para hE a partir del componente I.

TE(I) : Temperatura de la etapa I.

X(J) : Fracción Mol del componente J.

Q(I) : Parámetro UNIQUAC del componente puro.

EXCOR:

DEX(I,J) : Calcula las Derivadas con respecto al flujo del componente liquido o de la temperatura.

MQUAC:

R(I), Q(I), XL(I), THETA(I), PARAM(I,J,K), PAR(J), THS(I) son parámetros UNIQUAC.

GAM(J) : Coeficientes de actividad del componente J.

FUG:

B11(I,J) : Segundo coeficiente virial a la temperatura T1.

B12(I,J) : Segundo coeficiente virial a la temperatura T2.

B1(I,J) : Segundo coeficiente virial a la temperatura T.

BMIX : Segundo coeficiente virial de mezcla.

FI(J) : Coeficiente de fugacidad del componente J.

ZNOD : Corrección de la fase vapor para componentes no dimerizados.

ZDIM : Corrección de la fase vapor para componentes dimerizados.

ONEDI:

ZDI : Factor de corrección para los componentes dimerizados.

ZNODT : Factor de corrección para los componentes no dimerizados.

KFAC:

PAR(J) : Presión parcial del componente.

$YY(J)=Y(J)$: Fracción mol del componente J en la fase vapor.

$XX(J)$: Fracción mol del componente J en la fase liquida.

$XKF(I<J)$: Relación de equilibrio del componente J en la etapa I.

$DFAC(I,J,K)$: Derivadas del factor K con respecto a las razones de flujo liquido y vapor asi como con la temperatura.

ENT:

$H_L(I)$: Entalpia de la fase liquida en la etapa I.

$H_V(I)$: Entalpia de la fase vapor en la etapa I.

$H_{VV}(I,J)$: Entalpia de la fase vapor del componente J en la etapa I.

$H_{LL}(I,J)$: Entalpia de la fase liquida del componente J en la etapa I.

$C_V(I),C_L(I)$: Derivadas de la entalpia con respecto a la temperatura.

PARIN:

A : A en la expresión $\neg \logio K A = A - B/T$

BX : B en la misma expresión anterior.

YY(J)=Y(J) : Fracción mol del componente J en la fase vapor.

XX(J) : Fracción mol del componente J en la fase líquida.

XKF(I<J) : Relación de equilibrio del componente J en la etapa I.

DFAC(I,J,K): Derivadas del factor K con respecto a las razones de flujo líquido y vapor así como con la temperatura.

ENT:

HL(I) : Entalpía de la fase líquida en la etapa I.

HV(I) : Entalpía de la fase vapor en la etapa I.

HVV(I,J) : Entalpía de la fase vapor del componente J en la etapa I.

HLL(I,J) : Entalpía de la fase líquida del componente J en la etapa I.

CV(I),CL(I) : Derivadas de la entalpía con respecto a la temperatura.

B.3 LISTADO DEL PROGRAMA PRINCIPAL PARA EL CALCULO DE COLUMNAS
DE DESTILACION Y DE LAS SUBRUTINAS UTILIZADAS.

```
1 $CONTROL USLIMIT,FILE=05,FILE=07
2   PROGRAM NAPHTALI
3     IMPLICIT REAL(K)
4     DIMENSION FLMAX(5),FVMAX(5)
5     DIMENSION PFOD(2,30,5)
6     DIMENSION FEED(6),FLC(30),FV(30),FK(30,5),FLL(30,5),TC(30)
7     DIMENSION FVV(30,5),HV(30),HL(30),CV(30),CL(30),HVV(30,5),HLL(30,5)
8     #,HFC(30),TFC(30)
9     DIMENSION AMAT(11,11),BMAT(30,11,11),D(30,11)
10    DOUBLE PRECISION CM(11,22)
11    DIMENSION SLC(30),SV(30),FVK(30),FSTR(30,6),DFK(30,5,11)
12    DIMENSION ANTC(3,5),NAVM(20)
13    DIMENSION MUC(30)
14    DIMENSION HHE(30),DEMHC(30,6)
15    DIMENSION FINM(2,30,5)
16    DIMENSION ANTM(2,5)
17    COMMON/NAPHT/HDIM,NOAC,NOFUG,NOEX,NK(5),P(5),XL(5),PHRAM(5,5,2),E
18    #NP(5,4),B11(5,5),B12(5,5),T1,T2,A,BX,HODIM
19    C TMAX ES LA MAXIMA VARIACION DE TEMPERATURA ENTRE LAS ITERACIONES
20    TMAX=10.
21    READ(5,*)NK
22    C SI LAS CONSTANTES DE ABAJO SON MAS GRANDES QUE CERO, RESPECTIVAMENTE LOS COEFICIENTES DE ACTIVIDAD, LOS COEFICIENTES DE FUGACIDAD, LA
23    C #IMERIZACION EN FASE VAPOR, Y LA ENERGIA DE EXCESO SERA CALCULADA
24    C HDIM ES EL NUMERO DE COMPONENTES DIMERIZANTES
25    C READ(5,*)NOAC,NOFUG,NOEX,NHDIM
26    NK0=NK
27    NK1=NK+1
28    NK2=2 * NK + 1
29    NK11=NK1+1
30    NK21=NK2-1
31    C LEE LOS PARAMETROS UNIQUAC
32    CALL FARIN(HAVN)
33    WRITE(7,12)NAVH
34    12 FORMAT(1H1,20A3)
35    IF (NOAC.GT.0) WRITE(7,801)
36    801 FORMAT(/," INCLUYENDO COEFICIENTES DE ACTIVIDAD      ")
37    IF (NOFUG.GT.0) WRITE(7,802)
38    802 FORMAT(/," INCLUYENDO COEFICIENTES DE FUGACIDAD      ")
39    IF (NODIM.GT.0) WRITE(7,803)
40    803 FORMAT(/," INCLUYENDO DIMERIZACION          ")
41    IF (NOEX.GT.0) WRITE(7,804)
42    804 FORMAT(/," INCLUYENDO EXCESOS DE ENERGIA      ")
43    DO 17 J=1,NK
44    17 READ(5,*) (ANTC(J,K),K=1,3)
45    DO 19 J=1,NK
46    ANTC(1,J)=ANTC1,J)
47    ANTC(1,J)=2.302585*(ANTC(1,J)-2.980814)
48    ANTC(2,J)=ANTC2,J)
49    ANTC(2,J)=2.302585*ANTC2,J)
50    19 DO 1 J=1,NK
51    1 READ(5,*) (ENP(J,K),K=1,4)
52    C LEE ESPECIFICACIONES DE LA COLUMNA
53    READ(5,*) NST,NFEED,NSL,NSV,NCOH
54    IF (NCOH.EQ.0) GO TO 555
55    READ(5,*) DEST,RFLX,P,TT,TE
56    READ(5,*) KMU
57
```

```

58      IF(KNU) 1001,1001,1002
59 1001  CONTINUE
60      DO 1000 I=2,NST
61      READ(5,*) MUC(I)
62      GO TO 1004
63 1002  READ(5,*) MUS
64      DO 1005 I=2,NST
65      MUC(I)=MUS
66 1004  CONTINUE
67      MUC(I)=1.
68      DO 200 I=1,NST
69      SL(I)=0.
70      SV(I)=0.
71      FKVC(I)=0.
72      FSTR(I,NK1)=0.
73      DO 200 J=1,NK
74 200   FSTR(I,J)=0.
75      DO 1010 I=1,NST
76      HF(I)=0.
77      DO 201 I=1,NFEED
78      READ(5,*) NF
79      READ(5,*) TF(NF),FKV(NF),(FSTR(NF,J),J=1,NK)
80      DO 201 J=1,NK
81      HF(NF)=HF(NF)+FSTR(NF,J)*(FKV(NF)*(ENPC(J,3)+ENPC(J,4)*TF(NF)))+(1.-F
82      #KV(NF))*(ENPC(J,1)+ENPC(J,2)*TF(NF)))
83 201   FSTR(NF,NK1)=FSTR(NF,NK1)+FSTR(NF,J)
84      IF(NSL.EQ.0) GO TO 203
85      DO 203 I=1,NSL
86      READ(5,*) NF
87      READ(5,*) SL(NF)
88 203   IF(NSV.EQ.0) GO TO 204
89      DO 205 I=1,NSV
90      READ(5,*) NF
91      READ(5,*) SV(NF)
92      C EL FLUJO TOTAL ES ESTIMADO POR LA SUPOSICION DE FLUJO CONSTANTE
93      C DE ESTADO A ESTADO EN CADA SECCION DE LA COLUMNA.
94 204   FVN(ST)=DEST
95      FL(NST)=DEST=RFLX
96      FVN(ST)=FL(NST)-FSTR(NST,NK1)+SV(NST)+SL(NST)+DEST
97      DO 210 I=1,NST
98      IF(NST.LE.2) GO TO 210
99      I=NST-2+1
100     FL(I)=FL(I+1)-SL(I)+(1.-FKVC(I))*FSTR(I,NK1)
101     FVC(I-1)=FVC(I)+SV(I)-FKVC(I)*FSTR(I,NK1)
102 210   CONTINUE
103     FL(I)=FL(2)-SL(I)+(1.-FKVC(I))*FSTR(I,NK1)
104     FL(I)=FL(I)-FVC(I)
105     DO 211 J=1,NK1
106     FEED(J)=0.
107     DO 211 I=1,NST
108     FEED(J)=FEED(J)+FSTR(I,J)
109     BU=0.
110     DO 212 J=1,NKD
111     BU=BU+FEED(J)
112     XDEST=0.
113     DO 213 I=1,NST
114     XDEST=XDEST+SV(I)+SL(I)

```

```

115      BU=BU-DEST-XDEST
116      WRITE(7,18)
117      18 FORMAT(//,"COMPOSICION DE ALIMENTACION Y PARAMETROS DE ANTOINE",//)
118      WRITE(7,23) (J,FEED(J),ANTH(1,J),ANTH(2,J),ANTH(3,J),J=1,NK)
119      23 FORMAT(I3,F12.3,5X,F12.3)
120      DO 24 J=1,NK
121      FVMAXC(J)=FEED(J)*RFLX
122      24 FLMAXC(J)=FEED(J)*RFLX
123      WRITE(7,16)NST,DEST,RFLX,P
124      16 FORMAT(//," NUMERO DE ETAPAS ",I9," DESTILADO ",F12.3//," RELACIO
125      #N DE REFLUJO ",F15.6//," PRESION TOTAL ",F12.3//)
126      WRITE(7,215)
127      215 FORMAT(//," CONFIGURACION DE FLUJO ",//," I   FL   FV
128      #  SL   SV   FKV   CORRIENTES DE ALIMENTACION",//)
129      DO 216 I=1,NST
130      216 WRITE(7,217) I,FLC(I),FKV(I),SL(I),SV(I),FVK(I),FSTRC(I,J),J=1,NK
131      217 FORMAT(I3,3X,I0F8.1)
132      DO 26 I=1,NST
133      T(I)=TB*(I-1)*(TT-TB)/NST
134      DO 3 I=1,NST
135      DO 3 J=1,NK
136      FVVC(I,J)=FEED(J)/FEED(NK1)+FVK(I)
137      3 FLLC(I,J)=FEED(J)/FEED(NK1)+FLC(I)
138      500 CALL KFRCC(NST,NKO,T,RHT,P,FLL,FVV,XFK,DFK)
139      CALL ENTC(NST,T,FLL,FVV,HLL,HVV,HL,HV,CL,CV)
140      CALL EXCES(NST,T,FLL,HHE)
141      CALL EXCOR(NST,T,FLL,DEXH)
142      DO 30 I=1,NST
143      DO 31 J=1,NKO
144      D(I,J)=FVVC(I,J)*(1.+SV(I)/FVK(I))+FLLC(I,J)*(1.+SL(I)/FLC(I))-FSTRC(I,
145      #J)
146      IF(I.GT.1)D(I,J)=D(I,J)-FVVC(I-1,J)
147      IF(I.LT.NST) D(I,J)=D(I,J)-FLLC(I+1,J)
148      31 CONTINUE
149      DO 32 J=NK1,NK2
150      K=J-NKO
151      D(I,J)=MUC(I)*XFKC(I,K)*FVK(I)*FLLC(I,K)/FLC(I)-FVVC(I,K)
152      IF(I.GT.1) D(I,J)=D(I,J)-(1.-MUC(I))*FVVC(I-1,K)*FVK(I)/FVK(I-1)
153      32 CONTINUE
154      IF(I.EQ.1) GO TO 27
155      IF(I.EQ.NST) GO TO 28
156      D(I,NK2)*(1.+SV(I)/FVK(I))=HVK(I)*(1.+SL(I)/FLC(I))+HLC(I)-HFC(I)-HVC(I-
157      #1)-HLC(I+1)*(FLC(I)+SL(I))+HHE(I)-FLC(I+1)*HHE(I+1)
158      GO TO 29
159      27 D(I,NK2)=BU
160      DO 101 J=1,NKO
161      101 D(I,NK2)=D(I,NK2)-FLLC(I,J)
162      GO TO 29
163      28 D(I,NK2)=RFLX*DEST
164      DO 102 J=1,NKO
165      102 D(I,NK2)=D(I,NK2)-FLL(NST,J)
166      GO TO 29
167      29 CONTINUE
168      30 CONTINUE
169      DO 40 I=1,NST
170      DO 41 J=1,NKO
171      DO 42 K=1,NKO

```

```
172      42    BMAT(I,J,K)=-FLC(I,J)*SL(I)/(FLC(I)**2)
173      42    BMAT(I,J,J)=BMAT(I,J,J)*(FLC(I)*SL(I))/FLC(I)
174      42    BMAT(I,J,NK1)=0,
175      43    DO 43 KK=NK11,NK2
176      43    K=KK-NK1
177      43    BMAT(I,J,KK)=-FVVC(I,J)*SV(I)/(FV(I)**2)
178      43    BMAT(I,J,J+NK1)=BMAT(I,J,J+NK1)*(1.+SV(I))/FV(I))
179      41    CONTINUE
180      41    DO 44 JJ=NK11,NK21
181      41    J=JJ-NK1
182      42    DO 45 K=1,NKO
183      45    BMAT(I,JJ,K)=MUC(I)*FV(I)*FLL(I,J)/FLC(I)*(DFK(I,J,K)-XFK(I,J)/FLC(I)
184      45    )
185      45    BMAT(I,J+NKO,J)=BMAT(I,J+NKO,J)+MUC(I)*FV(I)*XFK(I,J)/FLC(I)
186      45    BMAT(I,JJ,NK1)=MUC(I)*FV(I)*FLL(I,J)/DFK(I,J,NK1)/FLC(I)
187      46    DO 46 KK=NK11,NK2
188      46    K=K-NK1
189      46    BMAT(I,JJ,KK)=MUC(I)*FLL(I,J)*(XFK(I,J)+DFK(I,J,KK)*FV(I))/FLC(I)
190      46    IF(I.GT.1) BMAT(I,JJ,KK)=BMAT(I,JJ,KK)+(1.-MUC(I))*FVVC(I-1,J)/FV(I-
191      46    B1)
192      46    BMAT(I,J+NKO,J+NK1)=BMAT(I,J+NKO,J+NK1)-1.
193      44    CONTINUE
194      44    IF(I.EQ.1) GO TO 103
195      44    IF(I.EQ.NST) GO TO 103
196      47    DO 47 K=1,NKO
197      47    BMAT(I,NK2,K)=-HLC(I)*SL(I)/(FLC(I)**2)+(1.+SL(I))/FLC(I)*HLL(I,K)+HH
198      47    BE(I)+(FLC(I)*SL(I))*DEKH(I,K)
199      47    BMAT(I,NK2,NK1)=CVCI*(1.+SV(I))/FV(I)*CL(I)*(1.+SL(I))/FLC(I)+(FLC
200      47    I)*SL(I)*DEXHL(NK1)
201      48    DO 48 KK=NK11,NK2
202      48    K=KK-NK1
203      48    BMAT(I,NK2,KK)=-HV(I)*SV(I)/(FV(I)**2)+(1.+SV(I))/FV(I)*HVVC(I,K)
204      49    GO TO 104
205      103   DO 105 K=1,NK2
206      105   BMAT(I,NK2,K)=0.
207      106   DO 106 K=1,NKO
208      106   BMAT(I,NK2,K)=-1.
209      104   CONTINUE
210      40    CONTINUE
211      40    DO 74 J=1,NK2
212      40    DO 74 K=1,NK2
213      74    AMAT(J,K)=0.
214      74    DO 70 J=1,NKO
215      70    AMAT(J,J+NK1)=-1,
216      70    AMAT(NK2,NK1)=-CVCI
217      70    YX*(1-MUC(2))*FVC2)/(FV(I)**2)
218      70    DO 71 JJ=NK11,NK21
219      70    J=JJ-NK1
220      70    DO 72 KK=NK11,NK2
221      70    K=KK-NK1
222      72    AMAT(JJ,KK)=-YX*FVVC1,J)
223      71    AMAT(J+NKO,J+NK1)=AMAT(J+NKO,J+NK1)+YX*FVC1>
224      70    DO 73 KK=NK11,NK2
225      70    K=KK-NK1
226      73    AMAT(NK2,KK)=-HVVC(1,K)
227      73    DO 57 I=1,NST
228      73    DO 57 J=1,NK2
```

```

229      57    DC(I,J)=DC(I,J)
230      DO 50 I=2,NST
231      J1
232      DO 51 J=1,NK2
233      DO 51 K=1,NK2
234      51    CM(J,K)=BMAT(I-1,K,J)
235      DO 52 K=1,NK2
236      KK=K+NK2
237      59    CM(J,KK)=AMAT(K,J)
238      52    CONTINUE
239      DO 84 J=1,NK2
240      DO 84 K=1,NK2
241      84    AMAT(J,K)=0,
242      IF(I.EQ.NST) GO TO 85
243      DO 80 J=1,NKO
244      80    AMAT(J,J+NK1)=-1,
245      DO 81 JJ=NK1,NK2
246      J=JJ-NKO
247      DO 82 KK=NK11,NK2
248      K=KK-NK1
249      X<1.-NU(I+1)>*FV(I+1)/(FV(I)**2)
250      82    AMAT(J,KK)=-X*FV(I,J)
251      81    AMAT(J,NKO,J+NK1)=AMAT(J+NKO,J+NK1)+X*FV(I)
252      IF(I.EQ.NST-1) GO TO 85
253      AMAT(NK2,NK1)=-CV(I)
254      DO 83 KK=NK11,NK2
255      K=KK-NK1
256      83    AMAT(NK2,KK)=-HV(I,K)
257      85    CONTINUE
258      CALL GAUSL(11,22,NK2,NK2,CM)
259      DO 53 J=1,NK2
260      DO 53 K=1,NK2
261      KK=NK2+K
262      CM(K,J)=CM(J,KK)
263      53    CONTINUE
264      DO 54 J=1,NK2
265      DO 54 K=1,NKO
266      IF(I.EQ.2) BMAT(I,J,K)=BMAT(I,J,K)+CM(J,K)
267      IF(I.EQ.2) GO TO 58
268      BMAT(I,J,K)=BMAT(I,J,K)+CM(J,K)+CM(J,NK2)*(HLL(I,K)+HHE(I))+FL(I)*D
269      *EXH(I,K)
270      58    CONTINUE
271      54    CONTINUE
272      IF(I.EQ.2) GO TO 150
273      DO 55 J=1,NK2
274      55    BMAT(I,J,NK1)=BMAT(I,J,NK1)+CM(J,NK2)*(CL(I)+FL(I))*DEXH(I,NK1))
275      150   CONTINUE
276      DO 56 J=1,NK2
277      DO 56 K=1,NK2
278      56    D(I,J)=D(I,J)-CM(J,K)*D(I-1,K)
279      50    CONTINUE
280      DO 60 KK=1,NST
281      I=NST+I-KK
282      DO 61 J=1,NK2
283      CM(J,NK2+1)=DC(I,J)
284      DO 61 K=1,NK2
285      61    CM(J,K)=BMAT(I,J,K)

```

```

286      IF(I-NST).GT.62,63,63
287      62      DO 64 J=1,NKO
288      64      CM(J,NK2+1)=CM(J,NK2+1)+D(I+1,J)
289      IF(I.EQ.1) GO TO 63
290      DO 65 J=1,NKO
291      65      CM(NK2,NK2+1)=CM(NK2,NK2+1)+D(I+1,J)+(HLL(I+1,J)+HHE(I+1))+FL(I+1)*
292      #DEXHC(I+1,J))
293      CM(NK2,NK2+1)=CM(NK2,NK2+1)+D(I+1,NKI)+CCL(I+1)+FL(I+1)*DEXHC(I+1,N
294      #K1))
295      63      CALL GAUSL(11,22,NK2,1,CM)
296      DO 65 J=1,NK2
297      66      D(I,J)=CM(J,NK2+1)
298      DO 67 J=1,NKO
299      67      D(I,J)=0.0
300      IF(ABS(D(I,J))-FLMAX(J)).LT.222.222.223
301      223      QQ=FLMAX(J)/ABS(D(I,J))
302      222      CONTINUE
303      67      FLL(I,J)=FLL(I,J)+QQ*D(I,J)
304      67      QQ=1.
305      IF(ABS(D(I,NKI))-TMAX).LT.233.233.234
306      234      QQ=TMAX/ABS(D(I,NKI))
307      233      CONTINUE
308      T(I)>T(I)+D(I,NKI)*QQ
309      DO 68 JJ=NK11,NK1
310      68      J=JJ-NK1
311      QQ=1.
312      IF(ABSC(D(I,JJ))-FVMAX(JJ)).LT.243.243.244
313      244      QQ=FVMAX(JJ)/ABSC(D(I,JJ))
314      243      CONTINUE
315      68      FVVK(I,J)=FVVK(I,J)+D(I,JJ)*QQ
316      DO 1121 J=1,NKO
317      1121     IF(FLL(I,J).LT.121.121.122
318      121      FLL(I,J)=0.0001
319      122      CONTINUE
320      122      IF(FVVK(I,J).LT.131.131.132
321      131      FVVK(I,J)=0.0001
322      132      CONTINUE
323      1121     CONTINUE
324      60      CONTINUE
325      DO 90 I=1,NST
326      FLC(I)=0.
327      FV(I)=0.
328      DO 90 J=1,NKO
329      FLC(I)=FLC(I)+FLL(I,J)
330      90      FV(I)=FV(I)+FVVK(I,J)
331      WRITE(7,21)
332      21      FORMAT(//," ETAPA TEMP. FLUJO TOTAL FLUJO POR COMPONENTE"
333      "# TODOS SON LIQUIDOS",//)
334      DO 1021 I=1,NST
335      WRITE(7,22) I,T(I),FLC(I),(FLL(I,J),J=1,NKO)
336      1021    CONTINUE
337      22      FORMAT(14.F9.2,F12.2,SX,5F12.3)
338      WRITE(7,323)
339      323      FORMAT(//," ETAPA TEMP. FLUJO TOTAL FLUJO POR COMPONENTE (TOD
340      #OS SON VAPOR)",//)
341      DO 1022 I=1,NST
342      WRITE(7,324) I,T(I),FV(I),(FVVK(I,J),J=1,NKO)
343

```

```

343 1022 CONTINUE
344 324 FORMAT(I4,F9.2,F12.2,5X,5F12.3)
345      RES=0.
346      DO 501 I=1,NST
347      DD 501 J=1,NK2
348 501 RES=RES+D(I,J)*#2
349      WRITE(7,502) RES
350 502 FORMAT(//," RESIDUO = ",E12.3)
351      IF(ABS(RES)-.1)>600,600,500
352 600 DD 612 I=1,NST
353      DO 612 J=1,NK
354      PROD(1,I,J)=FLL(I,J)*SLC(I)/FLC(I)
355 612 PROD(2,I,J)=FVV(I,J)*SV(I)/FV(I)
356      DO 611 J=1,NKO
357      PROD(1,I,J)=FLL(1,J)
358 611 PROD(2,NST,J)=FVV(NST,J)
359      DO 613 K=1,2
360      IF(K,EQ,1) WRITE(7,614)
361      IF(K,EQ,2) WRITE(7,615)
362 614 FORMAT(//," FLUJO DE PRODUCTO,FASE LIQUIDA",/)
363 615 FORMAT(//," FLUJO DE PRODUCTO,FASE VAPOR",/)
364      DO 613 I=1,NST
365 613 WRITE(7,605) I,(PROD(K,I,J),J=1,NKO)
366 605 FORMAT(I4,7X,BF10.3)
367      WRITE(7,603)
368 603 FORMAT(//," PERFILE DEL FACTOR K EN LA COLUMNA ",//)
369      DO 604 I=1,NST
370 604 WRITE(7,605) I,(XFK(I,J),J=1,NKO)
371      DO 720 I=1,NST
372      XT=0.
373      YT=0.
374      DO 721 J=1,NK
375      XT=XT+FLL(I,J)
376 721 YT=YT+FVV(I,J)
377      DO 720 J=1,NK
378      FINM(1,I,J)=FLL(I,J)/XT
379 720 FINM(2,I,J)=FVV(I,J)/YT
380      DO 722 K=1,2
381      IF(K,EQ,1) WRITE(7,723)
382      IF(K,EQ,2) WRITE(7,724)
383 723 FORMAT(//," PERFILE DE FRACCION MOL EN LA COLUMNA(FASE LIQUIDA)",/)
384 724 FORMAT(//," PERFILE DE FRACCION MOL EN LA COLUMNA(FASE VAPOR)",/)
385      DO 722 I=1,NST
386 722 WRITE(7,605) I,(FINM(K,I,J),J=1,NKO)
387      CALL EHCK(NST,T,FLL,FVV,HLL,HHV,HL,HV,CL,CV)
388      QC=HV(NST-1)-HL(NST)-HV(NST)
389      QR=HV(1)+HL(1)-HL(2)
390      WRITE(7,725) QR
391      WRITE(7,726) QC
392 725 FORMAT(//," EL CALOR A SER ALIMENTADO AL REBOILER ES ",E12.4,"(CAL
393 #/HR)",/)
394 726 FORMAT(//," EL CALOR A SER REMOVIDO POR EL CONDENSAZADOR ES ",E12.4,
395 # "(CAL/HR)",/)
396      CONTINUE
397 555 STOP
398      END
399      SUBROUTINE HOURCK(TEMP,X,GAM)

```

```

400      DIMENSION X(5),GAM(5),THETA(5),PHI(5),THS(5),PAR(5,5),
401      COMMON//NAPH//NDIM,NOAC,NOFUG,NOEX,NK,Q(5),R(5),XL(5),PARAM(5,5,2),E
402      #NP(5,4),BI1(5,5),BI2(5,5),T1,T2,A,BX,NDIM
403      IF(NOAC.LT.1) GO TO 5
404      THETS=0.
405      PHS=0.
406      XLS=0.
407      DO 6 I=1,NK
408      THETS=THETS+Q(I)*X(I)
409      PHS=PHS+R(I)*X(I)
410      6 XLS=XLS+XL(I)*X(I)
411      DO 7 I=1,NK
412      THETA(I)=Q(I)*X(I)/THETS
413      7 PHI(I)=X(I)*R(I)/PHS
414      DO 8 I=1,NK
415      THS(I)=0.
416      DO 8 J=1,NK
417      PARC(J,I)=PARAM(J,I,1)+TEMP*PARAM(J,I,2)
418      8 THS(I)=THS(I)+THETA(J)*PARC(J,I)
419      DO 10 I=1,NK
420      GA=ALOG(R(I)/PHS)+5.*Q(I)*ALOG(Q(I)/R(I))/PHS/THETS
421      GA=GA+XL(I)-R(I)/PHS/XLS
422      GB=1.-ALOG(THS(I))
423      DO 11 J=1,NK
424      GB=GB-THETA(J)*PARC(I,J)/THS(J)
425      10 GAM(I)=EXP(GA+Q(I)*GB)
426      GO TO 4
427      5 DO 3 J=1,NK
428      3 GAM(J)=1.
429      4 CONTINUE
430      RETURN
431      END
432      SUBROUTINE PARIN(NAME)
433      DIMENSION NAME(20)
434      COMMON//NAPH//NDIM,NOAC,NOFUG,NOEX,NK,Q(5),R(5),XL(5),PARAM(5,5,2),E
435      #NP(5,4),BI1(5,5),BI2(5,5),T1,T2,A,BX,NDIM
436      READ(5,1)NAME
437      1 FORMAT(20A3)
438      IF(NOAC.LT.1) GO TO 4
439      DO 5 I=1,NK
440      5 READ(5,*) Q(I),R(I),XL(I)
441      DO 10 K=1,2
442      DO 10 I=1,NK
443      10 READ(5,*) (PARAM(I,J,K),J=1,NK)
444      4 CONTINUE
445      IF(NOFGU.LT.1) GO TO 6
446      DO 7 I=1,NK
447      READ(5,*) (BI1(I,J),J=1,NK)
448      7 READ(5,*) (BI2(I,J),J=1,NK)
449      READ(5,*) T1,T2
450      6 CONTINUE
451      IF(NDIM.LT.1) GO TO 9
452      READ(5,*) A,BX
453      9 CONTINUE
454      RETURN
455      END
456      SUBROUTINE EXCOR(NST,TEM,FLL,DEX)

```

```

457      DIMENSION FLM(30,5),FLL(30,5),TEM(30),HEX(30),TERMX(30),DEXX
458      #30,6)
459      COMMON/NAPH/NDIM,NOAC,NOFUG,NOEX,NK,O(5),R(5),XL(5),PARAM(5,5,2),E
460      #NPC(5,4),B11(5,5),B12(5,5),T1,T2,A,BX,NODIM
461      NK1=NK+1
462      IF(NODEX.LT.1) GO TO 5
463      CALL EXCES(HST,TEM,FLL,HE)
464      DO 1 J=1,NK
465      DO 2 I=1,NST
466      DO 8 K=1,NK
467      8   FLM(I,K)=FLL(I,K)
468      2   FLM(I,J)=FLL(I,J)+1.
469      CALL EXCES(HST,TEM,FLM,HEX)
470      DO 1 I=1,NST
471      1   DEX(I,J)=HEX(I)-HE(I)
472      DO 3 I=1,NST
473      3   TEMX(I)=TEM(I)+20.
474      CALL EXCES(HST,TEMX,FLL,HEX)
475      DO 4 I=1,NST
476      4   DEX(I,NK+1)=(HEX(I)-HE(I))/20.
477      GO TO 7
478      5   DO 6 I=1,NST
479      6   DO 6 J=1,NK1
480      6   DEX(I,J)=0.
481      7   CONTINUE
482      RETURN
483      END
484      SUBROUTINE ENT(NST,T,FLL,FVV,HLL,HVV,HL,HV,CL,CV)
485      DIMENSION TC(30),FLL(30,5),FVV(30,5),HLL(30,5),HV(30,5),HL(30),HVC
486      #30),CL(30),CV(30)
487      COMMON/NAPH/NDIM,NOAC,NOFUG,NOEX,NK,O(5),R(5),XL(5),PARAM(5,5,2),E
488      #NPC(5,4),B11(5,5),B12(5,5),T1,T2,A,BX,NODIM
489      DO 3 I=1,NST
490      HL(I)=0.
491      HV(I)=0.
492      CL(I)=0.
493      CV(I)=0.
494      DO 3 J=1,NK
495      HLL(I,J)=ENP(J,1)+ENP(J,2)*T(I)
496      HVV(I,J)=ENP(J,3)+ENP(J,4)*T(I)
497      HL(I)=HLC(I)+HLL(I,J)*FLL(I,J)
498      HV(I)=HVC(I)+HV(1,J)*FVV(1,J)
499      CL(I)=CL(I)+ENP(J,2)*FLL(I,J)
500      3   CV(I)=CV(I)+ENP(J,4)*FVV(I,J)
501      RETURN
502      END
503      SUBROUTINE EXCES(HST,ATE,FLL,HE)
504      DIMENSION TE(30),X(5),THETAK(5),HFAC(5),HHFAC(5),HE(30),FLL(30,5),HM
505      #30),ATE(30)
506      COMMON/NAPH/NDIM,NOAC,NOFUG,NOEX,NK,O(5),R(5),XL(5),PARAM(5,5,2),E
507      #NPC(5,4),B11(5,5),B12(5,5),T1,T2,A,BX,NODIM
508      IF(NODEX.LT.1) GO TO 7
509      DO 11 I=1,NST
510      HE(I)=0.
511      11  TE(I)=ATE(I)+273.16
512      DO 10 K=1,NST
513      XT=0.

```

```

514      DO 5 J=1,NK
515      5 XT=XT+FLL(K,J)
516      DO 6 J=1,NK
517      6 XC(J)=FLL(K,J)/XT
518      THETS=0.
519      DO 1 I=1,NK
520      1 THETS=THETS+Q(I)*XC(I)
521      DO 2 J=1,NK
522      2 THETA(J)=Q(J)*XC(J)/THETS
523      DO 3 I=1,NK
524      HFAC(I)=0.
525      HHFAC(I)=0.
526      DO 3 J=1,NK
527      HFAC(I)=HFAC(I)+THETA(J)*(PARAM(J,I,1,1)+PARAM(J,I,2)+TE(K))+ALOG(PA
528      *RAM(J,I,1,1)+PARAM(J,I,2)+TE(K))
529      3 HHFAC(I)=HHFAC(I)+THETA(J)*(PARAM(J,I,1,1)+PARAM(J,I,2)+TE(K))
530      DO 4 I=1,NK
531      4 HM(I)=Q(I)*XC(I)+HFAC(I)/HHFAC(I)
532      DO 12 I=1,NK
533      12 HEK(I)=HEK(I)-1.9872*TE(K)+HM(I)
534      10 CONTINUE
535      GO TO 9
536      7 DO 8 I=1,NST
537      8 HEK(I)=0.
538      9 CONTINUE
539      RETURN
540      END
541      SUBROUTINE OHEDI(P,ATEM,Y,AKA,ZDI,ZHODI)
542      COMMON/NAPH/NDIM,NOAC,NOFUG,NOEX,NK,Q(5),R(5),XL(5),PARAM(5,5,2),E
543      *NP(5,4),BI1(5,5),BI2(5,5),T1,T2,A,BX,NDIM
544      IF(Y-0.0001) 1,1,2
545      2 AKA=EXP((2.880814-A-BX/ATEM)*2.302585)
546      AKOR=4.*AKA*P*Y*(2.-Y)
547      ZDI=(SQRT(1.+AKOR)-1.)*2./AKOR
548      ZHODI=2.*((1.-Y*SQRT(1.+AKOR))/((2.-Y)/(1.+SQRT(1.+AKOR)))
549      GO TO 3
550      1 ZDI=1.
551      ZHODI=1.
552      3 CONTINUE
553      RETURN
554      END
555      SUBROUTINE FUG(TT,P,Y,FI,PAR)
556      DIMENSION Y(5),FIFAC(5),FI(5),BC(5,5),PAR(5)
557      COMMON/NAPH/NDIM,NOAC,NOFUG,NOEX,NK,Q(5),R(5),XL(5),PARAM(5,5,2),E
558      *NP(5,4),BI1(5,5),BI2(5,5),T1,T2,A,BX,NDIM
559      IF(NOFGU.LT.1) GO TO 7
560      DO 4 I=1,NK
561      DO 4 J=1,NK
562      4 BC(I,J)=BI1(I,J)+(BI2(I,J)-BI1(I,J))/(T2-T1)+(TT-T1)
563      BMIX=0.
564      DO 1 I=1,NK
565      DO 1 J=1,NK
566      1 BMIX=BMIX+Y(I)*Y(J)*BC(I,J)
567      DO 2 J=1,NK
568      2 FIFAC(J)=0.
569      DO 3 J=1,NK
570      3 K=1,NK

```

```

571   3      FIFAC(J)=FIFAC(J)+Y(K)*B(J,K)
572   4      DO 10 J=1,NK
573   5      IF(J>EXP(.2.*FIFAC(J)-BMIN)+P/82.05/TT-B(J,J)+PAR(J)+P/82.05/TT)
574   6      IF(NODIM,LT,1) GO TO 6
575   7      DO 9 J=1,NK
576   8      IF(J>1,
577   9      IF(NODIM,LT,1) GO TO 6
578   0      CONTINUE
579   1      IF(NODIM.GT.0) CALL QHEDIC(P,TT,Y(NODIM),AK,ZDIM,ZNOD)
580   2      DO 5 J=1,NK
581   3      IF(J>FIC(J)*ZNOD
582   4      IF(NODIM)>ZDIM
583   5      CONTINUE
584   6      RETURN
585   7      END
586   8      SUBROUTINE KFAC(NST,NKO,T,AUT,P,FLL,FVV,XKF,DFAC)
587   9      DIMENSION XKF(30,5),DFAC(30,5,11)
588  0      DIMENSION T(30),AUT(3,5),FLL(30,5),PAR(5),XX(5),GAM(5),GAMX(5)
589  1      DIMENSION FVV(30,5),YY(5),Y(5),FIC(5),FIX(5),FIXM(5)
590  2      COMMON/HAPR/NDIM,NOAC,HOFUG,NOEX,NK,DCS,R(5),XL(5),PARAM(5,5,2),E
591  3      WNP(5,4),B1(5,5),B12(5,5),T1,T2,A,BK,NODIM
592  4      NK1=IKO+1
593  5      DO 10 I=1,NST
594  6      XT=0,
595  7      YT=0,
596  8      DO 11 J=1,NKO
597  9      YT=YT+FVV(I,J)
598  0      XT=XT+FLL(I,J)
599  1      PARC(J)=EXP(AUT(I,J)-AUT(2,J)/(T(I)+AUT(3,J)))/P
600  2      DO 12 J=1,NKO
601  3      YY(J)=FVV(I,J)/YT
602  4      YC(J)=YY(J)
603  5      DO 13 J=1,NKO
604  6      XK(J)=FLL(I,J)/XT
605  7      CALL MOUAC(T(I)+273.16,XX,GAM)
606  8      IF(NODIM.GT.0) CALL QHEDIC(P,T(I)+273.16,Y(NODIM),AK,ZDIM,ZNOD)
607  9      IF(NODIM.GT.0) PARNDIM=(SORT(1.+4.+AKA*PARNDIM)+P-1)/2.*PARK/P
608  0      CALL FUGTC(I)+273.16,P,YY,FI,PAR)
609  1      DO 13 J=1,NKO
610  2      XK(I,J)=PAR(J)+GAM(J)/FIC(J)
611  3      IF(NOAC.LT.1) GO TO 1
612  4      DO 14 K=1,NKO
613  5      DO 15 J=1,NKO
614  6      XK(J)=FLL(I,J)/(XT+1.)
615  7      XXXK=(FLL(I,K)+1.)/(XT+1.)
616  8      CALL MOUAC(T(I)+273.16,XX,GAMX)
617  9      DO 14 J=1,NKO
618  0      DFAC(I,J,K)=PAR(J)+GAM(J)/FIC(J)-XKF(I,J)
619  1      DO 40 K=1,NKD
620  2      DO 3 J=1,NK
621  3      DFAC(I,J,K)=0,
622  4      CONTINUE
623  5      IF(HOFUG.LT.1) GO TO 41
624  6      DO 16 K=1,NK
625  7      DO 17 J=1,NK
626  8      YV(J)=FVV(I,J)/(YT+1.)
627  9      YY(J)=FVV(I,J)/(YT+1.)

```

```

629      YY(K)=FVVC(I,K)+1./((YT+1.))
630      CALL FUG(T(I)+273.16,P,YY,FIX,PAR)
631      16 DO 16 J=1,NK
632      GO TO 42
633      41 DO 43 J=1,NKO
634      DO 43 K=1,NKO
635      43 DFACK(I,J,K+NKO+1)=0.
636      CONTINUE
637      DO 18 J=1,NKO
638      18 DFAC(I,J,NKO+1)=XKF(I,J)*ANTC(2,J)/(T(I)+ANTC(3,J))**2
639      IF(NNDIM.GT.0) CALL OHEDI(P,T(I)+273.16,Y(NNDIM),AKAS,ZND)
640      IF(NODIN.GT.0) PARNDIM=EXP(ANTC(1,NNDIM)-ANTC(2,NNDIM)/(T(I)+5.+ANTC
641      #3,NNDIM))
642      IF(NODIN.GT.0) PARNDIM=(SQRT(1.+4.*AKAS*PARNDIM))-1./2./HKAS/P
643      IF(NODIN.GT.0) CALL FUG(T(I)+273.16,P,Y,FIKM,PAR)
644      IF(NODIN.GT.0) DFAC(I,NNDIM,NK1)=(PARNDIM)*GAM(NNDIM)/FIXNNDIM-XK
645      #FK1,NNDIM)/5.
646      10 CONTINUE
647      RETURN
648      END
649      SUBROUTINE GAUS(ND,NCOL,N,HS,A)
650      IMPLICIT DOUBLE PRECISION(A-H,O-Z)
651      DIMENSION A(ND,NCOL)
652      NI=N+1
653      NT=N+NS
654      IF(NI.EQ.1) GO TO 50
655      DO 10 I=2,N
656      IP=I-1
657      II=IP
658      X=DABSC(A(I,II))
659      DO 11 J=I,N
660      IF(DABSC(A(J,II)).LT.X) GO TO 11
661      X=DABSC(A(J,II))
662      IP=J
663      11 CONTINUE
664      IF(IP.EQ.II) GO TO 13
665      DO 12 J=II,NT
666      X=A(II,J)
667      AC(II,J)=AC(II,J)
668      12 AC(IP,J)=X
669      13 DO 10 J=I,N
670      X=A(J,II)*AC(II,II)
671      DO 10 K=I,NT
672      10 AC(J,K)=AC(J,K)-X*AC(II,K)
673      50 DO 20 IP=I,N
674      I=NI-IP
675      DO 20 K=NI,NT
676      AC(I,K)=AC(I,K)/AC(I,I)
677      IF(I.EQ.1) GO TO 20
678      II=I-1
679      DO 25 J=I,II
680      25 AC(J,K)=AC(J,K)-AC(I,K)*AC(I,J)
681      20 CONTINUE
682      RETURN
683      END

```

B.4 DESCRIPCION DE SUBRUTINAS DEL PROGRAMA DE DESTILACION.

A continuación se describen las subrutinas utilizadas en el programa Naphtali-Shaldom.

MQUAC.

Calcula los coeficientes de actividad en la fase líquida de acuerdo al modelo UNIQUAC.

PARIN.

Sirve para la entrada a las SUBRUTINAS MQUAC, FUG y ONEDI.

EXCOR.

Esta SUBRUTINA calcula las derivadas parciales de la entalpia de exceso con respecto al flujo del componente en fase líquida y de la temperatura. Ambas son calculadas numéricamente.

ENT.

Esta SUBRUTINA calcula:

- La entalpia del componente puro.
- La entalpia total de una fase.
- Las derivadas parciales de la entalpia total con respecto a la temperatura.

EXCES.

Esta SUBRUTINA calcula la entalpia de exceso de una mezcla líquida. La entalpia de una mezcla es definida como la entalpia ideal mas la entalpia de exceso. Los cálculos están basados en los parámetros UNIQUAC (R , Q y L).

ONEDI.

Esta subrutina calcula las correcciones de Dimerización (ZDI) en la fase vapor donde no mas de un componente dimeriza. Para el componente dimerizado, el coeficiente de fugacidad es modificado por el factor ZDI. Para los otros componentes el coeficiente de fugacidad es modificado por el factor ZNODI.

FUG.

Esta SUBRUTINA calcula los coeficientes de fugacidad en la fase vapor; la dimerización es incluida en el cálculo. Los coeficientes de fugacidad son evaluados por medio de la ecuación virial.

KFAC.

La SUBRUTINA KFAC, calcula el factor de separación y las derivadas parciales de éste factor con respecto al flujo del componente en la fase vapor y en la fase líquida, así como con respecto a la temperatura. Excepto para la temperatura, todas las derivadas son calculadas numéricamente.

En el cálculo de las derivadas, se supone que la dependencia de la temperatura con la actividad (fase líquida) y la fugacidad (fase vapor), puede ser despreciada, excepto en el caso de dimerización, donde la derivada de la fugacidad en la fase vapor con respecto a la temperatura es calculada numéricamente.

GAUSL.

La SUBRUTINA GAUSL resuelve N ecuaciones algebraicas lineales por eliminación de GAUSS con pivoteo.

APENDICE C

PROGRAMA PUNIQUAC CALCULO DE PARAMETROS UNIQUAC

PROGRAMA COEFVIR CALCULO DE SEGUNDOS COEFICIENTES VIRIALES

APENDICE C.

El apéndice C describe los programas principales y las subrutinas utilizadas para el Cálculo de los Parámetros UNIQUAC (PUNIQUAC) y para el Cálculo de los Segundos Coeficientes Viriales, y se encuentran ordenados de la siguiente manera:

- c.1 Descripción del Programa PUNIQUAC y COEFFVIR.
- c.2 Listado del Programa PUNIQUAC y subrutinas.
- c.3 Listado del Programa COEFFVIR y subrutinas.

c.1 DESCRIPCION DEL PROGRAMA PUNIQUAC (Parámetros UNIQUAC) Y
COEFVIR (Segundos Coeficientes Viriales).

Descripción de subrutinas utilizadas en PUNIQUAC (Cálculo de Parámetros UNIQUAC) y COEFVIR (Cálculo de Coeficientes Viriales).

SVIR.

Calcula el segundo coeficiente virial para componentes puros y mezclas binarias.

PHIB.

Calcula el Coeficiente de Fugacidad para componentes puros y binarios.

YENWO.

Calcula los volúmenes molares de líquidos saturados.

GAUSL.

Resuelve un conjunto de N ecuaciones lineales.

MLMEN.

Calcula los términos polinomiales de Legendre.

BIJ.

Programa principal para el calculo de segundos coeficientes viriales (mezclas multicomponentes).

UNIFA.

Calcula el coeficiente de actividad para determinada temperatura y composición.

GCOMB.

Calcula el coeficiente de actividad combinatorial de acuerdo a la ecuación (4.5).

GRES.

Calcula el coeficiente de actividad residual de acuerdo a la ecuación (4.2).

SYSTEM.

Esta subrutina es utilizada para extraer de las tablas (4.1) y (4.2) los parámetros necesarios para resolver un problema dado.

HCON.

Contiene un procedimiento de prueba y error para calcular los parámetros UNIQUAC a partir de los coeficientes de actividad a dilución infinita predichos por el método UNIFAC.

GRFF.

Calcula el Coeficiente de Actividad Residual de referencia.

C.2 LISTADO DEL PROGRAMA PUNIQUAC Y SUBRUTINAS.

C) MEL

```

1  $CONTROL USLINIT,FILE=05,FILE=07
2  PROGRAM PAUHIO
3  C  PARAMETROS UNIQUAC A PARTIR DE UNIFAC
4  DIMENSION PARAC(8),PARB(8,8),HENRY(5,5),TEMP(3)
5  DIMENSION ITAB(5,56),NTEXT(40),CC(5,5),DD(5,5,2),GAMC(5,5)
6  COMMON NY(5,8),R(8),Q(8),RS(5),QS(5),XL(5),NR
7  CHARACTER*72 NTEXT
8  86 FORMAT(2C140)
9  87 FORMAT(//)
10 88 FORMAT(2CA40)
11 NR=0
12 NT=56
13 READ(5,* ) NTEXT
14 READ(5,* ) TEMP(1),TEMP(2)
15 READ(5,* ) HK,HG,NIID
16 DO 22 I=1,NK
17 22 READ(5,86 ) (ITAB(I,J),J=1,NT)
18 CALL SYSTEM(PARA,NK,HG,ITAB)
19 DO 50 K=1,2
20  TT=TEMP(KK)
21  CALL HC0N(PARA,PARB,TT,HENRY,GAMC,NK,NQY
22  WRITE(7,87)
23  WRITE(7,88) NTEXT
24  WRITE(7,12) TT
25 12 FORMAT(//, **** T = ",F10.2," K,/)
26 13 FORMAT(" COEFICIENTES DE ACTIVIDAD A DILUCION INFINITA")
27  DO 1 I=1,NK
28  DO 1 J=1,NK
29 1 HENRY(I,J)=HENRY(I,J)*GAMC(I,J)
30  DO 10 I=1,NK
31 10  WRITE(7,3) I,(HENRY(I,J),J=1,NK)
32 3  FORMAT(" COMPONENTE",I2," ES SOLVENTE",SE12.4)
33  IF(NNOD.NE.1) GO TO 2
34  WRITE(7,23)
35 23 FORMAT(//, " LAMBDA",I,J) = (V(J)/V(I)*EXP(-DELTA(LAMBDA)/RT)),/
36  DO 4 I=1,NK
37  XL(I)=0.
38  RS(I)=1.
39 4  QS(I)=1.
40  GO TO 21
41 2  WRITE(7,15)
42 15 FORMAT(//, " TAU",I,I)=EXP(-DELTA(Q)/RT),/
43  DO 5 I=1,NK
44  DO 5 J=1,NK
45 5  HENRY(I,J)=HENRY(I,J)/GAMC(I,J)
46 21  NK1=NK-1
47  DO 30 I=1,NK1
48  I1=I+1
49  DO 30 J=I1,NK
50  B1=1.-ALOG(HENRY(I,J))/QS(I)
51  B2=1.-ALOG(HENRY(I,J))/QS(I)
52  H=.001
53  IF(ABS(B1+B2-2.)>1.E-5)GO1,202,202
54  GO1  H=1.
55  GO TO 36
56 202  IF(B1-1.)35,35,203

```

```

58    203 IF(B2-1.)J35,35,204
59    204 IF(EXP(B2-1.),LT.B1) A=EXP(B1)
60    35 S=EXP(B2-A)
61    F=ALOG(A)+S-B1
62    DF=S-1./A
63    DA=F/DF
64    A=A*DA
65    IF(ABS(DA)>1.E-4) 36,36,35
66    36 CC(I,J)=A
67    30 CC(J,I)=B1-ALOG(A)
68    DO 60 I=1,NK
69    CC(I,I)=1.
70    60 WRITE(7,85) (CC(I,J), J=1,NK)
71    85 FORMAT(5E15.7)
72    DO 70 I=1,NK
73    DO 70 J=1,NK
74    70 DO(I,J,KK)=CC(I,J)
75    50 CONTINUE
76    DO 80 I=1,NK
77    DO 80 J=1,NK
78    ALF=(DD(I,J,2)-DD(I,J,1))/(TEMP(2)-TEMP(1))
79    DD(I,J,1)=DD(I,J,1)-TEMP(1)*ALF
80    DD(I,J,2)=ALF
81    WRITE(7,14)
82    14 FORMAT(//," LA SALIDA CONSISTE DE ")
83    WRITE(7,15)
84    15 FORMAT(" NUMERO DE COMPONENTES ,Q,R,Y L PARA CADA COMPONENTE Y U
85    *NICAMENTE UNIQUAC, ")
86    WRITE(7,17)
87    17 FORMAT(" COMPONENTE NUMERO,KK,TEMP1,TEMP2,Y AC(I,J) O BC(I,J), J=
88    *1,2,...,N")
89    WRITE(7,18)
90    18 FORMAT("      ES AC(I,J) SI KK=1, Y ES BC(I,J) SI KK=2, TAU=A+B*T")
91    IF(NMOD.EQ.1) GO TO 97
92    WRITE(7,19)
93    19 FORMAT(//," COMP      Q          R          L      //")
94    DO 95 I=1,NK
95    WRITE(7,91)I,DS(I),RS(I),XL(I)
96    WRITE(7,91)I,QS(I),RS(I),XL(I)
97    95 CONTINUE
98    97 WRITE(7,20)
99    20 FORMAT(//," I KK TEMP1   TEMP2 AC(I,J) OR BC(I,J) -----//")
100   91 FORMAT(5,3F15.5)
101   DO 96 KK=1,2
102   DO 96 I=1,NK
103   WRITE(7,92) I,KK,TEMP(1),TEMP(2),(DD(I,J,KK), J=1,NK)
104   WRITE(7,92) I,KK,TEMP(1),TEMP(2),(DD(I,J,KK), J=1,NK)
105   92 FORMAT(2I2,2F8.1,5E12.5)
106   96 CONTINUE
107   STOP
108   END
109   SUBROUTINE HCOK(PARA,PARB,T,HENRY,GAMC,NH,NG)
110   DIMENSION PARA(B,B),PARB(B,B),HENRY(5,5),XC(5),GAM(5),GAMX(5)
111   DIMENSION GAMC(5,5),CGAM(5)
112   DO 10 I=1,NH
113   DO 10 J=1,NH
114   10 PARB(I,J)=EXP(-PARA(I,J)/T)

```

```

115      DO 20 I=1,NK
116      DO 21 J=1,NK
117      21 XC(J)=0,
118      XC(I)=1,
119      CALL GOMB(X,GAM,NK,NG)
120      CALL GRES(PARB,X,GAMX,NK,NG)
121      GAM(I)=GAMX(I)
122      DO 20 J=1,NK
123      GAM(I,J)=CCAM(J)
124      20 HENRY(I,J)=GAMX(J)
125      DO 25 I=1,NK
126      DO 25 J=1,NK
127      25 HENRY(I,J)=HENRY(I,J)/GAM(J)
128      RETURN
129      END
130      SUBROUTINE GOMB(X,GAMMA,NK,NG)
131      DIMENSION X(5),GAMMA(5)
132      COMMON NY(5,B),PC(B),QC(B),RS(5),QS(5),XL(5),NR
133      QSS=0.
134      RSS=0.
135      XLS=0.
136      DO 10 I=1,NK
137      QSS=QSS+QS(I)*X(I)
138      RSS=RSS+RS(I)*X(I)
139      10 XLS=XLS+XL(I)*X(I)
140      DO 20 I=1,NK
141      A=5.*QS(I)*ALOG(QS(I))/QSS+RSS/RS(I))+XL(I)-RS(I)/RSS*XLS
142      20 GAMMA(I)=RS(I)/RSS*EXP(A)
143      RETURN
144      END
145      SUBROUTINE GRES (P,X,GAM,NK,NG)
146      DIMENSION PC(B),GAM(5),S1(B),XG(B),S4(B),TH(B),GAML(B),X(5)
147      COMMON NY(5,B),RC(B),QC(B),RS(5),QS(5),XL(5),NR
148      S3=0.
149      S2=0.
150      DO 10 K=1,NG
151      S1(K)=0.
152      DO 11 I=1,NK
153      11 S1(K)=S1(K)+NY(I,K)*X(I)
154      10 S2=S2+S1(K)
155      DO 13 K=1,NG
156      XG(K)=S1(K)/S2
157      13 S3=S3+QG(K)*XG(K)
158      DO 15 K=1,NG
159      S4(K)=0.
160      15 TH(K)=QC(K)*XG(K)/S3
161      DO 16 K=1,NG
162      DO 16 I=1,NK
163      16 S4(K)=TH(I)*P(I,K)+S4(K)
164      DO 20 K=1,NG
165      G=1.-ALOG(S4(K)))
166      DO 21 I=1,NK
167      21 G=G-TH(I)*P(K,I)/S4(I)
168      20 GAM(L(K))=Q(K)*G
169      DO 30 I=1,NK
170      G=0.
171      DO 31 J=1,NK

```

```

172   31   G=NY(I,J)*GAML(J)+G
173   30   GAM(I)>EXP(G)
174   RETURN
175   END
176   SUBROUTINE SYSTM(Para,NG,ITAB)
177   DIMENSION ARRC(25,25)
178   DIMENSION ITABC(5,56),RR(56),OO(56),PARA(B,B),KTAB(B),NKTAB(56)
179   DIMENSION AA1(25),AA2(25),AA3(25),AA4(25),AA5(25),AA6(25),AA7(25)
180   *,AA8(25),AA9(25),AA10(25),AA11(25),AA12(25),AA13(25),AA14(25),A
181   A15(25),AA16(25),AA17(25),AA18(25),AA19(25),AA20(25),AA21(25),AA
182   *22(25),AA23(25),AA24(25),AA25(25)
183   COMMON NY,B,B,R,B,O(B),RSK(5),QS(5),XL(5),NR
184   DATA NKTAB/4*1,4*2,2*3+4,5*5,6,7,6,2*9,10,2*11,4*12,3+13,3*14,15
185   *,2*16,2*17,3*18,3*19,2*20,21,22,3*23,24,25/
186   DATA RRA/.9011,-.6744,.4469,.2185,1.3454,1.1167,.8886,1.1173,.5313
187   *,.3652,1.2663,1.0396,.8121,1.8780,1.6513,2.1055,1.6513,1.4311,.92,
188   *.8952,1.6724,1.4457,.998,1.9031,1.6764,1.1450,.9183,.6908,.9183,1.
189   *.5595,1.3692,1.1417,1.4337,1.2070,.9795,1.0600,1.8701,1.6434,1.3013
190   *,1.528,1.4554,1.2380,.791,2.2564,2.0606,1.8016,2.8700,2.6401,3.390
191   *,1.1562,2.0086,1.7818,1.5544,1.4199,2.057/
192   DATA OO/.848,.540,.228,.000,1.176,.867,.676,.988,.400,.120,.969,.6
193   *,.348,1.664,1.66,1.352,1.972,1.352,1.432,1.4,.68,1.488,1.18,.948.
194   *.1728,1.420,1.088,.780,.468,1.100,1.544,1.236,1.924,1.244,.936,.624
195   *,.816,1.724,1.416,1.224,1.532,1.248,.464,.952,0.724,1.988,1.684,1.448,2
196   *.410,2.184,2.91,.844,1.868,1.56,1.248,1.104,1.65/
197   DATA AA1/0,-.200,0,61,1300,76,500,737,50,697,20,1318
198   *,0.2789,0,476,40,677,00,232,10,251,50,391,50,255,70,1245,0,612,00,
199   *.663,50,35,930,53,760,24,900,10,30,321,50,661,50,543,00,114,10/
200   DATA AA2/2520/0,0,340,70,4102,0,535,20,1509,0,599,6
201   *,0,000,00,524,50,000,00,000,00,289,30,396,00,277,60,000,00,370,90,7
202   *,30,40,99,610,337,10,4583,00,5831,0,000,00,542,10,24,000,00/
203   DATA AA3/-11,12,-94,78,0,167,0,477,00,637,40,903,8
204   *,0,1397,0,25,770,00,00,5,9940,32,140,161,70,122,80,668,20,212,50,5
205   *,37,40,-18,81,000,00,-231,9,3,0000,538,20,168,10,194,9,97,53/
206   DATA AA4/-69,70,-269,7,-146,8,0,1,469,00,603,30,5695,
207   *,0,726,30,-52,10,000,00,5688,0,213,10,00,00,-49,29,612,50,6096,0.
208   *,603,80,-114,1,000,00,-12,14,-141,3,000,00,3629,0,000,00,00,00/
209   DATA AA5/-87,93,121,50,-64,13,-99,38,0,127,40,285,4
210   *,0,257,30,48,160,00,00,76,200,70,000,110,80,188,30,412,00,000,00,7
211   *,7,610,-38,23,-185,9,-170,9,-98,66,290,00,00,00,00,00,73,520/
212   DATA AA6/16,510,-52,39,-50,00,-44,50,-80,78,0,-181,
213   *,0,000,00,23,390,00,00,-10,72,-180,6,359,30,266,0,000,04,5,540,00
214   *,0,00,-39,32,-102,5,-139,4,-67,80,000,00,75,140,000,00,-31,09/
215   DATA AA7/580,60,511,70,362,30,377,60,-148,5,289,60,0
216   *,00,00,442,00,-280,8,649,1,-455,4,-400,6,357,50,287,00,213,00,112,6
217   *,0,225,40,325,40,370,40,353,70,497,50,678,20,-19,44,399,50,887,10/
218   DATA AA8/311,00,000,00,2043,0,6245,0,-455,4,000,0,-
219   *,540,6,0,000,00,000,00,-713,2,9*000,00,4894,0,4*000,00/
220   DATA AA9/26,760,-82,92,140,10,365,80,129,20,109,70,6
221   *,05,60,000,00,0,-37,36,-213,7,5,2020,00,00,000,00,00,00,428,50,6
222   *,69,40,-191,7,-284,0,-354,6,-39,20,000,00,137,50,000,00,162,3/
223   DATA AA10/505,70,000,00,00,00,00,00,00,00,00,00,00,00,00,00,00,00,00,00,00,00
224   *,+155,7,000,00,128,00,0,,15,000,00/
225   DATA AA11/114,80,000,00,85,840,-170,0,109,90,249,60,
226   *,1135,0,953,60,372,20,000,00,0,-235,7,000,00,-73,50,000,00,533,60,
227   *,660,20,000,00,108,90,-209,7,54,470,00,00,00,162,7/
228   DATA AA12/83,360,76,440,52,130,65,620,42,000,339,70,
```

```

229      *634.20,000.00,52,380,000.00,461.30,0.,000.00,141.70,000.00,000.00
230      *664.60,301.10,137.80,-154.3,000.00,000.00,95.180,000.00,151.1
231          DATA AA13/-30.48,79.400,-44.85,000.00,-217.2,-481.7,
232          +507.1,5*000.00,0.,63.720,7*000.00,68.810,3*0.00/
233          DATA AA14/65.330,-41.32,-22.31,223.00,-243.3,-500.4,
234          +547.7,000.00,000.00,000.00,136.00,-49.30,108.80,0.,6*000.00,71.22
235          +0,4350.0,3*0.00/
236          DATA AA15/5339.0,000.00,650.40,3399.0,-245.0,000.00,
237          +339.5,7*000.00,0.,5*000.00,8455.0,2*000.00,-62.73,000.00/
238          DATA AA16/35.760,26.090,-22.97,-138.4,000.00,168.90,
239          +242.80,000.00,-275.1,000.00,-297.3,4*000.00,0.,3*000.00,-15.62,-54
240          +86.4*000.00/
241          DATA AA17/315.30,349.20,62.320,268.20,-17.59,000.00,
242          +292.0,000.00,-297.8,000.00,-256.3,-338.5,4*000.00,0.,44.420,-157
243          +4,000.00,217.70,000.00,3*0.00/
244          DATA AA18/91.460,-24.36,4.6800,122.90,368.60,529.00,
245          +698.20,000.00,286.30,30.000.00,000.00,225.40,4*000.00,326.40,0.,106.3
246          +0,249.20,62.420,4*000.00/
247          DATA AA19/34.010,-52.71,000.00,000.00,601.60,669.90,
248          +708.70,000.00,423.20,000.00,-132.9,-197.7,000.00,000.00,000.00,000.00
249          +0.,1821.0,-84.53,0.,000.00,56.330,4*000.00/
250          DATA AA20/36.700,-185.1,288.50,33.610,491.10,549.10,
251          +926.80,000.00,552.10,000.00,176.50,-20.93,000.00,000.00,000.00,007.74
252          +040.000.00,-157.1,000.00,0.,-30.100,3*000.00,256.5/
253          DATA AA21/-78.45,-293.7,-4.700,134.70,570.70,360.10
254          +1201.0,1616.0,372.00,000.00,129.50,000.00,000.00,91.130.1302.0,492
255          +0.,689.00,11.800,17.970,51.900,0.,475.80,490.9,534.7,132.2/
256          DATA AA22/-141.3,000.00,-237.7,0.,134.1,0.,920.4,5*0.0
257          +0.,203.50,-108.40,6*000.00,-225.4,0.,-154.5,2*0.0/
258          DATA AA23/-32.69,-49.92,10.380,-97.05,000.00,252.60
259          +614.20,000.00,-142.6,000.00,000.00,-94.49,8*000.00,-34.68,734.4,0.
260          +2*0.0/
261          DATA AA24/5541.0,000.00,1825.0,3*000.00,360.7.7*000.
262          +0,5250.0,5*000.00,514.6,4*000.00/
263          DATA AA25/11.460,000.00,-18.99,000.00,442.80,914.20
264          +1081.0,000.00,298.70,000.00,233.70,79.790,7*000.00,-125.8,-60.71.4
265          +**000.00/
266          DO 99 J=1,25
267          ARR(1,J)=AA1(J)
268          ARR(2,J)=AA2(J)
269          ARR(3,J)=AA3(J)
270          ARR(4,J)=AA4(J)
271          ARR(5,J)=AA5(J)
272          ARR(6,J)=AA6(J)
273          ARR(7,J)=AA7(J)
274          ARR(8,J)=AA8(J)
275          APP(9,J)=AA9(J)
276          APP(10,J)=AA10(J)
277          APP(11,J)=AA11(J)
278          APP(12,J)=AA12(J)
279          APP(13,J)=AA13(J)
280          APP(14,J)=AA14(J)
281          APP(15,J)=AA15(J)
282          APP(16,J)=AA16(J)
283          APP(17,J)=AA17(J)
284          APP(18,J)=AA18(J)
285          APP(19,J)=AA19(J)

```

```

286      ARR(20,J)=AA20(J)
287      ARR(21,J)=AA21(J)
288      ARR(22,J)=AA22(J)
289      ARR(23,J)=AA23(J)
290      ARR(24,J)=AA24(J)
291      ARR(25,J)=AA25(J)
292      99  CONTINUE
293      NT=56
294      NM=25
295      M=0
296      DO 15 J=1,NK
297      JJ=0
298      DO 16 I=1,NK
299      16  JJ=JJ+ITAB(I,J)
300      IF (JJ) 15,15,17
301      17  M=M+1
302      KTABC(M)=J
303      15  CONTINUE
304      NG=M
305      DO 20 J=1,NG
306      JJ=KTABC(J)
307      R(J)=RR(J)
308      Q(J)=QQC(J)
309      DO 20 I=1,NK
310      20  NY(I,J)=TAB(I,JJ)
311      DO 30 I=1,NM
312      DO 35 J=1,NG
313      J1=KTABC(J)
314      J1=NKTABC(J1)
315      IF (J1-I) 35,36,35
316      36  DO 37 L=1,NG
317      L1=KTABC(L)
318      L1=NKTABC(L1)
319      37  PARA(J,L)=ARR(I,L1)
320      35  CONTINUE
321      30  CONTINUE
322      DO 40 I=1,NK
323      RS(I)=0,
324      QS(I)=0,
325      DO 41 J=1,NG
326      RS(I)=RS(I)+NY(I,J)*R(J)
327      41  QS(I)=QS(I)+NY(I,J)*Q(J)
328      40  XL(I)=5.*((RS(I)-QS(I))-RS(I))+I,
329      IF (NRP) 34,34,39
330      34  WRITE(6,80)
331      80  FORMAT (//, ' GROUP CONSTANTS AND INTERACTION PARAMETERS (R,Q, AND
332      *ND A(I,J)) ',/)
333      DO 81 I=1,NG
334      81  WRITE (6,82) R(I),Q(I),(PARA(I,J),J=1,NG)
335      82  FORMAT (2F10.4,8F10.2)
336      83  WRITE (6,83)
337      83  FORMAT (//, ' MOLECULAR FUNCTIONAL GROUPS '//)
338      DO 84 I=1,NK
339      84  WRITE (6,85) I,(NY(I,J),J=1,NG)
340      85  FORMAT (2I5,10I3)
341      39  CONTINUE
342      RETURN

```

PAGE 7 HEWLETT-PACKARD 32201A.07.17 EDIT/3000 WED, MAY 2, 1990, 4:17 PM FC> HEL

343

END

C.3 LISTADO DEL PROGRAMA COEFVIC Y SUBRUTINAS.

C : HEI

```

1      #CONTROL USLINIT,FILE=05,FILE=07
1.1    C      PROGRAMA PARA CALC. SEGUNDOS COEF. VIRIALES
1.2          PROGRAM CSCV
2          DIMENSION NH(10),PPC(10),RRD(10),DDMU(10),EETAC(10),TTCC(10),ETH(10)
3          #,10,B(10,10),TC10,NTEXT(40),BB(3),BF(3),ZCC(10)
4          COMMON/VIRDAT/HC(2),PCC(2),RD(2),DMU(2),ETAC(3),TC(2),ZC(2)
5          WRITE(7,21)
6      21      FORMAT(1H1," CALCULO DEL COEF. VIRIAL B(I,J)    //")
7          DO 1 I=1,5
8          READ(5,20)NTEXT
9      20      FORMAT(40A2)
10         WRITE(7,20)NTEXT
11         1      CONTINUE
12         READ(5,* )NH,HT
13         DO 17 I=1,NH
14      17      READ(5,* )NH(1),PPC(1),TTCC(1),RRD(1),DDMU(1),EETAC(1),ZCC(1)
15         WRITE(7,24)
16      24      FORMAT(1H0," COMPONENTE PC EN ATM RD EN A DMU EN DEB.   ETA T
17      NC   EH K")
18         WRITE(7,25)(NH(1),PPC(1),RRD(1),DDMU(1),EETAC(1),TTCC(1),I=1,NH)
19      25      FORMAT(5X,12.3X,5F10.3)
20         IN=NH-1
21         DO 2 I=1,IN
22         2      I=I+1
23         2      READ(5,* )(ETH(I,J),J=1,I)
24         2      WRITE(7,27)
25      27      FORMAT(1H0," PARAMETROS DE SOLVATACION")
26         IN=NH-1
27         DO 11 I=1,IN
28         11      I=I+1
29         11      DO 11 J=1,I,HN
30         11      ETH(J,I)=ETH(I,J)
31         11      DO 12 I=1,HN
32         12      ETH(I,I)=EETAC(1)
33         12      WRITE(7,28)(NH(1),I=1,HN)
34         12      FORMAT(10X,12.9(8X,I2))
35         12      DO 13 I=1,HN
36         13      WRITE(7,29)NH(1),(ETH(I,J),J=1,I)
37         13      FORMAT(2X,12.10F10.3)
38         13      READ(5,* )(T(I),I=1,HT)
39         13      N=2
40         13      WRITE(7,40)
41         40      FORMAT(1H0," COEFICIENTES VIRIALES")
42         40      DO 650 KK=1,HT
43         40      TEMP=TK(KK)
44         40      WRITE(7,41) TEMP
45         41      FORMAT(10X,"TEMPERATURA= ",F10.3)
46         41      IN=HN-1
47         41      DO 32 I=1,IN
48         41      I=I+1
49         41      DO 32 J=1,I,HN
50         41      K=1
51         41      M=1
52         41      NH(K)=NH(1)
53         41      PCC(K)=PPC(1)
54         41      RDC(K)=RRD(1)
55         41      DMU(K)=DDMU(1)
56         41      ZC(K)=ZCC(1)
57
58

```

```

59      ETAC(K)=EETAC(M)
60      TCK(K)=TTC(M)
61      ZCK(K)=ZCC(M)
62      IF(K.EQ.2) GO TO 34
63      K=2
64      M=J
65      GO TO 33
66 34      ETAC(3)=ETM(I,J)
67      CALL SVIR(N,TEMP,BF,BB)
68      B(I,I)=BB(1)
69      B(J,J)=BB(2)
70      B(I,J)=BB(3)
71      B(J,I)=B(I,J)
72      WRITE(7,28) (NNHC(I),I=1,NH)
73      DO 19 I=1,NH
74      19  WRITE(7,29) NNHC(I),(B(I,J),J=1,NH)
75      CONTINUE
76      STOP
77      END
78      SUBROUTINE SVIR(N,TEMP,BF,BB)
79      DIMENSION BF(3),BB(3),W(3),EPSI(3),SIGM3(3),RDMU(3),RDMC(3),A(3),D
80      *ELH(3),DC(3),B0(3)
81      COMMON/VIRDATA/RDHC(2),PC(2),RD(2),DMU(2),ETAC(3),TC(2),ZC(2)
82      DO 101 I=1,N
83      W(I)=0.006+RD(I)+0.02087+RD(I)**2-0.00136+RD(I)**3
84      EPSI(I)=TC(I)*(0.748+0.91*W(I))-0.4*ETAC(I)/(2.+20.*W(I))
85      SIGM3(I)=2.44-W(I)*3*(TC(I)/PC(I))
86      IF(DMU(I)-1.45) 101,101,103
87      103  PH=16.+400.*W(I)
88      C=2.882-1.882*W(I)/(0.03+W(I))
89      X1=DMU(I)**4/(C*EPSI(I)*(SIGM3(I)**2)*TC(I)*5.723E-8)
90      PPN=PH/(PH-6.)
91      EPSI(I)=EPSI(I)<1.-X1*PPN+PPN*(PPN+1.)*(X1**2)/2.>
92      SIGM3(I)=SIGM3(I)*(1.+3.+X1/(PH-6.))
93  101  RDMU(I)=<DMU(I)**2>/7243.8/(EPSI(I)*SIGM3(I))
94      IF(N-1) 380,300,400
95  300  J=1
96      GO TO 301
97  400  J=3
98      GO TO 401
99  401  EPSI(3)=0.7*SORT(EPSI(1)*EPSI(2))+0.60<1./EPSI(1)+1./EPSI(2)>
100     SIGM3(3)=SORT(SIGM3(1)+SIGM3(2))
101     W(3)=0.5*(W(1)+W(2))
102     IF(DMU(1)*DMU(2))500,501,500
103  501  IF(DMU(1)+DMU(2)-2.500,500,19
104  19      X138=<DMU(1)**2+EPSI(2)**2+SIGM3(2)>*<(1./3.)>*SIGM3(2)+DMU(2)**2*
105      *(EPSI(1)**2+2*SIGM3(1)**2*(1./3.)*SIGM3(1)/(EPSI(3)*SIGM3(3)**2)
106      PH=16.+400.*W(3)
107      EPSI(3)=EPSI(3)<1.-X138*PH/(PH-6.>)
108      SIGM3(3)=SIGM3(3)<1.-3.*X138/(PH-6.>)
109  500  RDMU(3)=7243.8*DMU(1)*DMU(2)/(EPSI(3)*SIGM3(3))
110  301  DO 600 I=1,J
111      IF(RDMU(I)-0.04)14,15,15
112  14      RDMU(I)=RDMU(I)
113      GO TO 600
114  15      IF(RDMU(I)-0.25)16,17,17
115  16      RDMU(I)=0.
```

```
116      GO TO 600
117      17  RDMM(I)=RDMU(I)-0.25
118      600  CONTINUE
119      DO 609 I=1,J
120      B0(I)>1.2618*SIGM3(I)
121      A(I)>=-0.3-0.05*RDMU(I)
122      DELH(I)=1.99+0.2*RDMU(I)**2
123      IF(ETAC(I)>-4.)604,604,605
124      604  DC(I)=650./ $\langle$ EPSI(I)>300. $\rangle$ 
125      GO TO 609
126      605  DC(I)=42800./ $\langle$ EPSI(I)>22400. $\rangle$ 
127      609  CONTINUE
128      DO 651 I=1,J
129      TSTR= $\langle$ EPSI(I)>/TEMP-1.6*W(I)
130      BFN=0.94-1.47*TSTR-0.95*TSTR**2+1.015*TSTR**3
131      BFP=(0.75-3.+TSTR+2.1*TSTR**2+2.1*TSTR**3)*PDHM(I)
132      BFC(I)= $\langle$ BFN-BFP $\rangle$ *B0(I)
133      BB(I)=BFC(I)+B0(I)+A(I)*EXP(DELH(I))*EPSI(I)/TEMP
134      IF(ETAC(I)>51.651,653
135      653  BCHEM=B0(I)*EXP(ETAC(I)*(DC(I)-4.277)*(1.-EXP(1500.*ETAC(I)/TEMP))
136      BB(I)=BB(I)+BCHEM
137      651  CONTINUE
138      RETURN
139      END
```

APÉNDICE D.

En este apéndice se listan los resultados obtenidos de las corridas computacionales de los dos ejemplos de aplicación descritos en el Capítulo VI, asimismo, las corridas para calcular los parámetros UNIQUAC y los Segundos Coeficientes Viriales. El orden que corresponde es el siguiente:

D.1 Resultados de la Corridas Computacionales para el Diseño de las Columnas de Destilación de los ejemplos de aplicación.

D.2 Resultados de la Corridas Computacionales para Calcular los Parámetros UNIQUAC.

D.3 Resultados de la Corridas Computacionales para el Cálculo de los Segundos Coeficientes Viriales.

APENDICE D

LISTADO DE RESULTADOS

TABLA D.1

MUESTRA DE SALIDA PARA EL CALCULO DE PARAMETROS UNIQUAC

CONSTANTES DE GRUPOS Y PARAMETROS DE INTERACCION (R, Q Y A(I,J))

0.9011	0.8480	0.0000	61.1300	76.5000	737.5000	476.4000	35.9300
0.5313	0.4000	-11.1200	0.0000	167.0000	477.0000	25.7700	-18.8100
1.2663	0.9680	-69.7000	-146.8000	0.0000	469.0000	52.1000	114.1000
1.8798	1.6640	-87.9300	-64.1300	-99.3800	0.0000	48.1600	38.2300
1.6724	1.4880	26.7600	140.1000	365.8000	129.2000	0.0000	191.7800
1.4654	1.2640	91.4600	4.6800	122.9000	353.6000	286.3000	0.0000

GRUPOS MOLECULARES FUNCIONALES

1	0	0	0	0	0	2
2	1	0	0	1	0	0
3	0	5	1	0	0	0
4	1	0	0	0	1	0

SISTEMA:

1,2 DICLOROETANO (1) N-PROPANOL (2) TOLUENO (3) ACETONA (4)

***** T = 340.0 K

COEFICIENTES DE ACTIVIDAD A DILUCION INFINITA

COMP. 1 ES SOLVENTE	0.1000E 01	0.4445E 01	0.9949E 00	0.9309E 00
COMP. 2 ES SOLVENTE	0.2932E 01	0.1000E 01	0.3554E 01	0.1833E 01
COMP. 3 ES SOLVENTE	0.9935E 00	0.4997E 01	0.1000E 01	0.1411E 01
COMP. 4 ES SOLVENTE	0.9155E 00	0.2112E 01	0.1825E 01	0.1000E 01

$$\text{TAU}(J,I) = RQ^J \cdot (-\Delta H(T)/RT)$$

0.100000E 01	0.5244893E 00	0.1528933E 01	0.5625150E 00
0.1056402E 01	0.1000000E 01	0.1198861E 01	0.9912975E 00
0.6062148E 00	0.4592944E 00	0.1000000E 01	0.1276591E 01
0.1608894E 01	0.7481847E 00	0.6533245E 00	0.1000000E 01

1,2 DICLOROETANO (1) N-PROPANOL (2) TOLUENO (3) ACETONA (4)

***** T = 360.0 K

COEFICIENTES DE ACTIVIDAD A DILUCION INFINITA

COMP. 1 ES SOLVENTE	0.1000E 01	0.4000E 01	0.9999E 00	0.9412E 00
COMP. 2 ES SOLVENTE	0.2793E 01	0.1000E 01	0.3410E 01	0.1774E 01
COMP. 3 ES SOLVENTE	0.9972E 00	0.4550E 01	0.1000E 01	0.1391E 01
COMP. 4 ES SOLVENTE	0.9272E 00	0.2019E 01	0.1261E 01	0.1000E 01

TAU(J,1) = EXP (-DELTA(U)/RT)

0.100000E 01	0.5486530E 00	0.1511588E 01	0.5835495E 00
0.1052296E 01	0.100000E 01	0.1179046E 01	0.9926152E 00
0.6159329E 00	0.4832428E 00	0.100000E 01	0.1262265E 01
0.1567512E 01	0.7607085E 00	0.6706705E 00	0.100000E 01

LA SALIDA CONSISTE DE:

NO. DE COMPONENTE, Q, R Y L PARA CADA COMPONENTE (UNICAMENTE UNIQUAC)

NO. DE COMPONENTE, KK, TEMP1, TEMP2 Y A(I,J) o B(I,J), J=1,2,...,N
ES DECIR: A(I,J) SI KK=1 Y B(I,J) SI KK=2 TAU= A + B*T

COMP	Q	R	L
1	2.528	2.9308	0.0832
2	2.512	2.7799	-0.4404
3	2.968	3.9228	1.8512
4	2.336	2.5735	-0.386

I	KK	TEMP1	TEMP2	A(I,J) o B(I,J)-----			
1	1	340	360	0.10000E 01	0.11371E 00	0.18238E 01	0.20493E 00
2	1	340	360	0.11262E 01	0.10000E 01	0.13917E 01	0.96890E 00
3	1	340	360	0.44101E 00	0.52172E-01	0.10000E 01	0.15201E 01
4	1	340	360	0.23124E 00	0.53528E 00	0.35831E 00	0.10000E 01
1	2	340	360	0.0	0.12062E-02	-0.96722E 00	0.10517E-02
2	2	340	360	- 0.20533E-03	0.0	-0.59075E-03	0.65881E-04
3	2	340	360	0.48590E-03	0.11974E-03	0.0	-0.71630E-04
4	2	340	360	- 0.20691E-02	0.62619E-03	0.96770E-03	0.0

TABLA D.2

RESUMEN DE SALIDA PARA EL CALCULO DE PARAMETROS UNIQUAC

SISTEMA:

ETANOL (1) AGUA (2) N-PROPANOL (3) AC. ACETICO (4)

LA SALIDA CONSISTE DE:

NO. DE COMPONENTE, Q, R Y L PARA CADA COMPONENTE (UNICAMENTE UNIQUAC)
 NO. DE COMPONENTE, KK, TEMP1, TEMP2 Y A(I,J) o B(I,J), J=1,2,...,N
 ES DECIR: A(I,J) SI KK=1 Y B(I,J) SI KK=2 TAU=A + B*T

COMP	Q	R	L
1	1.97199	2.1055	-0.043199
2	2.51200	2.7799	-0.44039
3	1.40000	0.9200	-2.32000
4	2.07200	2.2024	-0.55039

I	KK	TEMP1	TEMP2	A(I,J) o B(I,J)	-----	-----	-----
1	1	340	360	0.10000E 01	0.12273E 01	0.19293E 00	-0.21691E 00
2	1	340	360	0.77161E 00	0.10000E 01	0.87732E 01	-0.35463E 01
3	1	340	360	0.18128E 01	0.20593E 00	0.10000E 01	-0.67430E 01
4	1	340	360	0.41135E 01	0.12726E 01	0.2981CE 01	0.10000E 01
1	2	340	360	0.0	-0.2033 E-03	0.90927E-03	0.13950E 02
2	2	340	360	0.13147E 01	0.0	-0.24844E-03	0.11243E 02
3	2	340	360	- 0.11735E-02	0.96916E-03	0.0	0.13632E-02
4	2	340	360	- 0.4968 E-02	- 0.25139E-02	- 0.37084E-02	0.0

TABLA D.3 RESULTADOS COMPUTACIONALES DEL SISTEMA 1.
 TA DL AG A- P OP NO -A . CE IC

INCLUYENDO COEFICIENTES DE ACTIVIDAD

INCLUYENDO COEFICIENTES DE FUGACIDAD

INCLUYENDO DIMERIZACION

INCLUYENDO EXCESOS DE ENTALPIA

OMPOSICION DE ALIMENTACION Y PARAMETROS DE ANTOINE

1	25.000	8.045	1554.300	222.650
2	25.000	7.997	1569.700	209.500
3	25.000	7.967	1668.200	228.000
4	25.000	7.188	1416.700	211.000

NUMERO DE ETAPAS 30
 DESTILADO 40.000
 RELACION DE REFLUJO 2.000000
 PRESION TOTAL 1.000

CONFIGURACION DE FLUJO

I	FL	FV	SL	SV	FKV	CORRIENTES DE ALIMENTACION		
1	40.0	70.0	0	0	0	0	0	0
2	110.0	70.0	0	0	0	0	0	0
3	110.0	70.0	0	0	0	0	0	0
4	110.0	70.0	0	0	0	0	0	0
5	110.0	70.0	0	0	0	0	0	0
6	110.0	70.0	0	0	0	0	0	0
7	110.0	70.0	0	0	0	0	12.5	12.5
8	60.0	70.0	0	0	0	0	0	0
9	60.0	70.0	0	0	0	0	0	0
10	60.0	70.0	20.0	0	0	0	0	0
11	80.0	70.0	0	0	0	0	0	0
12	80.0	70.0	0	0	0	0	0	0
13	80.0	70.0	0	0	0	0	0	0
14	80.0	70.0	0	0	0	0	0	0
15	80.0	70.0	0	0	0	0	0	0
16	80.0	70.0	0	0	0	0	0	0
17	80.0	70.0	0	0	0	0	0	0
18	80.0	70.0	0	0	0	0	0	0
19	80.0	70.0	0	0	0	0	0	0
20	80.0	70.0	0	0	0	0	0	0
21	80.0	70.0	0	0	0	0	0	0
22	80.0	70.0	0	0	0	0	0	0
23	80.0	120.0	0	0	1	25.0	12.5	12.5
24	80.0	120.0	0	0	0	0	0	0
25	80.0	120.0	0	0	0	0	0	0
26	80.0	120.0	0	0	0	0	0	0
27	80.0	120.0	0	0	0	0	0	0
28	80.0	120.0	0	0	0	0	0	0
29	80.0	120.0	0	0	0	0	0	0
30	80.0	40.0	0	0	0	0	0	0

- 193 -

ETAPA TEMP. FLUJO TOTAL FLUJO POR COMPONENTE (TODOS SON LIQUIDOS)

1	90.00	46.73	.000	12.710	3.945	30.073	
2	90.67	124.43	2.650	40.094	30.339	51.351	
3	91.33	122.51	6.644	38.493	32.336	45.033	
4	92.00	121.23	8.865	37.372	33.081	41.913	
5	92.67	120.58	10.115	36.697	33.369	40.395	
6	93.33	120.22	10.753	36.324	33.493	39.650	
	94.00	119.94	10.969	36.141	33.562	39.273	
8	92.33	67.99	10.327	23.178	20.624	13.856	
9	90.64	67.09	11.897	23.554	20.771	10.865	
10	89.36	66.34	13.268	23.593	20.672	8.806	
11	88.52	85.80	18.483	30.780	26.774	9.765	
12	87.89	85.44	19.570	30.572	26.464	8.831	
13	87.37	85.19	20.502	30.357	26.136	8.190	
14	86.94	85.00	21.327	30.153	25.803	7.714	
15	86.57	84.85	22.083	29.963	25.469	7.330	
16	86.23	84.72	22.800	29.785	25.132	6.999	
17	85.92	84.60	23.505	29.614	24.784	6.695	
18	85.63	84.49	24.225	29.443	24.417	6.404	
19	85.35	84.38	24.989	29.260	24.018	6.117	
20	85.08	84.28	25.831	29.054	23.567	5.829	
21	84.81	84.18	26.795	28.808	23.043	5.534	
22	84.52	84.08	27.938	28.501	22.412	5.230	
23	84.67	83.99	29.340	28.105	21.635	4.914	
24	85.33	85.22	29.876	29.039	24.030	2.277	
25	86.00	84.47	30.278	28.897	25.164	.131	
26	86.67	85.68	30.821	28.468	26.395	.000	
27	87.33	87.07	31.688	27.628	27.750	.000	
28	88.00	88.53	33.228	26.117	29.182	.000	
29	88.67	90.13	36.205	23.445	30.478	.000	
30	89.33	91.96	42.309	18.638	31.015	.000	

E. °A TEMP. FLUJO TOTAL FLUJO POR COMPONENTE (TODOS SON VAPOR)

1	90.00	84.43	9.377	27.384	26.394	21.279	
2	90.67	82.51	13.372	25.783	28.391	14.960	
3	91.33	81.23	15.593	24.662	29.136	11.840	
4	92.00	80.58	16.842	23.987	29.425	10.322	
5	92.67	80.22	17.481	23.614	29.548	9.577	
6	93.33	79.94	17.696	23.430	29.617	9.201	
7	94.00	77.99	17.055	22.968	29.180	8.783	
8	92.33	77.09	18.624	23.343	29.326	5.792	
9	90.64	76.34	19.995	23.382	29.227	3.733	
10	89.36	75.80	21.316	23.234	28.966	2.286	
11	88.52	75.44	22.403	23.026	28.657	1.351	
12	87.89	75.19	23.335	22.811	28.329	.710	
13	87.37	75.00	24.161	22.607	27.996	.234	
14	86.94	75.00	24.917	22.417	27.662	.000	
15	86.57	75.20	25.634	22.239	27.324	.000	
16	86.23	75.38	26.338	22.068	26.977	.000	
17	85.92	75.56	27.058	21.896	26.610	.000	
18	85.63	75.75	27.822	21.714	26.210	.000	
19	85.35	75.93	28.665	21.507	25.759	.000	
20	85.08	76.13	29.529	21.262	25.235	.000	
21	84.81	76.33	30.772	20.954	24.605	.000	
22	84.52	76.56	32.173	20.559	23.828	.000	
23	84.67	130.43	57.709	33.993	38.723	.000	
24	85.33	131.82	58.111	33.851	39.856	.000	
25	86.00	133.16	58.654	33.422	41.088	.000	
26	86.67	134.55	59.521	32.582	42.443	.000	
27	87.33	136.01	61.061	31.071	43.874	.000	
28	88.00	137.61	64.038	28.399	45.171	.000	
29	88.67	139.44	70.143	23.592	45.708	.000	
30	89.33	47.48	27.833	4.954	14.692	.000	

RESIDUO = 521E+05

ETAPA	TEMP	FLUJO TOTAL	FLUJO POR COMPONENTE	(TODOS SON LIQUIDOS)
1	100.00	40.00	.432	11.422
2	100.67	121.78	1.352	42.206
	98.11	117.25	1.874	42.364
4	96.15	114.06	2.600	41.699
5	95.00	112.16	3.160	40.953
6	94.35	111.04	3.503	40.310
7	93.99	110.38	3.653	39.815
8	89.20	58.34	3.546	26.326
9	87.49	57.39	4.253	26.923
10	86.53	56.84	4.939	26.416
11	86.15	76.86	7.841	34.561
12	85.93	77.01	8.768	33.672
13	85.78	77.03	9.843	32.829
14	85.64	77.00	11.094	32.024
15	85.50	76.98	12.512	31.243
16	85.34	76.98	14.083	30.470
17	85.16	77.00	15.810	29.681
18	84.97	77.03	17.687	28.861
19	84.76	77.07	19.706	28.006
20	84.54	77.11	21.856	27.115
21	84.30	77.15	24.125	26.190
22	84.06	77.20	26.497	25.236
23	83.88	77.26	28.956	24.265
24	83.87	79.76	29.072	22.873
25	83.93	79.80	29.297	21.229
26	84.00	79.80	29.661	19.666
27	84.07	79.81	30.386	18.137
28	84.14	79.83	31.782	15.530
29	84.15	79.89	34.328	14.658
30	84.08	80.00	38.651	12.263

ETAPA TEMP FLUJO TOTAL FLUJO POR COMPONENTE (TODOS SON VAPOR)

1	100.00	81.78	920	30.784	14.639	35.439
2	100.67	77.25	1.443	30.942	21.190	23.672
3	98.11	74.06	2.168	30.277	25.535	16.082
4	96.15	72.16	2.728	29.531	28.367	11.518
5	95.00	71.04	3.071	28.888	30.269	8.616
6	94.35	70.38	3.221	28.393	31.548	7.217
7	93.99	68.34	3.114	27.404	31.712	6.113
8	85.20	67.39	3.821	27.900	33.281	2.350
9	87.49	66.84	4.507	27.494	34.292	.552
10	86.53	66.86	5.347	26.657	34.854	.000
11	86.15	67.01	6.275	25.768	34.970	.000
12	85.93	67.03	7.349	24.925	34.754	.000
13	85.78	67.00	8.600	24.120	34.280	.000
14	85.64	66.98	10.019	23.339	33.619	.000
15	85.50	66.98	11.590	22.566	32.826	.000
16	85.34	67.00	13.317	21.776	31.919	.000
17	85.16	67.03	15.194	20.957	30.882	.000
18	84.97	67.07	17.213	20.102	29.754	.000
19	84.76	67.11	19.363	19.211	28.534	.000
.	84.54	67.15	21.632	18.286	27.234	.000
21	84.30	67.20	24.004	17.332	25.862	.000
22	84.06	67.26	26.463	16.361	24.436	.000
23	83.88	119.76	51.578	27.469	40.709	.000
24	83.87	119.80	51.893	25.825	42.174	.000
25	83.93	119.80	52.168	24.261	43.367	.000
26	84.00	119.81	52.693	22.733	44.192	.000
27	84.07	119.84	54.289	21.126	44.420	.000 -195-

28	84.14	119.89	56.835	19.254	43.798	000
29	84.15	120.00	61.158	16.859	41.983	000
30	84.08	40.00	22.507	4.596	12.897	000

RESIDUO = 104E+05

E °A TEMP. FLUJO TOTAL FLUJO POR COMPONENTE (TODOS SON LIQUIDOS)

1	106.60	40.00	.253	11.145	3.895	24.707
2	101.18	121.55	1.384	41.706	19.922	58.536
3	98.56	117.44	1.667	42.434	24.931	48.413
4	96.64	114.36	1.911	42.099	29.111	41.255
5	95.36	112.42	2.121	41.352	32.311	36.635
6	94.57	111.25	2.302	40.569	34.571	33.806
7	94.09	110.56	2.457	39.897	36.075	32.131
8	88.81	58.60	2.544	26.246	23.792	6.014
9	87.16	57.79	3.556	26.301	25.419	2.513
10	86.33	57.31	4.729	25.572	26.179	.833
11	86.00	77.13	7.801	33.538	35.376	.412
12	85.81	77.06	9.233	32.679	35.003	.150
13	85.67	77.05	10.705	31.899	34.395	.055
14	85.54	77.06	12.231	31.151	33.658	.020
15	85.40	77.08	13.826	30.406	32.837	.007
16	85.25	77.10	15.496	29.645	31.953	.003
17	85.09	77.12	17.248	28.860	31.012	.001
18	84.92	77.15	19.083	28.046	30.019	.000
19	84.72	77.18	21.000	27.204	28.974	.000
20	84.52	77.21	22.994	26.337	27.880	.000
21	84.30	77.25	25.056	25.449	26.743	.000
22	84.07	77.29	27.168	24.549	25.570	.000
23	83.83	77.33	29.312	23.647	24.370	.000
24	83.76	79.79	29.459	22.072	28.257	.000
25	83.66	79.78	29.796	20.607	29.378	.000
26	83.53	79.79	30.455	19.306	30.025	.000
27	83.37	79.80	31.599	18.030	30.173	.000
28	83.12	79.84	33.446	16.622	29.769	.000
29	82.76	79.90	36.287	14.901	28.710	.000
30	82.23	80.00	40.466	12.695	26.840	.000

ETAPA TEMP. FLUJO TOTAL FLUJO POR COMPONENTE (TODOS SON VAPOR)

1	106.60	81.55	1.131	30.561	16.027	33.828
2	101.18	77.44	1.414	31.289	21.036	23.705
3	98.56	74.36	1.658	30.944	25.216	16.547
4	96.64	72.42	1.869	30.208	28.416	11.928
5	95.36	71.25	2.049	29.424	30.676	9.096
6	94.57	70.56	2.204	28.753	32.180	7.423
7	94.09	68.60	2.291	27.601	32.397	6.307
8	88.81	67.79	3.303	27.656	34.024	2.806
9	87.16	67.31	4.476	26.927	34.784	1.125
10	86.33	67.13	5.898	25.972	34.844	.412
11	86.00	67.06	7.330	25.113	34.471	.150
12	85.81	67.05	8.802	24.333	33.863	.055
13	85.67	67.06	10.329	23.586	33.126	.020
14	85.54	67.08	11.923	22.840	32.305	.007
15	85.40	67.10	13.594	22.080	31.421	.003
16	85.25	67.12	15.345	21.294	30.480	.001
17	85.09	67.15	17.180	20.481	29.487	.000
18	84.92	67.18	19.098	19.639	28.442	.000
19	84.72	67.21	21.092	18.771	27.348	.000
20	84.52	67.25	23.153	17.883	26.211	.000
21	84.30	67.29	25.266	16.983	25.038	.000
22	84.07	67.33	27.409	16.082	23.838	.000
23	83.83	119.79	52.557	27.006	40.225	.000

24	83.76	119.76	12.893	25.541	41.346	0.00
25	83.66	119.79	53.552	24.240	41.993	.000
26	83.53	119.80	54.697	22.965	42.141	.000
27	83.37	119.84	56.544	21.556	41.737	.000
28	83.12	119.90	59.384	19.835	40.678	.000
29	82.76	120.00	63.533	17.629	38.808	.000
30	82.23	40.00	23.097	4.934	11.968	.000

MESIDUO = 253E+03

ETAPA TEMP. FLUJO TOTAL FLUJO POR COMPONENTE (TODOS SON LIQUIDOS)

1	106.00	40.00	.265	11.139	3.887	24.708
2	100.99	121.37	1.322	41.701	20.385	57.958
3	98.41	117.25	1.606	42.318	25.360	47.943
4	96.54	114.24	1.850	41.976	29.468	40.947
5	95.31	112.35	2.060	41.252	32.587	36.455
6	94.54	111.22	2.241	40.494	34.775	33.709
7	94.08	110.55	2.401	39.848	36.220	32.081
8	88.79	58.60	2.496	26.220	23.891	5.992
9	87.15	57.79	3.518	26.299	25.475	2.502
10	86.32	57.32	4.700	25.589	26.196	.836
11	85.99	77.14	7.766	33.572	35.382	.419
12	85.81	77.08	9.201	32.717	35.004	.153
13	85.66	77.06	10.675	31.933	34.400	.056
14	85.53	77.07	12.206	31.160	33.665	.020
15	85.39	77.09	13.804	30.430	32.845	.007
16	85.25	77.11	15.479	29.666	31.960	.003
17	85.09	77.13	17.235	28.878	31.018	.001
18	84.91	77.16	19.075	28.461	30.022	.000
19	84.72	77.19	20.998	27.217	28.975	.000
20	84.51	77.22	22.997	26.347	27.880	.000
21	84.29	77.26	25.063	25.457	26.740	.000
22	84.06	77.30	27.181	24.555	25.564	.000
23	83.83	77.34	29.330	23.651	24.361	.000
24	83.75	79.80	29.493	22.073	28.234	.000
25	83.64	79.79	29.852	20.602	29.338	.000
26	83.51	79.80	30.537	19.292	29.969	.000
27	83.33	79.81	31.704	18.007	30.104	.000
28	83.07	79.85	33.563	16.591	29.692	.000
29	82.69	79.90	36.392	14.676	28.637	.000
30	82.14	80.00	40.522	12.685	26.793	.000

ETAPA TEMP. FLUJO TOTAL FLUJO POR COMPONENTE (TODOS SON VAPOR)

1	106.00	81.37	1.057	30.562	16.498	33.250
2	100.99	77.25	1.341	31.199	21.473	23.234
3	98.41	74.24	1.585	30.817	25.581	16.239
4	96.54	72.35	1.795	30.113	28.700	11.747
5	95.31	71.22	1.976	29.354	30.887	9.000
6	94.54	70.55	2.136	28.709	32.333	7.373
7	94.08	68.60	2.231	27.581	32.503	6.283
8	93.79	67.79	2.253	27.660	34.088	2.794
9	93.15	67.32	4.435	26.950	34.209	1.127
10	86.32	67.14	5.861	26.005	34.855	.419
11	85.99	67.08	7.296	25.149	34.477	.153
12	85.61	67.06	8.770	24.365	33.872	.056
13	85.66	67.07	10.301	23.612	33.137	.020
14	85.53	67.09	11.899	22.863	32.317	.007
15	85.39	67.11	13.574	22.098	31.432	.003
16	85.25	67.13	15.330	21.310	30.490	.001
17	85.09	67.16	17.170	20.494	29.495	.000
18	84.91	67.19	19.093	19.649	28.447	.000
19	84.72	67.22	21.092	18.779	27.352	.000

20	84.51	67.26	23.158	17.884	26.113	VOO
21	84.29	67.30	25.276	16.987	25.037	000
22	84.06	67.34	27.425	16.083	23.834	000
23	83.83	119.60	52.588	27.006	40.206	000
24	83.75	119.79	52.947	25.535	41.310	000
25	83.64	119.83	53.632	24.225	41.941	000
26	83.51	119.81	54.799	22.939	42.076	000
27	83.33	119.85	56.658	21.524	41.664	000
28	83.07	119.90	59.487	19.808	40.609	000
29	82.69	120.00	63.617	17.617	38.765	000
30	82.14	40.00	23.095	4.932	11.972	000

RESIDUO = 355E+01

ETAPA TEMP. FLUJO TOTAL FLUJO POR COMPONENTE (TODOS SON LIQUIDOS)

1	106.01	40.00	.265	11.138	3.888	24.708
2	101.00	121.38	1.321	41.706	20.372	57.977
3	98.42	117.25	1.605	42.348	25.344	47.957
4	96.55	114.25	1.850	41.988	29.453	40.955
5	95.31	112.36	2.060	41.263	32.575	36.458
6	94.54	111.22	2.241	40.503	34.766	33.709
7	94.08	110.55	2.401	39.855	36.215	32.081
8	88.79	58.60	2.496	26.225	23.887	5.991
9	87.15	57.79	3.518	26.302	25.473	2.502
10	86.32	57.32	4.700	25.591	26.195	835
11	85.99	77.14	7.766	33.573	35.382	.419
12	85.81	77.08	9.201	32.717	35.005	.153
13	85.66	77.06	10.675	31.933	34.400	.056
14	85.53	77.07	12.205	31.180	33.665	.020
15	85.39	77.09	13.804	30.430	32.846	.007
16	85.25	77.11	15.479	29.666	31.961	.003
17	85.09	77.13	17.235	28.878	31.019	.001
18	84.91	77.16	19.075	28.061	30.023	.000
19	84.72	77.19	20.997	27.217	28.976	.000
20	84.51	77.22	22.997	26.347	27.680	.000
21	84.29	77.26	25.063	25.457	26.741	.000
22	84.05	77.30	27.191	24.554	25.565	.000
23	83.83	77.34	29.330	23.651	24.362	.000
24	83.75	79.80	29.492	22.073	28.235	.000
25	83.64	79.79	29.851	20.602	29.339	.000
26	83.51	79.80	30.536	19.292	29.970	.000
27	83.33	79.81	31.703	18.007	30.105	.000
28	83.07	79.85	33.563	16.592	29.693	.000
29	82.69	79.90	36.391	14.876	28.638	.000
30	82.13	80.00	40.521	12.685	26.794	.000

ETAPA TEMP. FLUJO TOTAL FLUJO POR COMPONENTE (TODOS SON VAPOR)

1	106.01	81.38	1.056	30.568	16.484	33.269
2	101.00	77.25	1.340	31.209	21.456	23.249
3	98.42	74.25	1.585	30.850	25.565	16.246
4	96.55	72.36	1.794	30.125	28.687	11.750
5	95.31	71.22	1.975	29.364	30.878	9.000
6	94.54	70.55	2.136	28.716	32.327	7.372
7	94.08	68.60	2.231	27.586	32.499	6.283
8	88.79	67.79	3.253	27.663	34.085	2.793
9	87.15	67.32	4.435	26.952	34.807	1.127
10	86.32	67.14	5.861	26.006	34.854	.419
11	85.99	67.08	7.296	25.150	34.477	.153
12	85.81	67.06	8.770	24.365	33.872	.056
13	85.66	67.07	10.300	23.613	33.138	.020
14	85.53	67.09	11.899	22.863	32.318	.007
15	85.39	67.11	13.574	22.098	31.433	.003

16	85.45	67.13	15.330	21.310	30.471	.001
17	85.09	67.16	17.170	20.494	29.495	.000
18	84.91	67.19	19.092	19.650	28.448	.000
19	84.72	67.22	21.092	18.779	27.352	.000
20	84.51	67.26	23.158	17.889	26.213	.000
21	84.29	67.30	25.276	16.987	25.037	.000
22	84.06	67.34	27.424	16.083	23.834	.000
	83.83	119.80	52.587	27.006	40.207	.000
24	83.75	119.79	52.946	25.535	41.311	.000
25	83.64	119.80	53.631	24.225	41.942	.000
26	83.51	119.81	54.798	22.939	42.077	.000
27	83.33	119.85	56.658	21.524	41.665	.000
28	83.07	119.90	59.486	19.809	40.610	.000
29	82.69	120.00	63.616	17.618	38.766	.000
30	82.13	40.00	23.095	4.933	11.972	.000

RÉSIDUO = .473E-02

FLUJO DE PRODUCTO, FASE LIQUIDA

1	265	11.138	3.888	24.708	
2	.000	.000	.000	.000	
3	.000	.000	.000	.000	
4	.000	.000	.000	.000	
5	.000	.000	.000	.000	
6	.000	.000	.000	.000	
7	.000	.000	.000	.000	
8	.000	.000	.000	.000	
9	.000	.000	.000	.000	
10	1.640	8.929	9.140	.291	
11	.000	.000	.000	.000	
12	.000	.000	.000	.000	
13	.000	.000	.000	.000	
14	.000	.000	.000	.000	
15	.000	.000	.000	.000	
16	.000	.000	.000	.000	
17	.000	.000	.000	.000	
18	.000	.000	.000	.000	
19	.000	.000	.000	.000	
20	.000	.000	.000	.000	
21	.000	.000	.000	.000	
22	.000	.000	.000	.000	
23	.000	.000	.000	.000	
24	.000	.000	.000	.000	
25	.000	.000	.000	.000	
26	.000	.000	.000	.000	
27	.000	.000	.000	.000	
28	.000	.000	.000	.000	
29	.000	.000	.000	.000	
30	.000	.000	.000	.000	

FLUJO DE PRODUCTO, FASE VAPOR

1	.000	.000	.000	.000	
2	.000	.000	.000	.000	
3	.000	.000	.000	.000	
4	.000	.000	.000	.000	
5	.000	.000	.000	.000	
6	.000	.000	.000	.000	
7	.000	.000	.000	.000	
8	.000	.000	.000	.000	
9	.000	.000	.000	.000	
10	.000	.000	.000	.000	
11	.000	.000	.000	.000	

12	.000	.000	.000	.000
13	.000	.000	.000	.000
14	.000	.000	.000	.000
15	.000	.000	.000	.000
16	.000	.000	.000	.000
17	.000	.000	.000	.000
18	.000	.000	.000	.000
19	.000	.000	.000	.000
20	.000	.000	.000	.000
21	.000	.000	.000	.000
22	.000	.000	.000	.000
23	.000	.000	.000	.000
24	.000	.000	.000	.000
25	.000	.000	.000	.000
26	.000	.000	.000	.000
27	.000	.000	.000	.000
28	.000	.000	.000	.000
29	.000	.000	.000	.000
30	23.095	4.933	11.972	.000

PERFIL DEL FACTOR K EN LA COLUMNA

1	1.957	1.349	2.084	.662
2	1.764	1.211	1.846	.533
3	1.684	1.164	1.725	.449
4	1.623	1.134	1.624	.385
5	1.582	1.118	1.550	.342
6	1.557	1.112	1.499	.314
-	1.542	1.110	1.466	.297
	1.282	.918	1.264	.192
9	1.208	.873	1.187	.145
10	1.177	.855	1.138	.119
11	1.172	.849	1.116	.108
12	1.174	.844	1.104	.104
13	1.179	.838	1.096	.102
14	1.184	.830	1.091	.102
15	1.189	.822	1.086	.101
16	1.193	.812	1.081	.102
17	1.197	.801	1.076	.102
18	1.199	.789	1.071	.101
19	1.200	.776	1.065	.101
20	1.200	.763	1.059	.101
21	1.199	.748	1.053	.100
22	1.197	.734	1.047	.100
23	1.193	.718	1.041	.099
24	1.199	.752	.986	.099
25	1.203	.765	.958	.098
26	1.206	.773	.936	.098
27	1.207	.774	.919	.098
28	1.204	.765	.900	.097
29	1.196	.746	.883	.096
30	1.190	.714	.863	.094

PERFIL DE FRACCION MOL EN LA COLUMNA(FASE LIQUIDA)

1	.007	.278	.037	.618
2	.011	.344	.162	.478
3	.014	.361	.216	.409
4	.016	.369	.258	.358
5	.018	.367	.290	.324
6	.020	.364	.313	.303

7	.022	.361	.328	.294
8	.043	.448	.402	.102
9	.061	.455	.441	.043
10	.082	.446	.457	.015
11	.101	.435	.459	.005
12	.119	.424	.454	.002
13	.139	.414	.446	.001
	.158	.405	.437	.000
15	.179	.395	.426	.000
16	.201	.385	.414	.000
17	.223	.374	.402	.000
18	.247	.364	.369	.000
19	.272	.353	.375	.000
20	.298	.341	.361	.000
21	.324	.329	.346	.000
22	.352	.318	.331	.000
23	.379	.306	.315	.000
24	.370	.277	.354	.000
25	.374	.258	.368	.000
26	.383	.242	.376	.000
27	.397	.226	.377	.000
28	.420	.208	.372	.000
29	.455	.186	.358	.000
30	.507	.159	.335	.000

PERFIL DE FRACCION MOL EN LA COLUMNA(FASE VAPOR)

1	.013	.376	.203	.409
2	.017	.404	.278	.301
3	.021	.416	.344	.219
4	.025	.416	.396	.162
-	.028	.412	.434	.126
	.030	.407	.458	.104
7	.033	.402	.474	.092
8	.049	.408	.503	.041
9	.056	.400	.517	.017
10	.087	.387	.519	.006
11	.109	.375	.514	.002
12	.131	.363	.505	.001
13	.154	.352	.494	.000
14	.177	.341	.482	.000
15	.202	.329	.468	.000
16	.226	.317	.454	.000
17	.256	.305	.439	.000
18	.284	.292	.423	.000
19	.314	.279	.407	.000
20	.344	.266	.390	.000
21	.376	.252	.372	.000
22	.407	.239	.354	.000
23	.439	.225	.336	.000
24	.442	.213	.345	.000
25	.448	.202	.350	.000
26	.457	.191	.351	.000
27	.473	.180	.348	.000
28	.496	.165	.339	.000
29	.530	.147	.323	.000
30	.577	.123	.299	.000

EL CALOR A SER ALIMENTADO AL REBOILER ES 6659E+05(CAL/HR)

EL CALOR A SER REMOVIDO POR EL CONDENSADOR ES 7706E+06(CAL/HR)

TABLA D.4 RESULTADOS COMPUTACIONALES DEL SISTEMA 2.
 -2 DI LO OE AN -N PR PA OL TO UE O- CE ON

INCLUYENDO COEFICIENTES DE ACTIVIDAD

INCLUYENDO COEFICIENTES DE FUGACIDAD

INCLUYENDO DIMERIZACION

INCLUYENDO EXCESOS DE ENTALPIA

OMPOSICION DE ALIMENTACION Y PARAMETROS DE ANTOINE

1	25.000	6 803	949 620	239.000
2	25.000	7 997	1569 700	209 500
3	25.000	7 024	1161.000	224.000
4	25.000	7 183	1416 700	211.000

NUMERO DE ETAPAS 30
 DESTILADO 40.000
 RELACION DE PEFLUJO 2.000000
 PRESION TOTAL 1.000

CONFIGURACION DE FLUJO

I	FL	FV	SL	SV	FKV	CORRIENTES DE ALIMENTACION
1	40.0	70.0	0	0	0	0 0 0
2	110.0	70.0	0	0	0	0 0 0
3	110.0	70.0	0	0	0	0 0 0
4	110.0	70.0	0	0	0	0 0 0
5	110.0	70.0	0	0	0	0 0 0
6	110.0	70.0	0	0	0	0 0 0
7	110.0	70.0	0	0	0	12.5 12.5 25.0
8	60.0	70.0	0	0	0	0 0 0
9	60.0	70.0	0	0	0	0 0 0
10	60.0	70.0	20.0	0	0	0 0 0
11	80.0	70.0	0	0	0	0 0 0
12	80.0	70.0	0	0	0	0 0 0
13	80.0	70.0	0	0	0	0 0 0
14	80.0	70.0	0	0	0	0 0 0
15	80.0	70.0	0	0	0	0 0 0
16	80.0	70.0	0	0	0	0 0 0
17	80.0	70.0	0	0	0	0 0 0
18	80.0	70.0	0	0	0	0 0 0
19	80.0	70.0	0	0	0	0 0 0
20	80.0	70.0	0	0	0	0 0 0
21	80.0	70.0	0	0	0	0 0 0
22	80.0	70.0	0	0	0	0 0 0
23	80.0	120.0	0	0	1.0 25.0	12.5 12.5 0
24	80.0	120.0	0	0	0	0 0 0
25	80.0	120.0	0	0	0	0 0 0
26	80.0	120.0	0	0	0	0 0 0
27	80.0	120.0	0	0	0	0 0 0
28	80.0	120.0	0	0	0	0 0 0
29	80.0	120.0	0	0	0	0 0 0
30	80.0	40.0	0	0	0	0 0 0

- 202 -

ETAPA TEMP FLUJO TOTAL FLUJO POR COMPONENTE (TODOS SON LIQUIDOS)

1	70.00	55.52	000	27.564	000	27.960
2	72.00	133.02	000	67.785	16.359	48.877
3	74.00	126.68	000	60.714	22.138	43.829
4	76.00	120.93	000	56.152	24.303	40.474
5	78.00	116.50	000	53.346	24.732	38.426
6	77.15	113.20	000	51.723	24.255	37.223
7	76.62	110.88	000	50.968	23.325	36.583
8	73.56	59.78	000	38.507	9.866	11.405
9	72.22	58.87	000	38.566	10.161	10.139
10	71.09	58.62	990	38.126	10.490	9.212
11	70.56	78.83	2.564	50.260	14.399	11.610
12	72.00	78.76	3.578	49.554	14.624	11.004
13	74.00	78.69	4.465	48.984	14.751	10.491
14	76.00	76.61	5.245	48.519	14.806	10.045
15	78.00	78.54	5.935	48.138	14.810	9.654
16	80.00	78.46	6.549	47.826	14.777	9.305
17	82.00	78.38	7.101	47.573	14.717	8.989
18	84.00	78.30	7.601	47.369	14.535	8.699
19	86.00	78.23	8.061	47.207	14.531	9.429
20	88.00	78.15	8.499	47.082	14.393	8.177
21	90.00	78.04	8.941	46.981	14.183	7.936
22	92.00	77.96	9.539	46.889	13.817	7.716
23	94.00	76.93	10.075	46.676	12.805	7.429
24	96.00	81.50	11.117	47.293	14.275	8.619
25	98.00	81.23	11.291	47.457	14.095	8.392
26	100.00	81.06	11.478	47.664	13.954	7.967
27	102.00	80.90	11.663	47.545	13.995	7.499
28	104.00	80.78	11.935	47.749	14.191	6.905
29	106.00	80.83	13.037	46.027	15.925	5.837
30	108.00	80.00	19.979	35.020	22.605	2.396

E. FA TEMP. FLUJO TOTAL FLUJO POR COMPONENTE (TODOS SON VAPOR)

1	70.00	78.21	000	40.221	17.068	20.917
2	72.00	71.87	000	33.149	22.947	15.869
3	74.00	69.69	3.572	28.588	25.012	12.514
4	76.00	69.32	7.634	25.782	25.442	10.466
5	78.00	68.89	10.497	24.159	24.964	9.263
6	77.15	68.42	12.363	23.403	24.035	8.624
7	76.62	68.67	13.703	23.443	23.075	8.446
8	73.56	68.83	14.782	23.501	23.371	7.179
9	72.22	68.82	15.805	23.062	23.699	6.282
10	71.09	68.83	16.950	22.368	24.013	5.481
11	70.56	68.76	17.965	21.583	24.238	4.875
12	72.00	68.59	18.852	21.113	24.366	4.362
13	74.00	68.61	19.631	20.647	24.420	3.916
14	76.00	68.54	20.321	20.266	24.424	3.525
15	78.00	68.46	20.935	19.955	24.391	3.176
16	80.00	68.38	21.487	19.701	24.331	2.860
17	82.00	68.30	21.937	19.497	24.250	2.570
18	84.00	68.23	22.447	19.336	24.145	2.300
19	86.00	68.15	22.885	19.211	24.007	2.048
20	88.00	68.04	23.327	19.110	23.797	1.807
21	90.00	67.96	23.925	19.018	23.431	1.527
22	92.00	68.98	24.461	18.805	22.419	1.366
23	94.00	121.50	50.503	31.921	36.390	2.690
	96.00	121.23	50.677	32.055	36.207	2.263
25	98.00	121.04	50.864	32.293	36.968	1.639
26	100.00	120.90	51.049	32.474	36.009	1.370
27	102.00	120.78	51.321	32.378	36.305	1.776
28	104.00	121.12	52.422	30.656	38.039	0.600
29	106.00	123.73	59.365	19.649	44.715	0.000
30	108.00	61.50	39.386	900	22.114	0.000

RESIDUO = 809E+05

ETAPA	TEMP.	FLUJO TOTAL	FLUJO POR COMPONENTE	(TODOS SON LIQUIDOS)	
1	80.00	40.72	.000	20.533	20.184
2	82.00	93.70	.000	42.692	51.003
3	84.00	91.80	.000	45.246	46.556
4	86.00	91.74	.000	46.943	42.785
5	88.00	91.93	.000	47.964	3.812
6	97.15	92.23	.000	48.515	5.266
7	86.62	92.59	.006	48.330	7.155
8	83.56	46.15	.000	35.135	.000
9	82.22	47.55	.000	37.457	.000
10	81.09	49.23	.000	39.719	.000
11	80.56	71.93	.000	59.127	.000
12	82.00	71.39	.000	59.737	.000
13	84.00	70.36	.000	60.109	.000
14	86.00	69.37	.000	60.342	.000
15	88.00	68.22	.000	60.374	.010
16	89.75	67.26	.000	60.292	.000
17	88.91	66.20	.000	60.067	.000
18	88.22	65.15	.000	59.741	.000
19	87.65	64.42	.000	59.319	.331
20	87.13	64.47	.000	58.781	1.475
21	86.53	64.40	.000	58.038	2.661
22	85.54	63.93	.000	58.878	3.856
23	84.00	63.20	2.118	54.231	4.253
24	86.00	67.90	2.029	56.367	5.491
25	88.00	67.97	2.479	54.771	6.242
26	90.00	68.29	2.936	53.576	6.885
27	92.00	68.67	3.459	52.230	7.954
28	94.00	69.38	4.355	49.919	9.945
29	96.00	71.03	6.796	44.116	15.312
30	98.00	80.00	19.585	26.509	30.271

ETAPA TEMP. FLUJO TOTAL FLUJO POR COMPONENTE (TODOS SON VAPOR)

1	80.00	52.98	.000	22.159	000	30.819
2	82.00	51.75	.000	24.713	.669	26.372
3	84.00	51.74	.000	26.410	2.726	22.501
4	86.00	51.93	.000	27.431	4.549	19.954
5	88.00	52.23	.000	27.982	6.003	18.246
6	87.15	52.59	.006	27.797	7.973	16.911
7	86.62	52.39	.000	27.101	9.453	15.833
8	83.56	50.99	.000	29.424	6.658	14.911
9	82.22	50.76	.000	31.686	4.740	14.329
10	81.09	51.11	.000	33.431	4.305	13.376
11	80.56	51.70	.000	34.041	5.522	12.131
12	82.00	52.36	.000	34.413	7.119	10.829
13	84.00	52.94	.000	34.646	8.691	9.606
14	86.00	53.40	.000	34.698	10.193	8.507
15	88.00	53.74	.030	34.596	11.599	7.542
16	89.75	53.99	.000	34.371	12.907	6.706
17	88.91	54.15	.000	34.045	14.127	5.999
18	88.22	54.26	.000	33.624	15.287	5.348
19	87.65	54.30	.000	33.085	16.431	4.738
20	87.12	54.34	.000	32.342	17.617	4.275
21	86.52	53.99	1.13	31.182	18.912	3.775
22	85.54	53.20	0.281	28.575	19.209	3.178
23	84.00	107.90	27.192	43.171	32.937	4.603
24	86.00	107.97	27.644	41.575	33.697	5.068
25	88.00	108.29	28.130	40.386	34.441	5.371
26	90.00	108.67	28.623	35.674	35.415	5.600
27	92.04	109.39	29.519	36.723	37.460	5.736 -204-

28	94.00	111.03	31.360	30.020	42.768	5.779
29	96.00	120.00	44.748	13.313	58.327	3.612
30	98.00	53.20	35.163	000	27.456	577

RESIDUO = .413E+05

E °A TEMP. FLUJO TOTAL FLUJO POR COMPONENTE (TODOS SON LIQUIDOS)

1	90.00	40.00	.000	16.548	3.595	19.856
2	91.68	51.42	.000	24.555	4.267	22.573
3	90.96	51.37	.000	25.006	4.821	21.548
4	90.01	51.68	.000	25.264	6.214	20.202
5	89.22	52.16	.000	25.497	8.160	18.501
6	88.49	52.69	.000	25.617	10.373	16.696
7	87.56	52.44	.000	25.210	12.753	14.474
8	88.73	52.28	.000	26.432	12.571	13.274
9	89.35	52.18	.000	27.394	12.335	12.454
10	90.02	52.02	.000	28.227	11.879	11.914
11	90.42	51.55	.000	28.774	11.162	11.619
12	90.13	51.17	.000	29.239	10.554	11.374
13	89.83	50.89	.000	29.618	10.087	11.183
14	89.70	50.70	.000	29.853	9.735	11.110
15	89.66	50.59	.000	29.862	9.496	11.237
16	89.63	50.58	.000	29.516	9.418	11.644
17	89.35	50.60	.000	29.019	9.413	12.166
18	88.90	50.74	.000	29.309	9.369	12.762
19	88.40	51.11	.003	27.564	10.345	13.202
20	88.45	51.34	.030	27.409	10.954	12.913
21	88.45	51.26	.263	27.576	11.676	11.742
22	88.54	50.23	2.293	25.976	12.415	9.598
23	76.84	60.28	2.293	45.110	4.905	7.978
24	79.85	65.80	2.062	45.485	6.424	11.825
25	80.04	65.82	2.349	43.362	7.411	12.695
26	80.09	65.46	2.715	41.459	8.698	13.593
27	82.00	67.37	3.214	39.049	10.741	14.368
28	84.00	69.04	4.155	35.223	15.040	14.624
29	96.00	72.84	6.944	27.817	24.998	13.094
30	88.00	80.00	18.303	11.843	41.419	8.435

ETAPA TEMP. FLUJO TOTAL FLUJO POR COMPONENTE (TODOS SON VAPOR)

1	90.00	51.77	.000	24.131	4.577	23.058
2	91.68	51.42	.000	24.555	4.267	22.573
3	90.96	51.37	.000	25.006	4.821	21.548
4	90.01	51.68	.000	25.264	6.214	20.202
5	89.22	52.16	.000	25.497	8.160	18.501
6	88.49	52.69	.000	25.617	10.373	16.696
7	87.56	52.44	.000	25.210	12.753	14.474
8	88.73	52.28	.000	26.432	12.571	13.274
9	89.35	52.18	.000	27.394	12.335	12.454
10	90.02	52.02	.000	28.227	11.879	11.914
11	90.42	51.55	.000	28.774	11.162	11.619
12	90.13	51.17	.000	29.239	10.554	11.374
13	89.83	50.89	.000	29.618	10.087	11.183
14	89.70	50.70	.000	29.853	9.735	11.110
15	89.66	50.59	.000	29.862	9.496	11.237
16	89.63	50.58	.000	29.516	9.418	11.644
17	89.35	50.60	.000	29.019	9.413	12.166
18	88.90	50.74	.000	29.309	9.369	12.762
19	88.40	51.11	.003	27.564	10.345	13.202
20	88.45	51.34	.030	27.409	10.954	12.913
21	88.45	51.26	.263	27.576	11.676	11.742
22	88.54	50.23	2.293	25.976	12.415	9.598
23	76.84	60.28	2.293	45.110	4.905	7.978
24	79.85	65.80	2.062	45.485	6.424	11.825
25	80.04	65.82	2.349	43.362	7.411	12.695
26	80.09	65.46	2.715	41.459	8.698	13.593
27	82.00	67.37	3.214	39.049	10.741	14.368
28	84.00	69.04	4.155	35.223	15.040	14.624
29	96.00	72.84	6.944	27.817	24.998	13.094
30	88.00	80.00	18.303	11.843	41.419	8.435

24	79.85	105.82	27	349	36.730	27.422	14.315
25	80.04	106.46	27	715	34.837	28.708	15.214
26	80.59	107.37	28	214	32.417	30.752	15.989
27	82.00	109.04	29	155	28.591	35.050	16.245
28	84.00	112.84	31	944	21.186	44.999	14.715
29	86.00	120.00	43	303	5.211	61.429	10.056
30	88.00	46.63		25.000	0.000	20.011	1.621

HESIDUO = .984E+04

ETAPA	TEMP	FLUJO TOTAL	FLUJO POR COMPONENTE	(TODOS SON LIQUIDOS)		
1	90.24	40.00	.000	15.592	3.034	21.374
2	89.98	89.44	.000	40.185	7.527	41.731
3	89.58	89.76	.000	40.155	8.732	40.869
4	89.13	90.05	.000	40.265	9.956	39.829
5	88.59	90.36	.000	40.368	11.262	38.729
6	87.94	90.70	.000	40.405	12.714	37.586
7	87.18	91.10	.000	40.359	14.356	36.385
8	87.85	40.61	.000	27.274	3.481	9.857
9	88.04	40.42	.000	28.004	3.251	9.164
10	88.25	40.31	.000	28.513	3.077	8.718
11	88.32	60.20	.000	43.046	4.398	12.752
12	88.24	60.10	.000	43.178	4.214	12.711
13	88.12	60.05	.000	43.141	4.081	12.830
14	87.95	60.03	.000	42.958	3.997	13.080
15	87.74	60.05	.000	42.642	3.965	13.441
16	87.51	60.10	.000	42.216	4.006	13.876
17	87.32	60.19	.000	41.750	4.140	14.298
18	87.18	60.28	.000	41.414	4.321	14.544
19	87.17	60.38	.002	41.275	4.570	14.534
20	87.23	60.47	.011	41.394	4.846	14.214
21	86.77	60.45	.069	41.648	5.133	13.603
22	84.33	60.28	.434	41.485	5.656	12.704
23	73.78	59.05	2.575	39.387	6.170	10.919
24	77.52	65.09	2.196	39.510	7.820	15.566
25	77.46	64.47	2.191	38.900	8.107	15.276
26	76.81	64.61	2.196	38.933	8.812	14.667
27	75.19	65.20	2.291	38.589	10.871	13.445
28	74.00	66.85	2.755	36.718	16.497	10.884
29	76.00	71.26	5.148	30.219	29.943	5.950
30	78.00	80.00	17.235	12.215	50.131	.419

ETAPA TEMP FLUJO TOTAL FLUJO POR COMPONENTE (TODOS SON VAPOR)

1	90.34	49.44	.000	24.593	4.493	20.357
2	89.98	49.76	.000	24.562	5.698	19.495
3	89.58	50.05	.000	24.673	6.922	18.455
4	89.13	50.36	.000	24.776	8.228	17.355
5	88.59	50.70	.000	24.813	9.680	16.212
6	87.94	51.10	.000	24.767	11.322	15.011
7	87.18	50.61	.000	24.182	12.947	13.483
8	87.65	50.42	.000	24.912	12.717	12.790
9	88.04	50.31	.000	25.421	12.543	12.344
10	88.25	50.20	.000	25.772	12.332	12.091
11	88.32	50.10	.000	25.904	12.149	12.050
	88.24	50.05	.000	25.867	12.016	12.168
13	88.12	50.03	.000	25.634	11.932	12.419
14	87.95	50.05	.000	25.369	11.900	12.780
15	87.74	50.10	.000	24.943	11.941	13.215
16	87.51	50.19	.000	24.476	12.075	13.637
17	87.32	50.28	.000	24.140	12.256	13.883
18	87.18	50.38	.002	24.002	12.504	13.873
19	87.17	50.46	.011	24.121	12.790	13.553

20	87 23	50.46	067	24 274	13 665	16 942
21	86 77	50.29	434	24 211	13 551	16 647
22	84 33	49.05	2 575	22 113	14 105	16 259
23	73 78	105.09	27 196	34 737	28 255	14 905
24	77 52	104.47	27 191	34 127	28 542	14 615
25	77 46	104.61	27 196	34 155	29 247	14 206
26	76 81	105.23	27 291	33 916	31 308	12 784
27	75 19	106.85	27 755	31 945	36 932	10 223
28	74 00	111.26	30 146	25 445	50 377	5 289
29	76 00	120.24	42 235	7 441	76 565	000
30	78 00	45.43	25 000	300	20 435	000

RESIDUO = 374E+04

ETAPA	TEMP	FLUJO TOTAL	FLUJO POR COMPONENTE	(TODOS SON LIQUIDOS)	
1	90 02	40.00	000	14 992	3 515 21 493
2	89 57	80.76	000	35 519	8 045 37 196
3	89 12	81.02	000	25 371	9 255 36 456
4	88 63	81.37	000	35 320	10 417 35 571
5	88 08	81.65	000	35 259	11 554 34 658
6	87 47	81.95	000	35 179	12 618 33 746
7	86 77	82.25	000	35 305	14 122 32 847
8	87 56	31.65	000	22 225	2 653 6 728
9	87 81	31.41	000	23 044	2 395 5 974
10	88 02	31.27	000	23 683	2 162 5 400
11	88 08	51.13	000	39 138	3 434 8 560
12	88 14	51.06	000	39 494	3 342 8 229
13	88 16	51.02	000	39 742	3 252 7 986
14	88 15	51.00	000	39 910	3 274 7 811
15	88 12	50.99	000	40 012	3 279 7 627
16	88 06	50.99	000	40 052	3 293 7 644
17	87 99	51.00	000	40 030	3 307 7 660
18	87 91	51.01	000	39 949	3 321 7 740
19	87 81	51.02	001	39 834	3 345 7 642
20	87 63	51.04	008	39 702	3 418 7 905
21	87 01	51.06	051	39 532	3 644 7 836
22	84 .41	50.95	342	39 065	4 071 7 475
23	72 78	49.84	2 140	36 942	4 406 6 349
24	76 55	55.67	1 831	37 884	5 915 10 042
25	75 90	55.27	1 847	36 564	6 706 10 155
26	74 01	55.86	1 297	35 648	8 619 9 674
27	68 98	57.32	2 021	33 850	13 464 7 941
28	64 00	61.25	2 489	29 449	25 218 4 099
29	66 00	71.63	4 549	19 065	48.013 000
30	68 00	80.98	14 286	1 371	65 321 .000

ETAPA TEMP FLUJO TOTAL FLUJO POR COMPONENTE (TODOS SON VAPOR)

1	90 02	40 76	000	20 527	4 531	15 703
2	89 57	41 06	000	20 379	5 740	14 963
3	89 12	41 37	000	20 396	6 902	14 078
4	88 62	41 65	000	20 407	9 075	13 165
5	88 08	41 95	000	20 387	9 203	12 255
6	87 47	42 25	000	20 313	10 857	11 354
7	86 77	41 65	000	19 733	11 676	10 235
8	87 56	41 41	000	20 552	11 340	9 481
9	87 51	41 27	000	21 721	10 934	8 907
10	88 02	41 13	000	22 077	10 902	8 086
11	88 03	41 06	000	22 735	10 652	7 943
12	88 14	41 02	000	22 635	10 834	7 669
13	88 16	41 00	000	22 493	10 834	7 554
14	88 15	40 93	000	22 574	10 828	7 554
15	88 12	40 99	000	22 635	10 853	7 554 -207-

16	88.06	41.04	.009	22.513	10.857	4.517
17	87.99	41.01	.000	22.532	10.889	7.597
18	87.91	41.02	.001	22.417	10.905	7.699
19	87.81	41.04	.008	22.285	10.987	7.762
20	87.63	41.06	.051	22.115	11.204	7.694
21	87.01	40.55	.342	21.548	11.631	7.332
22	84.41	39.84	2.140	19.525	11.966	6.207
	72.78	95.67	26.831	32.367	25.975	9.900
24	76.55	95.27	26.847	31.647	26.765	10.012
25	75.90	95.86	26.897	30.731	28.679	9.551
26	74.01	97.32	27.021	28.973	33.524	7.798
27	68.98	101.25	27.489	24.532	45.277	3.956
28	64.00	111.77	29.549	14.148	68.072	0.000
29	66.00	124.67	39.286	0.000	85.380	0.000
30	68.00	45.06	25.000	0.000	20.060	0.000

RESIDUO = 575E+04

ETAPA	TEMP.	FLUJO TOTAL	FLUJO POR COMPONENTE	(TODOS SON LIQUIDOS)		
1	89.72	40.00	.000	13.943	4.153	21.905
2	89.14	75.54	.000	32.033	8.692	34.819
3	88.64	75.87	.000	31.801	9.897	34.172
4	88.13	76.14	.000	31.751	10.988	33.401
5	87.59	76.39	.000	31.724	12.031	32.637
6	87.03	76.64	.000	31.674	13.050	31.913
7	86.45	76.88	.000	31.592	14.054	31.275
8	87.26	26.20	.000	19.545	2.271	5.386
9	87.56	26.00	.000	19.269	2.003	4.725
10	87.86	25.85	.000	19.899	1.790	4.173
11	88.01	45.71	.000	35.822	2.971	6.913
12	88.15	45.61	.000	36.254	2.929	6.528
	88.27	45.54	.000	36.589	2.719	6.229
14	88.36	45.48	.000	36.855	2.632	5.950
15	88.43	45.43	.000	37.069	2.561	5.798
16	88.47	45.39	.000	37.241	2.506	5.644
17	88.50	45.36	.000	37.374	2.466	5.521
18	88.49	45.34	.000	37.472	2.445	5.424
19	88.43	45.33	.001	37.531	2.454	5.345
20	88.22	45.33	.005	37.540	2.520	5.269
21	87.50	45.35	.037	37.441	2.713	5.154
22	84.62	45.27	.273	36.957	3.149	4.887
23	71.78	44.31	1.849	34.764	3.588	4.103
24	74.65	50.11	1.606	36.286	5.560	6.655
25	70.82	50.48	1.735	33.573	8.722	6.348
26	64.01	53.24	2.009	29.838	17.289	4.106
27	58.98	62.33	2.495	21.435	38.396	0.000
28	54.00	84.27	2.732	7.098	74.451	0.000
29	56.00	99.07	2.089	0.000	96.979	0.000
30	58.00	89.05	8.543	.000	80.511	0.000

ETAPA	TEMP.	FLUJO TOTAL	FLUJO POR COMPONENTE	(TODOS SON VAPOR)		
1	89.72	35.54	.000	18.090	4.539	12.915
2	89.14	35.87	.000	17.858	5.744	12.267
3	88.64	36.14	.000	17.808	6.835	11.496
4	88.13	36.39	.000	17.781	7.878	10.733
5	87.59	36.64	.000	17.731	8.898	10.009
6	87.03	36.88	.000	17.650	9.901	9.330
7	96.45	36.20	.000	17.103	10.618	8.481
8	87.28	36.00	.000	17.526	10.350	7.620
9	87.56	35.85	.000	18.445	10.137	7.269
10	87.96	35.71	.000	19.034	9.932	6.740
11	88.01	35.61	.000	19.466	9.789	6.356

1	88.15	35.54	.000	19.801	9.680	6.056
13	88.27	35.48	.000	20.057	9.592	5.817
14	88.36	35.43	.000	20.281	9.522	5.826
15	88.43	35.39	.000	20.452	9.466	5.471
16	88.47	35.36	.000	20.586	9.426	5.348
17	88.50	35.34	.000	20.693	9.405	5.251
18	88.49	35.33	.001	20.743	9.415	5.173
19	88.43	35.33	.005	20.752	9.481	5.096
20	88.22	35.35	.037	20.652	9.674	4.982
21	87.50	35.27	.273	20.169	10.109	4.714
22	84.62	34.31	1.849	17.976	10.549	3.931
23	71.78	90.11	26.606	31.998	25.021	6.483
24	74.65	90.48	26.735	29.385	28.183	6.175
25	70.82	93.24	27.009	25.549	36.750	3.934
26	64.01	102.50	27.495	17.147	57.856	.000
27	58.98	124.44	27.732	2.800	93.912	.000
28	54.00	143.53	27.089	.000	116.440	.000
29	56.00	133.52	33.543	.000	99.972	.000
30	58.00	44.46	25.000	.000	19.461	.000

RESIDUO = .180E+05

ETAPA	TEMP.	FLUJO TOTAL	FLUJO POR COMPONENTE	(TODOS SON LIQUIDOS)		
1	89.66	40.00	.000	14.074	4.120	21.807
2	89.08	76.10	.000	32.446	8.616	35.036
3	88.59	76.42	.000	32.209	9.815	34.397
4	88.08	76.69	.000	32.162	10.901	33.627
5	87.56	76.94	.000	32.143	11.943	32.856
6	87.01	77.19	.000	32.103	12.973	32.115
7	86.44	77.44	.000	32.031	14.003	31.409
8	87.22	26.78	.000	18.990	2.271	5.519
9	87.53	26.58	.000	19.727	2.003	4.846
10	87.86	26.43	.000	20.362	1.788	4.278
11	88.08	46.29	.000	36.387	2.937	6.963
12	88.26	46.18	.000	36.857	2.786	6.540
13	88.42	46.10	.000	37.232	2.669	6.201
14	88.55	46.04	.000	37.543	2.575	5.918
15	88.66	45.98	.000	37.806	2.497	5.676
16	88.76	45.93	.000	38.034	2.433	5.465
17	88.83	45.89	.000	38.233	2.383	5.276
18	88.85	45.86	.000	38.402	2.354	5.102
19	88.77	45.84	.001	38.534	2.369	4.933
20	88.38	45.84	.005	38.593	2.495	4.745
21	87.05	45.88	.039	38.457	2.902	4.480
22	82.45	45.91	.291	37.688	3.949	3.981
23	66.20	45.28	1.990	34.641	5.768	2.881
24	64.65	53.72	2.053	32.681	15.743	3.242
25	60.82	64.73	2.933	20.019	41.777	.000
26	54.01	71.00	3.715	.000	67.289	.000
27	48.98	89.49	1.092	.000	98.396	.000
28	46.14	124.45	.000	.000	124.451	.000
29	47.76	106.88	.153	.000	106.731	.000
30	48.00	92.35	5.661	.000	86.690	.000

ETAPA TEMP. FLUJO TOTAL FLUJO POR COMPONENTE (TODOS SON VAPOR)

1	89.66	36.10	.000	18.372	4.497	13.229
2	89.08	36.42	.000	18.135	5.695	12.591
3	88.59	36.69	.000	18.089	6.781	11.821
4	88.08	36.94	.000	18.065	7.824	11.050
5	87.56	37.19	.000	18.029	8.854	10.309
6	87.01	37.44	.000	17.957	9.833	9.602
7	86.44	36.78	.000	17.416	10.651	8.713

8	87.22	36.58	.000	18.153	19.393	5.059
9	87.53	36.43	.000	18.788	10.168	7.471
10	87.84	36.29	.000	19.403	9.965	6.919
11	88.08	36.18	.000	19.873	9.814	5.496
12	88.26	36.10	.000	20.248	9.697	6.157
13	88.42	36.04	.000	20.559	9.603	5.874
14	88.55	35.98	.000	20.822	9.525	5.632
15	88.66	35.93	.000	21.050	9.461	5.421
16	88.76	35.89	.000	21.249	9.410	5.232
17	88.83	35.86	.000	21.419	9.381	5.058
18	88.85	35.84	.001	21.551	9.397	4.889
19	88.77	35.84	.005	21.609	9.523	4.701
20	88.38	35.86	.039	21.473	9.929	4.436
21	87.05	35.91	.291	20.705	10.977	3.937
22	82.45	35.28	1.990	17.657	12.796	2.837
23	66.20	93.72	27.053	28.197	35.271	3.198
24	64.65	104.77	27.933	15.535	61.305	.000
25	60.82	115.47	28.715	.000	86.750	.000
26	54.01	133.95	26.092	.000	107.856	.000
27	49.98	167.66	23.748	.000	143.912	.000
28	46.14	151.41	25.153	.000	126.259	.000
29	47.76	136.88	30.661	.000	106.218	.000
30	48.00	44.53	25.000	.000	19.528	.000

RESIDUO = .631E+05

ETAPA	TEMP.	FLUJO TOTAL	FLUJO POR COMPONENTE	(TODOS SON LIQUIDOS)		
1	89.67	40.00	.000	14.108	4.108	21.783
2	89.09	76.16	.000	32.500	8.607	35.057
3	88.60	76.49	.000	32.267	9.805	34.415
4	88.09	76.76	.000	32.222	10.891	33.643
5	87.56	77.01	.000	32.203	11.935	32.871
6	87.02	77.26	.000	32.164	12.967	32.127
7	86.44	77.51	.000	32.092	13.999	31.418
8	87.24	26.85	.000	19.051	2.272	5.524
9	87.54	26.64	.000	19.797	2.001	4.842
10	87.88	26.49	.000	20.441	1.784	4.266
11	88.11	46.35	.000	36.501	2.923	6.923
12	88.29	46.24	.000	36.982	2.770	6.489
13	88.45	46.16	.000	37.369	2.651	6.137
14	88.58	46.09	.000	37.691	2.557	5.840
15	88.68	46.03	.000	37.965	2.485	5.582
16	88.72	45.99	.000	38.197	2.442	5.348
17	88.64	45.96	.000	38.380	2.455	5.121
18	88.21	45.96	.000	38.478	2.605	4.873
19	86.83	46.03	.002	38.372	3.123	4.537
20	82.80	46.31	.016	37.713	4.643	3.942
21	77.05	47.13	.120	35.507	8.829	2.670
22	72.45	49.30	.835	29.229	19.240	.000
23	56.20	58.26	4.578	15.965	37.714	.000
24	54.65	70.93	5.190	.000	65.743	.000
25	50.82	91.78	.000	.000	91.777	.000
26	44.61	117.29	.000	.000	117.289	.000
27	46.93	138.40	.000	.000	138.396	.000
28	47.20	138.77	1.320	.000	137.453	.000
29	45.81	116.75	1.343	.000	115.404	.000
	38.00	96.00	5.407	.000	90.589	.000

ETAPA TEMP. FLUJO TOTAL FLUJO POR COMPONENTE (TODOS SON VAPOR)

1	89.67	36.16	.000	18.391	4.499	13.274
2	89.09	36.49	.000	18.158	5.696	12.632
3	88.60	36.76	.000	18.113	6.782	11.860 -210-

4	88.09	37.01	.000	18.095	7.526	11.657
5	87.56	37.26	.000	18.056	8.856	10.344
6	87.02	37.51	.000	17.984	9.891	9.335
7	86.44	36.85	.000	17.443	10.663	9.741
8	87.24	36.64	.000	18.188	10.392	8.059
9	87.54	36.49	.000	18.932	10.175	7.482
10	87.88	36.35	.000	19.460	9.968	6.919
	88.11	36.24	.000	19.941	9.815	6.485
12	88.29	36.16	.000	20.328	9.696	6.133
13	88.45	36.09	.000	20.650	9.612	5.937
14	88.58	36.03	.000	20.924	9.530	5.579
15	88.68	35.99	.000	21.155	9.467	5.344
16	88.72	35.96	.000	21.339	9.500	5.117
17	88.64	35.96	.000	21.437	9.650	4.870
18	88.21	36.03	.002	21.331	10.168	4.533
19	88.83	36.31	.016	20.671	11.689	3.938
20	82.80	37.13	.120	18.466	15.874	2.666
21	77.05	39.31	.935	12.188	26.285	.000
22	72.45	49.34	4.578	.000	44.758	.000
23	56.20	115.46	20.190	.000	95.171	.000
24	54.65	135.81	24.507	.000	111.305	.000
25	50.82	155.66	18.914	.000	136.750	.000
26	44.61	182.16	24.308	.000	157.856	.000
27	46.83	183.32	26.320	.000	156.996	.000
28	47.20	161.29	26.343	.000	134.949	.000
29	45.81	140.54	30.407	.000	110.134	.000
30	38.00	44.55	25.000	.000	19.545	.000

RESIDUO = .131E+06

ETAPA	TEMP	FLUJO TOTAL	FLUJO POR COMPONENTE	(TODOS SON LIQUIDOS)		
1	89.65	40.00	.000	14.050	4.148	21.802
2	89.07	75.85	.000	32.287	8.647	34.915
3	88.57	76.17	.000	32.052	9.642	34.277
4	88.06	76.44	.000	32.004	10.923	33.511
5	87.54	76.69	.000	31.984	11.959	32.747
6	86.99	76.94	.000	31.943	12.979	32.015
7	86.43	77.18	.000	31.871	13.995	31.318
8	87.23	26.52	.000	18.832	2.247	5.435
9	87.54	26.31	.000	19.573	1.978	4.760
10	87.87	26.16	.000	20.217	1.762	4.193
11	88.08	46.02	.000	36.299	2.906	6.813
12	88.24	45.92	.000	36.777	2.759	6.370
13	88.31	45.84	.000	37.150	2.690	6.006
14	88.19	45.79	.000	37.429	2.701	5.664
15	87.63	45.79	.000	37.577	2.909	5.309
16	85.83	45.90	.000	37.455	3.617	4.833
17	80.67	46.30	.000	36.636	5.671	3.989
18	78.21	47.46	.002	33.920	11.376	2.164
19	76.83	52.88	.015	26.125	26.745	.000
20	72.80	61.15	.098	5.409	54.643	.000
21	67.05	59.33	.499	.000	58.329	.000
22	62.45	70.17	.931	.000	69.240	.000
23	46.20	87.71	.000	.000	87.714	.000
24	44.65	115.74	.000	.000	115.743	.000
25	46.34	142.58	.803	.000	141.777	.000
	45.60	168.32	1.034	.000	167.239	.000
27	47.26	189.43	1.036	.000	188.396	.000
28	46.87	166.69	.000	.000	166.588	.000
29	44.05	134.01	.242	.000	133.771	.000
30	28.00	101.54	6.402	.000	95.139	.000

- 211 -

ETAPA TEMP FLUJO TOTAL FLUJO POR COMPONENTE (TODOS SON VAPOR)

1	89.65	35.85	.000	18.237	4.499	13.113
2	89.07	36.17	.000	18.002	5.694	12.474
3	88.57	36.44	.000	17.955	6.775	11.709
4	88.06	36.69	.000	17.934	7.811	10.945
5	87.54	36.94	.000	17.893	8.831	10.212
6	86.99	37.18	.000	17.821	9.847	9.515
7	86.43	36.52	.000	17.282	10.599	8.637
8	87.23	36.31	.000	18.024	10.330	7.958
9	87.54	36.16	.000	18.667	10.114	7.381
10	87.87	36.02	.000	19.295	9.911	6.912
11	88.08	35.92	.000	19.773	9.774	6.370
12	88.24	35.84	.000	20.146	9.695	6.000
13	88.31	35.79	.000	20.424	9.706	5.663
14	88.19	35.79	.000	20.573	9.913	5.308
15	87.63	35.90	.000	20.450	10.622	4.832
16	85.83	36.30	.000	19.631	12.676	3.989
17	80.67	37.46	.002	16.916	18.381	2.163
18	78.21	42.89	.015	9.120	33.750	0.000
19	76.83	61.79	.098	.000	61.628	0.000
20	72.90	66.37	.499	.000	65.874	0.000
21	67.05	77.22	.931	.000	76.285	0.000
22	62.45	94.76	.000	.000	94.758	0.000
23	46.20	140.58	.5309	.000	135.271	0.000
24	44.65	187.11	25.803	.000	161.305	0.000
25	46.34	212.78	26.034	.000	186.750	0.000
26	45.60	233.89	26.036	.000	207.856	0.000
27	47.36	210.24	24.051	.000	186.193	0.000
28	46.87	178.52	25.242	.000	153.276	0.000
29	44.05	146.05	31.402	.000	114.644	0.000
30	28.00	44.51	25.000	.000	19.505	0.000

"RESIDUO = .448E+06

ETAPA	TEMP.	FLUJO TOTAL	FLUJO POR COMPONENTE	(TODOS SON LIQUIDOS)
1	89.62	40.00	.000	13.949
2	89.03	75.40	.000	31.975
3	88.53	75.72	.000	31.734
4	88.02	75.99	.000	31.682
5	87.50	76.24	.000	31.657
6	86.96	76.48	.000	31.614
7	86.40	76.72	.000	31.541
8	87.19	26.05	.000	18.505
9	87.45	25.85	.000	19.230
10	87.60	25.72	.000	19.846
11	87.35	45.62	.000	35.821
12	86.32	45.64	.000	36.079
13	83.26	45.85	.000	35.865
14	78.19	46.56	.000	34.555
15	77.63	48.56	.000	30.398
16	75.83	60.93	.000	18.976
17	70.67	55.67	.001	.000
18	68.21	61.38	.000	.000
19	66.83	76.75	.000	.000
20	62.80	104.64	.000	.000
21	57.05	108.83	.000	.000
22	52.45	119.24	.000	.000
23	41.76	139.05	1.331	.000
24	45.28	166.44	.697	.000
25	44.36	191.78	.000	.000
26	44.58	217.29	.000	.000
27	45.57	238.40	.000	.000
28	46.26	201.45	1.539	.000
29	42.48	154.03	1.898	.000

30 19 15 108 07 8 717 000 99.350 .000

ETAPA TEMP. FLUJO TOTAL FLUJO POR COMPONENTE (TODOS SON VAPOR)

1	89.62	35.40	.000	18.026	4.499	12.876
P	89.03	35.72	.000	17.785	5.693	12.245
	88.53	35.99	.000	17.733	6.767	11.489
4	88.02	36.24	.000	17.708	7.792	10.737
5	87.50	36.48	.000	17.665	8.794	10.020
6	86.96	36.72	.000	17.592	9.788	9.341
7	86.40	36.05	.000	17.056	10.511	8.484
8	87.19	35.85	.000	17.781	10.260	7.811
9	87.45	35.72	.000	18.397	10.101	7.218
10	87.60	35.62	.000	18.937	10.116	6.568
11	87.35	35.64	.000	19.195	10.517	5.924
12	86.32	35.85	.000	18.981	11.810	5.063
13	83.26	36.56	.000	17.670	15.366	3.527
14	78.19	38.56	.000	13.514	24.776	.270
15	77.63	50.33	.000	2.091	48.834	.000
16	75.82	62.69	.001	.000	62.676	.000
17	70.67	68.38	.000	.000	68.381	.000
18	68.21	83.75	.000	.000	83.750	.000
19	66.83	111.69	.000	.000	111.688	.000
20	62.80	115.87	.000	.000	115.874	.000
21	57.05	126.29	.000	.000	126.285	.000
22	52.45	146.09	1.331	.000	144.758	.000
23	41.76	210.97	25.697	.000	185.271	.000
24	45.28	233.44	22.136	.000	211.305	.000
25	44.36	259.17	22.419	.000	236.750	.000
26	44.58	281.63	23.777	.000	257.856	.000
27	45.57	245.84	26.539	.000	219.297	.000
"	46.26	198.42	26.898	.000	171.519	.000
"	42.48	152.45	33.717	.000	118.734	.000
30	19.15	44.38	25.000	.000	19.384	.000

RESIDUO = 129E+07

ETAPA TEMP. FLUJO TOTAL FLUJO POR COMPONENTE (TODOS SON LIQUIDOS)

1	89.78	40.00	.000	14.166	3.898	21.935
2	89.24	78.91	.000	33.961	8.479	36.473
3	88.75	79.25	.000	33.719	9.722	35.808
4	88.25	79.54	.000	33.683	10.874	34.978
5	87.70	79.81	.000	33.676	12.007	34.128
6	87.12	80.09	.000	33.642	13.155	33.292
7	86.49	80.38	.000	33.567	14.331	32.478
8	86.69	29.75	.000	20.506	2.776	6.463
9	85.42	29.68	.000	20.971	2.994	5.715
10	79.66	29.95	.000	20.850	4.489	4.609
11	77.35	51.36	.000	32.373	14.171	4.818
12	76.32	55.94	.000	26.214	29.728	.000
13	73.26	65.52	.000	10.590	54.926	.000
14	69.19	58.48	.000	.000	58.482	.000
15	67.63	67.89	.000	.000	67.891	.000
16	65.83	91.95	.000	.000	91.950	.000
17	60.67	105.67	.000	.000	105.671	.000
	58.21	111.38	.000	.000	111.376	.000
19	56.83	126.75	.000	.000	126.745	.000
20	52.80	154.64	.000	.000	154.643	.000
21	47.05	158.83	.000	.000	158.829	.000
22	48.79	169.24	.000	.000	169.240	.000
23	38.54	187.71	.000	.000	187.714	.000
24	41.66	215.74	.000	.000	215.743	.000
25	43.49	243.04	1.260	.000	241.777	.000

-213-

26	44.46	268.59	1.297	.000	667.289	.000
27	46.20	283.71	1.431	.000	282.276	.000
28	46.07	210.18	.000	.000	210.182	.000
29	39.83	152.03	1.141	.000	150.886	.000
30	19.58	102.74	14.831	.000	87.912	.000

E TA TEMP. FLUJO TOTAL FLUJO POR COMPONENTE (TODOS SON VAPOR)

1	89.78	38.91	.000	19.795	4.581	14.538
2	89.24	39.25	.000	19.553	5.824	13.873
3	88.75	39.54	.000	19.517	6.976	13.043
4	88.25	39.81	.000	19.509	8.109	12.192
5	87.70	40.09	.000	19.476	9.256	11.357
6	87.12	40.38	.000	19.400	10.432	10.543
7	86.49	39.75	.000	18.840	11.377	9.528
8	86.69	39.68	.000	19.304	11.596	8.780
9	85.42	39.95	.000	19.184	13.091	7.673
10	79.66	41.36	.000	17.031	19.513	4.818
11	77.35	45.94	.000	10.872	35.070	0.000
12	76.32	61.81	.000	.000	61.810	0.000
13	73.26	65.37	.000	.000	65.366	0.000
14	68.19	74.78	.000	.000	74.776	0.000
15	67.63	98.83	.000	.000	98.834	0.000
16	65.83	112.68	.000	.000	112.676	0.000
17	60.67	119.38	.000	.000	118.381	0.000
18	58.21	133.75	.000	.000	133.750	0.000
19	56.33	161.69	.000	.000	161.688	0.000
20	52.80	165.87	.000	.000	165.874	0.000
21	47.05	176.29	.000	.000	176.285	0.000
22	48.79	194.76	.000	.000	194.758	0.000
23	38.54	257.21	21.943	.000	235.271	0.000
24	41.66	287.57	26.260	.000	261.305	0.000
25	43.49	313.05	26.297	.000	286.750	0.000
26	44.41	326.55	26.431	.000	300.118	0.000
27	46.20	252.00	23.981	.000	228.024	0.000
28	46.07	194.87	26.141	.000	168.728	0.000
29	39.83	145.58	39.831	.000	105.753	.000
30	19.58	42.84	25.000	.000	17.842	0.000

RESIDUO = 336E+07

ETAPA TEMP. FLUJO TOTAL FLUJO POR COMPONENTE (TODOS SON LIQUIDOS)

1	90.25	40.00	.000	14.649	3.038	22.313
2	89.84	91.53	.000	40.729	7.927	42.875
3	89.43	91.91	.000	40.488	9.320	42.106
4	88.94	92.26	.000	40.511	10.718	41.033
5	88.35	92.62	.000	40.568	12.212	39.845
6	87.63	93.02	.000	40.577	13.057	38.589
7	86.77	93.47	.000	40.504	15.692	37.275
8	85.39	43.01	.000	27.367	4.984	10.659
9	80.65	43.47	.000	27.040	7.045	9.380
10	69.66	45.15	.000	25.165	13.626	6.363
11	67.35	71.04	.000	29.375	38.117	3.545
12	66.32	81.82	.000	21.214	59.158	1.451
13	63.26	93.64	.000	17.162	65.797	.684
14	59.45	83.43	.000	19.117	64.075	.234
15	63.05	73.98	.000	33.223	34.612	.055
16	64.44	91.99	.000	50.000	41.950	.036
17	62.72	105.68	.001	50.000	55.671	.013
18	62.06	111.38	.001	50.000	61.376	.004
19	51.50	126.75	.001	50.000	76.745	.001
20	58.80	154.65	.001	50.000	104.644	.001
21	54.56	158.84	.010	50.000	100.829	0.00 -214-

22	54.08	169.38	.136	50.000	119.240	0.00
23	45.76	189.75	2.031	50.000	137.714	0.00
24	47.29	217.13	1.385	50.000	165.743	0.00
25	47.65	244.47	2.692	50.000	191.777	0.00
26	47.63	269.60	2.310	50.000	217.289	0.00
27	48.63	272.00	2.412	37.311	231.276	0.00
28	47.87	182.71	2.100	20.430	160.182	0.00
	39.10	117.30	5.024	11.390	100.886	0.00
3u	26.25	80.00	23.931	4.972	51.097	0.00

ETAPA TEMP. FLUJO TOTAL FLUJO POR COMPONENTE (TODOS SON VAPOR)

1	90.25	51.53	.000	26.080	4.889	20.562
2	89.84	51.91	.000	25.839	5.282	19.793
3	89.43	52.26	.000	25.862	7.680	18.720
4	88.94	52.62	.000	25.919	9.174	17.532
5	88.35	53.02	.000	25.928	10.819	16.276
6	87.63	53.47	.000	25.855	12.654	14.962
7	86.77	53.01	.000	25.218	14.446	13.346
8	85.39	53.47	.000	24.892	16.507	12.067
9	80.65	55.15	.000	23.016	23.068	9.050
10	69.66	61.04	.000	17.491	40.002	3.545
11	67.35	71.82	.000	9.330	61.042	1.451
12	66.32	73.64	.000	5.275	67.682	0.684
13	63.26	73.43	.000	7.232	65.960	2.34
14	59.45	63.98	.000	27.398	36.496	0.85
15	63.05	98.87	.000	50.000	48.834	0.36
16	64.44	112.69	.001	50.000	62.676	0.13
17	62.72	118.39	.001	50.000	68.351	0.04
18	62.06	133.75	.001	50.000	83.750	0.01
19	61.50	161.69	.001	50.000	111.668	0.01
20	58.80	165.89	.010	50.000	115.874	0.00
21	54.56	176.42	.136	50.000	126.285	0.00
22	54.08	196.79	2.032	50.000	144.758	0.00
23	45.76	261.66	26.365	50.000	185.271	0.00
24	47.29	289.00	27.692	50.000	211.305	0.00
25	47.65	314.06	27.310	50.000	236.750	0.00
26	47.63	315.46	27.412	37.927	250.118	0.00
27	48.63	226.17	27.100	21.046	178.024	0.00
28	47.87	160.76	30.024	12.005	118.728	0.00
29	39.10	120.00	48.931	5.587	65.482	0.00
30	26.25	40.00	25.000	6.16	14.384	0.00

RESIDUO = .237E+07

ETAPA TEMP. FLUJO TOTAL FLUJO POR COMPONENTE (TODOS SON LIQUIDOS)

1	90.09	40.00	.000	13.946	3.448	22.606
2	89.66	90.93	.000	39.771	8.464	42.679
3	89.22	91.33	.000	39.474	9.910	41.943
4	88.72	91.69	.000	39.471	11.319	40.889
5	88.12	92.04	.000	39.512	12.814	39.716
6	87.41	92.44	.000	39.508	14.461	38.470
7	86.56	92.89	.000	39.420	16.315	37.153
8	85.30	42.47	.000	26.276	5.663	10.531
9	80.86	43.11	.000	25.712	8.457	8.741
10	76.80	45.19	.000	24.035	15.740	5.410
11	64.11	70.66	.000	29.936	36.953	3.773
12	61.35	75.67	.000	25.272	49.939	1.401
13	59.61	78.32	.000	22.423	55.444	4.98
14	58.26	79.40	.000	20.921	58.315	1.16
15	56.98	80.91	.000	19.873	60.979	0.55
16	57.03	95.39	.000	14.210	71.077	0.09
17	58.20	86.48	.000	12.637	73.847	0.00 -215-

18	59.76	84.94	000	14.458	10.45	000
19	59.34	84.45	001	14.951	69.502	000
20	58.17	83.81	007	14.959	69.346	000
21	55.72	82.08	054	16.875	65.147	000
22	54.72	87.27	409	17.624	69.240	016
23	47.71	107.89	3.192	16.980	87.714	019
24	49.23	128.39	2.087	10.564	115.743	000
	49.12	151.50	1.898	7.824	141.777	000
26	48.92	175.91	2.130	5.472	167.289	000
27	49.45	190.93	2.599	6.057	182.276	000
28	48.43	119.14	2.764	6.196	110.182	000
29	40.19	91.19	5.877	5.048	80.264	000
30	26.43	80.00	22.245	2.731	55.023	000

ETAPA TEMP FLUJO TOTAL FLUJO POR COMPONENTE (TODOS SON VAPOR)

1	90.09	50.93	000	25.825	5.036	20.073
2	89.65	51.33	000	25.528	5.453	19.337
3	89.22	51.68	000	25.525	5.371	18.283
4	88.72	52.04	000	25.565	9.366	17.110
5	88.12	52.44	000	25.561	11.013	15.864
6	87.41	52.89	000	25.474	12.867	14.547
7	86.56	52.47	000	24.829	14.715	12.925
8	85.30	53.11	000	24.465	17.509	11.175
9	80.86	55.19	000	22.589	24.713	7.804
10	70.80	60.66	000	17.852	39.038	3.773
11	64.11	65.67	000	13.187	51.024	1.461
12	61.33	68.32	000	10.338	57.405	406
13	59.61	69.40	000	8.837	60.399	162
14	58.28	70.91	000	7.789	63.063	655
15	56.98	75.29	000	2.125	73.161	409
.	57.03	76.48	000	552	75.932	000
.	58.20	74.94	000	2.373	72.564	000
18	58.76	74.45	001	2.866	71.586	000
19	59.34	73.81	007	2.874	70.930	000
20	58.17	72.08	054	4.791	67.332	000
21	55.72	82.23	409	5.540	76.255	000
22	54.72	102.85	3.192	4.895	94.758	000
23	47.71	173.34	27.087	10.980	135.271	000
24	49.23	196.44	26.898	8.239	161.705	000
25	49.12	220.79	27.130	6.908	186.750	000
26	48.92	234.19	27.599	6.473	200.118	000
27	49.45	162.40	27.764	6.611	128.024	000
28	48.43	131.19	30.977	5.463	94.348	000
29	40.19	120.00	47.245	3.147	69.600	000
30	26.43	40.00	25.000	4.115	14.584	000

RESIDUO = .201E+06

ETAPA TEMP FLUJO TOTAL FLUJO POR COMPONENTE (TODOS SON LIQUIDOS)

1	90.03	40.00	000	13.922	3.405	22.543
2	89.63	90.18	000	39.457	9.454	42.265
3	89.19	90.56	000	39.146	9.369	41.549
4	88.69	90.91	000	39.137	11.258	40.517
5	88.10	91.27	000	39.173	12.724	39.376
6	87.40	91.66	000	39.118	14.333	39.114
7	86.56	92.09	000	39.084	17.136	36.872
8	85.44	41.66	000	25.751	5.415	19.292
9	81.17	42.22	000	25.668	7.966	9.570
10	71.34	44.17	000	23.904	14.939	5.439
11	63.67	69.23	000	30.110	35.243	3.870
12	60.25	74.26	000	25.435	47.327	1.582
13	58.94	77.23	000	22.350	54.316	514 -216-

14	58.42	78.64	.000	20.705	57.774	.166
15	58.11	79.26	.000	19.902	59.301	.053
16	58.03	79.64	.000	19.537	60.083	.016
17	58.16	79.70	.000	19.588	60.105	.005
18	58.27	79.57	.000	19.735	59.831	.002
19	58.34	79.58	.001	19.683	59.900	.000
20	58.15	79.57	.008	19.630	59.928	.000
.	57.56	79.43	.055	19.496	59.877	.000
22	56.02	78.83	.392	19.387	59.047	.000
23	49.32	75.99	2.554	18.992	54.443	.000
24	50.44	94.07	1.483	9.486	83.105	.000
25	50.14	100.02	1.346	6.901	91.777	.000
26	49.87	123.89	1.301	5.297	117.289	.000
27	49.91	137.71	1.345	4.088	132.276	.000
28	48.73	96.79	1.453	2.953	92.382	.000
29	39.86	91.99	4.686	2.465	84.834	.000
30	26.06	80.00	21.988	1.237	56.775	.000

ETAPA TEMP. FLUJO TOTAL FLUJO POR COMPONENTE (TODOS SON VAPOR)

1	90.03	50.18	.000	25.466	4.989	19.722
2	89.63	50.56	.000	25.155	6.404	19.006
3	89.19	50.91	.000	25.145	7.793	17.974
4	88.69	51.27	.000	25.181	9.259	16.827
5	88.10	51.66	.000	25.177	10.868	15.611
6	87.40	52.09	.000	25.092	12.671	14.329
7	86.56	51.66	.000	24.459	14.454	12.750
8	85.44	52.22	.000	24.176	17.001	11.047
9	81.17	54.17	.000	22.412	23.873	7.886
10	71.34	59.23	.000	17.799	37.559	3.876
11	63.67	64.26	.000	13.124	49.638	1.502
.	60.25	67.23	.000	10.039	56.679	.514
14	58.94	68.64	.000	8.394	60.083	.166
15	58.42	69.26	.000	7.591	61.612	.053
15	58.11	69.64	.000	7.226	62.393	.016
16	58.03	69.70	.000	7.277	62.415	.005
17	58.16	69.57	.000	7.424	62.142	.002
18	58.27	69.58	.001	7.372	62.210	.000
19	58.34	69.57	.008	7.319	62.239	.000
20	58.15	69.43	.055	7.185	62.188	.000
21	57.56	68.83	.392	7.076	61.357	.000
22	56.02	65.99	2.554	6.681	56.754	.000
23	49.32	134.07	26.483	9.675	97.916	.000
24	50.44	144.74	26.346	7.090	111.305	.000
25	50.14	168.54	26.301	5.486	136.750	.000
26	49.87	180.74	26.345	4.277	150.118	.000
27	49.91	136.79	26.453	3.142	107.193	.000
28	48.73	131.99	29.686	2.654	99.645	.000
29	39.86	120.00	46.988	1.426	71.586	.000
30	26.06	40.00	25.000	.189	14.811	.000

RESIDUO = .444E+05

ETAPA TEMP. FLUJO TOTAL FLUJO POR COMPONENTE (TODOS SON LIQUIDOS)

1	90.03	40.00	.000	13.997	3.467	22.536
.	89.63	90.09	.000	39.416	8.453	42.224
3	89.19	90.48	.000	39.108	9.866	41.506
4	88.68	90.83	.000	39.099	11.253	40.475
5	88.10	91.18	.000	39.136	12.717	39.329
6	87.40	91.57	.000	39.131	14.323	38.115
7	86.56	92.01	.000	39.047	16.122	36.837
8	85.45	41.57	.000	25.915	5.398	10.261
9	81.21	42.13	.000	25.636	7.928	8.568 -217-

10	71.44	44.07	.000	23.887	14.752	5.428
11	63.66	69.08	.000	79.140	35.017	3.890
12	60.15	74.10	.000	25.457	47.136	1.511
13	58.89	77.11	.000	22.365	54.224	.517
14	58.43	78.53	.000	20.722	57.640	.167
15	58.25	79.16	.000	19.927	59.181	.053
16	58.19	79.44	.000	19.559	59.864	.017
	58.17	79.56	.000	19.393	60.166	.005
1d	58.16	79.62	.000	19.320	60.296	.002
19	58.16	79.64	.001	19.286	60.352	.001
20	58.12	79.63	.007	19.270	60.357	.000
21	57.92	79.56	.052	19.248	60.256	.000
22	56.65	79.02	.374	19.143	59.506	.000
23	49.82	76.05	2.478	18.533	55.036	.000
24	50.88	93.95	1.485	9.435	83.027	.000
25	50.60	94.98	1.346	6.801	86.831	.000
26	50.35	95.94	1.286	5.199	89.458	.000
27	50.12	96.44	1.429	4.097	90.917	.000
28	48.78	96.48	1.590	2.995	91.890	.000
29	39.84	91.96	4.654	2.191	85.115	.000
30	25.99	80.00	21.919	1.070	57.011	.000

ETAPA TEMP. FLUJO TOTAL FLUJO POR COMPONENTE (TODOS SON VAPOR)

1	90.03	50.09	.000	25.419	4.986	19.687
2	89.63	50.48	.000	25.112	6.399	18.969
3	89.19	50.83	.000	25.103	7.786	17.938
4	88.68	51.18	.000	25.139	9.250	16.793
5	88.10	51.57	.000	25.135	10.856	15.579
6	87.40	52.01	.000	25.050	12.655	14.300
7	86.56	51.57	.000	24.418	14.431	12.725
	85.45	52.13	.000	24.139	16.961	11.032
	81.21	54.07	.000	22.390	23.785	7.892
10	71.44	59.08	.000	17.802	37.385	3.890
11	63.66	64.10	.000	13.119	49.474	1.511
12	60.15	67.11	.000	10.027	56.562	.517
13	58.89	68.53	.000	8.384	59.978	.167
14	58.43	69.16	.000	7.590	61.519	.053
15	58.25	69.44	.000	7.222	62.202	.017
16	58.19	69.56	.000	7.056	62.503	.005
17	58.17	69.62	.000	6.982	62.634	.002
18	58.16	69.64	.001	6.948	62.689	.001
19	58.16	69.63	.007	6.932	62.695	.000
20	58.12	69.56	.052	6.911	62.593	.000
21	57.92	69.02	.374	6.806	61.844	.000
22	56.65	66.05	2.478	6.195	57.373	.000
23	49.82	133.95	26.485	9.597	97.864	.000
24	50.88	134.98	26.346	6.963	101.668	.000
25	50.60	135.94	26.286	5.361	104.296	.000
26	50.35	136.44	26.429	4.260	105.755	.000
27	50.12	136.48	26.590	3.158	106.728	.000
28	48.78	131.96	29.654	2.354	99.953	.000
29	39.84	120.00	46.919	1.232	71.849	.000
30	25.99	40.00	25.000	1.62	14.838	.000

RESIDUO = .563E+04

ETAPA TEMP. FLUJO TOTAL FLUJO POR COMPONENTE (TODOS SON LIQUIDOS)

1	90.03	40.00	.000	13.995	3.466	22.538
2	89.63	90.12	.000	39.428	8.453	42.237
3	89.19	90.51	.000	39.120	9.867	41.519
4	88.68	90.85	.000	39.111	11.255	40.487
5	88.10	91.21	.000	39.148	12.720	39.341 -218-

6	87.40	91.60	.000	39.143	14.327	38.126
7	86.56	92.03	.000	39.059	16.127	36.846
8	85.44	41.60	.000	25.926	5.406	10.269
9	81.20	42.16	.000	25.645	7.944	8.573
10	71.43	44.10	.000	23.892	14.783	5.428
11	63.65	69.12	.000	30.133	35.097	3.887
12	60.14	74.14	.000	25.448	47.187	1.509
	58.89	77.15	.000	22.356	54.275	.517
14	58.43	78.57	.000	20.714	57.690	.167
15	58.26	79.20	.000	19.920	59.230	.053
16	58.19	79.48	.000	19.553	59.911	.017
17	58.17	79.60	.000	19.387	60.209	.005
18	58.15	79.65	.000	19.313	60.338	.002
19	58.15	79.67	.001	19.280	60.392	.001
20	58.12	79.67	.007	19.264	60.402	.000
21	57.94	79.60	.052	19.243	60.305	.000
22	56.68	79.07	.374	19.139	59.555	.000
23	49.85	76.08	2.477	18.530	55.077	.000
24	50.93	93.99	1.485	9.433	83.075	.000
25	50.70	95.03	1.361	6.794	86.876	.000
26	50.55	96.02	1.292	5.151	89.576	.000
27	50.29	96.61	1.281	4.019	91.308	.000
28	48.79	96.35	1.601	3.160	91.586	.000
29	39.85	91.92	4.669	2.304	84.951	.000
30	26.00	80.00	21.922	1.122	56.956	.000

ETAPA TEMP. FLUJO TOTAL FLUJO POR COMPONENTE (TODOS SON VAPOR)

1	90.03	50.12	.000	25.432	4.987	19.699
2	89.63	50.51	.000	25.125	6.400	18.981
3	89.19	50.85	.000	25.116	7.788	17.949
	88.68	51.21	.000	25.152	9.253	16.803
	88.10	51.60	.000	25.148	10.860	15.588
6	87.40	52.03	.000	25.064	12.661	14.308
7	86.56	51.60	.000	24.431	14.440	12.731
8	85.44	52.16	.000	24.150	16.977	11.035
9	81.20	54.10	.000	22.396	23.817	7.890
10	71.43	59.12	.000	17.803	37.427	3.887
11	63.65	64.14	.000	13.118	49.517	1.509
12	60.14	67.15	.000	10.026	56.605	.517
13	58.89	68.57	.000	8.384	60.019	.167
14	58.43	69.20	.000	7.590	61.560	.053
15	58.26	69.48	.000	7.223	62.240	.017
16	58.19	69.60	.000	7.057	62.538	.005
17	58.17	69.65	.000	6.983	62.668	.002
18	58.15	69.67	.001	6.950	62.722	.001
19	58.15	69.67	.007	6.934	62.732	.000
20	58.12	69.60	.052	6.913	62.635	.000
21	57.94	69.07	.374	6.809	61.885	.000
22	56.68	66.08	2.477	6.200	57.407	.000
23	49.85	133.99	26.485	9.603	97.905	.000
24	50.93	135.03	26.361	6.964	101.706	.000
25	50.70	136.02	26.292	5.322	104.406	.000
26	50.55	136.61	26.281	4.189	106.138	.000
27	50.29	136.35	26.601	3.330	106.416	.000
28	48.79	131.92	29.669	2.474	99.781	.000
29	39.85	120.00	46.922	1.292	71.785	.000
	26.00	40.00	25.000	.170	14.830	.000

RESIDUO = .875E+00

ETAPA TEMP. FLUJO TOTAL FLUJO POR COMPONENTE (TODOS SON LIQUIDOS) -

1	90.03	40.00	-219-	000	13.995	3.466	22.538
---	-------	-------	-------	-----	--------	-------	--------

2	89.63	90.12	.000	39.428	8.455	42.237
3	89.19	90.51	.000	39.120	9.867	41.519
4	88.68	90.85	.000	39.111	11.255	40.487
5	88.10	91.21	.000	39.147	12.720	39.341
6	87.40	91.60	.000	39.143	14.327	38.126
7	86.56	92.03	.000	39.059	16.127	36.846
8	85.44	41.60	.000	25.926	5.406	10.269
	81.20	42.16	.000	25.645	7.943	8.573
10	71.43	44.10	.000	23.892	14.782	5.428
11	63.65	69.12	.000	30.133	35.096	3.887
12	60.14	74.14	.000	25.448	47.186	1.509
13	58.89	77.15	.000	22.356	54.275	.517
14	58.43	78.57	.000	20.714	57.689	.167
15	58.26	79.20	.000	19.921	59.230	.053
16	58.19	79.48	.000	19.553	59.910	.017
17	58.17	79.60	.000	19.387	60.208	.005
18	58.15	79.65	.000	19.313	60.337	.002
19	58.15	79.67	.001	19.280	60.391	.001
20	58.12	79.67	.007	19.264	60.401	.000
21	57.94	79.60	.052	19.244	60.305	.000
22	56.68	79.07	.374	19.140	59.555	.000
23	49.85	76.08	2.477	18.530	55.077	.000
24	50.93	93.99	1.484	9.433	83.074	.000
25	50.71	95.03	1.360	6.794	86.877	.000
26	50.55	96.02	1.292	5.151	89.578	.000
27	50.30	96.61	1.281	4.018	91.307	.000
28	48.79	96.35	1.601	3.158	91.586	.000
29	39.85	91.92	4.669	2.302	84.952	.000
30	26.00	80.00	21.922	1.121	56.957	.000

ETAPA TEMP. FLUJO TOTAL FLUJO POR COMPONENTE (TODOS SON VAPOR)

	90.03	50.12	.000	25.432	4.987	19.699
2	89.63	50.51	.000	25.124	6.400	18.981
3	89.19	50.85	.000	25.115	7.788	17.949
4	88.68	51.21	.000	25.152	9.253	16.803
5	88.10	51.60	.000	25.148	10.860	15.588
6	87.40	52.03	.000	25.063	12.661	14.308
7	86.56	51.60	.000	24.431	14.440	12.731
8	85.44	52.16	.000	24.150	16.977	11.035
9	81.20	54.10	.000	22.396	23.816	7.890
10	71.43	59.12	.000	17.803	37.426	3.887
11	63.65	64.14	.000	13.118	49.516	1.509
12	60.14	67.15	.000	10.026	56.604	.517
13	58.89	68.57	.000	8.384	60.019	.167
14	58.43	69.20	.000	7.590	61.560	.053
15	58.26	69.48	.000	7.223	62.240	.017
16	58.19	69.60	.000	7.057	62.538	.005
17	58.17	69.65	.000	6.983	62.667	.002
18	58.15	69.67	.001	6.950	62.721	.001
19	58.15	69.67	.007	6.934	62.731	.000
20	58.12	69.60	.052	6.914	62.635	.000
21	57.94	69.07	.374	6.809	61.885	.000
22	56.68	66.08	2.477	6.200	57.407	.000
23	49.85	133.99	26.484	9.603	97.904	.000
24	50.93	135.03	26.360	6.964	101.707	.000
25	50.71	136.02	26.292	5.321	104.408	.000
c/	50.55	136.61	26.281	4.198	106.137	.000
26	50.30	136.35	26.601	3.328	106.416	.000
28	48.79	131.92	29.669	2.472	99.782	.000
29	39.85	120.00	46.922	1.291	71.786	.000
30	26.00	40.00	25.000	1.170	14.830	.000

RESIDUO = .207E-03

FLUJO DE PRODUCTO, FASE LIQUIDA

1	.000	13.995	3.466	22.538
2	.000	.000	.000	.000
3	.000	.000	.000	.000
4	.000	.000	.000	.000
5	.000	.000	.000	.000
6	.000	.000	.000	.000
7	.000	.000	.000	.000
8	.000	.000	.000	.000
9	.000	.000	.000	.000
10	.000	10.835	6.704	2.462
11	.000	.000	.000	.000
12	.000	.000	.000	.000
13	.000	.000	.000	.000
14	.000	.000	.000	.000
15	.000	.000	.000	.000
16	.000	.000	.000	.000
17	.000	.000	.000	.000
18	.000	.000	.000	.000
19	.000	.000	.000	.000
20	.000	.000	.000	.000
21	.000	.000	.000	.000
22	.000	.000	.000	.000
23	.000	.000	.000	.000
24	.000	.000	.000	.000
25	.000	.000	.000	.000
26	.000	.000	.000	.000
27	.000	.000	.000	.000
28	.000	.000	.000	.000
29	.000	.000	.000	.000
7^	.000	.000	.000	.000

FLUJO DE PRODUCTO, FASE VAPOR

1	.000	.000	.000	.000
2	.000	.000	.000	.000
3	.000	.000	.000	.000
4	.000	.000	.000	.000
5	.000	.000	.000	.000
6	.000	.000	.000	.000
7	.000	.000	.000	.000
8	.000	.000	.000	.000
9	.000	.000	.000	.000
10	.000	.000	.000	.000
11	.000	.000	.000	.000
12	.000	.000	.000	.000
13	.000	.000	.000	.000
14	.000	.000	.000	.000
15	.000	.000	.000	.000
16	.000	.000	.000	.000
17	.000	.000	.000	.000
18	.000	.000	.000	.000
19	.000	.000	.000	.000
20	.000	.000	.000	.000
21	.000	.000	.000	.000
22	.000	.000	.000	.000
23	.000	.000	.000	.000
24	.000	.000	.000	.000
25	.000	.000	.000	.000
26	.000	.000	.000	.000
27	.000	.000	.000	.000
28	.000	.000	.000	.000
29	.000	.000	.000	.000

30

25.000

170

14.830

.000

PERFIL DEL FACTOR K EN LA COLUMNA

1	5.581	1.450	1.148	.698
2	6.295	1.127	1.475	.786
3	6.417	1.139	1.509	.748
4	6.567	1.138	1.554	.712
5	6.723	1.132	1.601	.675
6	6.879	1.121	1.646	.633
7	7.032	1.107	1.686	.586
8	8.920	.736	2.655	.796
9	9.025	.646	2.598	.579
10	8.713	.467	2.135	.255
11	8.811	.374	1.637	.097
12	9.666	.366	1.372	.045
13	10.511	.382	1.264	.028
14	11.017	.396	1.220	.022
15	11.267	.404	1.201	.019
16	11.381	.408	1.194	.018
17	11.432	.410	1.190	.018
18	11.454	.411	1.189	.018
19	11.462	.411	1.188	.018
20	11.455	.410	1.187	.018
21	11.378	.406	1.180	.018
22	10.842	.379	1.138	.017
23	8.181	.255	.928	.014
24	12.294	.428	.863	.010
25	13.442	.472	.846	.009
26	14.270	.504	.837	.009
27	14.795	.522	.827	.008
28	14.297	.497	.785	.008
29	9.099	.293	.574	.005
30	2.647	.104	.384	.002

PERFIL DE FRACCION MOL EN LA COLUMNA(FASE LIQUIDA)

1	.000	.350	.087	.563
2	.000	.438	.094	.469
3	.000	.432	.109	.459
4	.000	.430	.124	.446
5	.000	.429	.139	.431
6	.000	.427	.156	.416
7	.000	.424	.175	.400
8	.000	.623	.130	.247
9	.000	.608	.188	.203
10	.000	.542	.335	.123
11	.000	.436	.508	.056
12	.000	.343	.636	.020
13	.000	.290	.704	.007
14	.000	.264	.734	.002
15	.000	.252	.748	.001
16	.000	.246	.754	.000
17	.000	.244	.756	.000
18	.000	.242	.758	.000
19	.000	.242	.758	.000
20	.000	.242	.758	.000
21	.001	.242	.758	.000
22	.005	.242	.753	.000
23	.033	.244	.724	.000
24	.016	.100	.884	.000

25	.014	.071	.914	.000
26	.013	.054	.933	.000
27	.013	.042	.945	.000
28	.017	.033	.951	.000
29	.051	.025	.924	.000
30	.274	.014	.712	.000

PERFIL DE FRACCION MOL EN LA COLUMNA(FASE VAPOR)

1	.000	.507	.100	.393
2	.000	.497	.127	.376
3	.000	.494	.153	.353
4	.000	.491	.181	.328
5	.000	.487	.210	.302
6	.000	.482	.243	.275
7	.000	.473	.280	.247
8	.000	.463	.325	.212
9	.000	.414	.440	.146
10	.000	.301	.633	.066
11	.000	.205	.772	.024
12	.000	.149	.843	.008
13	.000	.122	.875	.002
14	.000	.110	.890	.001
15	.000	.104	.896	.000
16	.000	.101	.899	.000
17	.000	.100	.900	.000
18	.000	.100	.900	.000
19	.000	.100	.900	.000
20	.001	.059	.900	.000
21	.005	.099	.896	.000
22	.037	.094	.869	.000
23	.198	.072	.731	.000
24	.195	.052	.753	.000
25	.193	.039	.768	.000
26	.192	.031	.777	.000
27	.195	.024	.780	.000
28	.225	.019	.756	.000
29	.391	.011	.598	.000
30	.625	.004	.371	.000

EL CALOR A SER ALIMENTADO AL REBOILER ES .4609E+06(CAL/HR)

EL CALOR A SER REMOVIDO POR EL CONDENSADOR ES .6353E+06(CAL/HR)

TABLA D.5 RESULTADOS COMPUTACIONALES DEL SISTEMA 1.
CALCULO DEL COEF. VIRIAL B(I,J)

MEZCLA DE CUATRO COMPONENTES

1 ETANOL, 2 AGUA
3 PROPANOL, 4 AC. ACETICO

COMPONENTE	PC EN ATM	RD EN A	DMU EN DEB.	ETA	T C	EN K
1	48.600	3.004	.000	.000	562.100	
2	54.000	3.178	1.020	.000	536.600	
3	47.000	2.740	2.880	.900	509.100	
4	37.800	3.348	1.780	.530	523.300	

PARAMETROS DE SOLVATACION

	1	2	3	4
1	.000	.120	.500	.600
2	.120	.000	1.260	1.650
3	.500	1.260	.900	1.100
4	.600	1.650	1.100	.530

COEFICIENTES VIRIALES

TEMPERATURA= 323.200						
	1	2	3	4		
1	-1194.383	-1131.541	-1047.058	-1473.418		
2	-1131.541	-1194.383	-1588.842	-2449.529		
3	-1047.058	-1588.842	-1194.383	-1802.612		
4	-1473.418	-2449.529	-1802.612	-1521.778		

TEMPERATURA= 333.200						
	1	2	3	4		
1	-1100.828	-1046.669	-973.301	-1358.311		
2	-1046.669	-1100.828	-1402.772	-2091.558		
3	-973.301	-1402.772	-1100.828	-1620.179		
4	-1358.311	-2091.558	-1620.179	-1403.752		

TEMPERATURA= 353.200						
	1	2	3	4		
1	-947.400	-906.578	-849.080	-1168.381		
2	-906.578	-947.400	-1122.576	-1587.891		
3	-849.080	-1122.576	-947.400	-1335.336		
4	-1168.381	-1587.891	-1335.336	-1207.690		

TEMPERATURA= 368.000						
	1	2	3	4		
1	-855.724	-822.280	-772.818	-1054.301		
2	-822.280	-855.724	-969.804	-1332.331		
3	-772.818	-969.804	-855.724	-1173.986		
4	-1054.301	-1332.331	-1173.986	-1089.183		

TABLA D.6 RESULTADOS COMPUTACIONALES DEL SISTEMA 2.
CALCULO DEL COEF VIRIAL B(I,J)

MEZCLA DE CUATRO COMPONENTES
 1 DICLOROETANO, 2 N-PROPANOL
 3 ILUENO, 4 ACETONA

COMPONENTE	PC EN ATM	RD EN A	DMU EN DEB.	ETA	T C	EN
1	53.000	.100	2.851	.000	560.900	
2	47.000	2.726	1.660	1.320	508.400	
3	41.600	3.443	.360	000	592.000	
4	47.000	2.740	2.880	.900	509.100	

PARAMETROS DE SOLVATACION						
	1	2	3	4		
1	000	.000	.000	.000		
2	000	1.320	.000	1.000		
3	000	.000	.000	.500		
4	000	1.000	.500	.900		

COEFICIENTES VIRIALES

TEMPERATURA= 320.000						
	1	2	3	4		
1	-1489.483	-928.175	-1075.962	-1150.062		
2	-928.175	-1489.483	-1075.962	-1892.910		
3	-1075.962	-1075.962	-1489.483	-1483.846		
4	-1150.062	-1892.910	-1483.846	-1489.283		

TEMPERATURA= 340.000						
	1	2	3	4		
1	-1267.738	-797.219	-933.574	-967.743		
2	-797.219	-1267.738	-933.574	-1529.911		
3	-933.574	-933.574	-1267.738	-1253.977		
4	-967.743	-1529.911	-1253.977	-1206.350		

TEMPERATURA= 360.000						
	1	2	3	4		
1	-1092.489	-692.769	-821.143	-824.669		
2	-692.769	-1092.489	-821.143	-1263.136		
3	-821.143	-821.143	-1092.489	-1073.803		
4	-824.669	-1263.136	-1073.803	-996.947		

TEMPERATURA= 380.000						
	1	2	3	4		
1	-951.468	-607.896	-729.981	-710.448		
2	-607.886	-951.468	-729.981	-1061.213		
3	-729.981	-729.981	-951.468	-930.029		
4	-710.448	-1061.213	-930.029	-837.953		